

3
Zej.



UNIVERSIDAD NACIONAL AUTONOMA DE MEXICO

FACULTAD DE ESTUDIOS SUPERIORES
"ZARAGOZA"

ESTUDIO FISICO-QUIMICO DE LA FOSA DE GUAYMAS, PARTE CENTRAL DEL GOLFO DE CALIFORNIA.

T E S I S
QUE PARA OBTENER EL TITULO DE:
B I O L O G O
P R E S E N T A:
LAURA N. BELLO CUEVAS

UNAM
FES
ZARAGOZA



DIRECTOR: DR. FELIPE VAZQUEZ G.

MEXICO, D. F.

FEBRERO 1994

TESIS CON
FALLA DE ORIGEN



UNAM – Dirección General de Bibliotecas Tesis Digitales Restricciones de uso

DERECHOS RESERVADOS © PROHIBIDA SU REPRODUCCIÓN TOTAL O PARCIAL

Todo el material contenido en esta tesis está protegido por la Ley Federal del Derecho de Autor (LFDA) de los Estados Unidos Mexicanos (México).

El uso de imágenes, fragmentos de videos, y demás material que sea objeto de protección de los derechos de autor, será exclusivamente para fines educativos e informativos y deberá citar la fuente donde la obtuvo mencionando el autor o autores. Cualquier uso distinto como el lucro, reproducción, edición o modificación, será perseguido y sancionado por el respectivo titular de los Derechos de Autor.

DEDICATORIA

A MIS PADRES: OTILIA Y LUCIANO,

**por su sacrificio,
apoyo y comprensión
en todos estos años.**

A MIS HERMANOS: CHANO Y BETITO, con mucho cariño.

**A MIS AMIGOS: por esa amistad que nos mantiene unidos y
por los agradables momentos compartidos.**

AL MAR...

AGRADECIMIENTOS

Deseo agradecer particularmente a las siguientes personas e Instituciones, que contribuyeron de alguna forma en la realización del presente trabajo:

-Al Dr. Felipe Vázquez Gutiérrez por su dirección, valiosos consejos y estímulos para seguir adelante.

-Al Biól. Ernesto Mendoza Vallejo, por su asesoría, así como por su valiosa amistad.

-A la Biól. Angélica González S., al Quím. Arturo Ramos y a la Biól. Bertha Peña por aceptar formar parte del jurado - calificador.

-Al Q. F. B. Héctor M. Alexander V. y Biól. Magdalena Turner G. por su asesoría técnica e importantes comentarios.

-Al Instituto de Ciencias del Mar y Limnología y al Proyecto 132 de la UNAM por las facilidades brindadas.

-A los miembros de la tripulación del B/O "EL PUMA" por su apoyo en el muestreo.

-A todos mis compañeros que contribuyeron de alguna manera.

I N D I C E

| CONTENIDO | PAGINA |
|--|--------|
| RESUMEN | 1 |
| I. INTRODUCCION | 2 |
| II. ANTECEDENTES | 4 |
| III. GENERALIDADES | |
| Características generales | 6 |
| Naturaleza Geológica | 7 |
| Naturaleza Química | 8 |
| Naturaleza Biológica | 9 |
| IV. OBJETIVOS | 11 |
| V. DESCRIPCION DE LA ZONA DE ESTUDIO | 12 |
| Clima | 13 |
| Oceanografía | 15 |
| Productividad | 15 |
| Ventilas hidrotermales | 16 |
| VI. METODO | 17 |
| VII. RESULTADOS | 22 |
| VIII. DISCUSION | 28 |
| IX. CONCLUSIONES | 38 |
| X. REFERENCIA BIBLIOGRAFICA | 39 |
| XI. TABLAS Y FIGURAS | |
| Tabla 1. Análisis de los parámetros Físico-Químicos por estación | 43 |
| Tabla 2. Parámetros Estadísticos de los análisis Físico-Químicos por transecto | 50 |
| Tabla 3. Análisis de Varianza por transecto | 51 |

| | |
|--|-----|
| Figura 1. Una Estructura Hidrotermal | 52 |
| Figura 2. Zona de estudio | 53 |
| Figuras 3 a 5. Isograma vertical O ₂ disuelto (uM) (Transectos) | 54 |
| Figuras 6 a 8. Isograma vertical P-PO ₄ (uM) (Transectos) | 57 |
| Figuras 9 a 11. Isograma vertical N-NO ₃ (uM) (Transectos) | 60 |
| Figuras 12 a 14. Isograma vertical N-NH ₃ (uM) (Transectos) | 63 |
| Figuras 15 a 17. Isograma vertical Si-SiO ₃ (uM) (Transectos) | 66 |
| Figuras 18 a 20. Isograma vertical pH (Transectos) | 69 |
| Figuras 21 a 23. Isograma vertical Temperatura (°C) (Transectos) | 72 |
| Figuras 24 a 26. Isograma vertical Salinidad (Transectos) | 75 |
| Figuras 27 a 31. Isograma horizontal O ₂ (uM) (Niveles) | 78 |
| Figuras 32 a 36. Isograma horizontal P-PO ₄ (uM) (Niveles) | 83 |
| Figuras 37 a 41. Isograma horizontal N-NO ₃ (uM) (Niveles) | 88 |
| Figuras 42 a 46. Isograma horizontal N-NH ₃ (uM) (Niveles) | 93 |
| Figuras 47 a 51. Isograma horizontal Si-SiO ₂ (uM) (Niveles) | 98 |
| Figuras 52 a 56. Isograma horizontal pH (Niveles) | 103 |
| Figuras 57 a 61. Isograma horizontal Temperatura (°C) | 108 |
| Figuras 62 a 66. Isograma horizontal Salinidad (Niveles) | 113 |
| | |
| XII. APENDICE 1 | |
| Relación y posición geográfica de las estaciones | 118 |

RESUMEN

En la Cuenca de Guaymas, localizada en el Golfo de California, fue realizada la campaña Oceanográfica CHIMENEAS-I del 21 al 27 de septiembre de 1990 con la finalidad de realizar su estudio físico-químico, debido a la presencia de chimeneas hidrotermales en ésta área, éstos sistemas se descubrieron como resultado de investigaciones realizadas en la Dorsal de las Galápagos (Ballard, 1984) y posteriormente en 1980 se descubrieron en la Cuenca de Guaymas; manifestándose como un flujo en forma de chorro, alcanzando altura de 1 a 5 m y con diámetro que varían de 30 a 1 m desde el piso oceánico.

Las concentraciones respecto a los valores teóricos esperados de oxígeno disuelto obtenidas para la superficie son bajas y disminuyen conforme aumenta la profundidad. Los valores de pH son ligeramente alcalinos y disminuyen a medida que la profundidad se incrementa. Los nitratos son mayores que el amoniaco. El valor mínimo de concentración encontrado para los nitritos fue de $0.0714 \mu\text{M}$ cuyo valor corresponde al límite inferior de detección por lo que se presenta una distribución homogéneas a lo largo de la columna; se encontró la siguiente relación: nitrato>amoniaco>nitrito. La concentración de ortofosfatos disueltos permanece casi constantes hasta 1500m de profundidad. Los valores obtenidos para el silicio son bajas en superficie incrementándose según la profundidad. El análisis de la temperatura muestra la presencia de tres capas. En superficie la salinidad es más alta que el promedio marino, debido a que la evaporación es mayor que la precipitación.

I. INTRODUCCION

Una de las manifestaciones más interesantes de la tectónica de placas son las ventilas hidrotermales que fueron descubiertas por R. Ballard y colaboradores en 1977, gracias al progreso de las investigaciones de los procesos tectónicos responsables de la formación de nuevo piso oceánico en torno a la Cordillera Meso-Oceánica del Pacífico Oriental. Estos sitios son centros de dispersión y se caracterizan por su alta actividad volcánica, comprenden el sistema de cordilleras oceánicas mundial que se extiende alrededor de la tierra a lo largo de las cuencas oceánicas (Rona, 1982); éstos se hayan situados encima de una cámara de magma cuya temperatura puede alcanzar de 1200 a 4000°C, gradiente térmico que se produce entre la cámara de magma y las bajas temperaturas de el fondo oceánico, (Ballard y Francheteau, 1984).

Las comunidades bentónicas que se han reconocido son las siguientes: bacterias, pogonóforos, anélidos poliquetos, moluscos bivalvos, crustáceos, decápodos y foraminíferos viviendo alrededor de estas ventilas hidrotermales en donde el gradiente térmico puede fluctuar entre 8 y 12°C.

Los estudios físico-químicos en la parte central del Golfo de California y en particular en la Fosa de Guaymas son escasos, lo cual indica la importancia de desarrollar investigación en esta área. Estos estudios permitirán conocer la concentración y distribución espacio-puntual de los diferentes parámetros físico-químicos. Estos son importantes para diversas ramas científicas entre ellas la Geología, debido a la formación de nódulos de distintos minerales que se elaboran en las profundidades del océano, además de que estas distintas formas en las que se presentan son características fundamentales para comprender la forma, densidad y movimiento de la biomasa marítima presente.

El presente estudio tiene como finalidad la determinación de los nitratos, nitritos, amonio, fosfatos, silicatos, pH, oxígeno, temperatura y salinidad, parámetros que conjuntamente con otros estudios (geoquímicos, bioquímicos, microbiológicos, etc.) ayudarán a entender mejor los diversos procesos que se suceden en la región de Guaymas, en ésta época del año (principios de otoño 1990).

II. ANTECEDENTES

A partir de los años setentas se han realizado una serie de investigaciones oceanográficas en el Golfo de California para estudiar los fenómenos hidrotermales; algunas de las más importantes se mencionan a continuación:

Durante las expediciones del Deep Sea Drilling Project (DSDP) el B/O Glomar Challenger muestreó núcleos de sitios bien conocidos encontrando sedimentos hemipelágicos alterados hidrotermalmente (Einsel *et al.*, 1980; Einsel, 1982; Curray *et al.*, 1982). Lonsdale (1980) estudió dichos depósitos hidrotermales con sonar y fotografía submarina.

Posteriormente fueron realizadas una serie de inmersiones en la depresión sur de la Cuenca de Guaymas, en enero de 1982, abordo del sumergible Alvin de Woods Holl Oceanographic Institution en colaboración con Scripps Institution of Oceanography, registrando numerosos montículos y chimeneas hidrotermales (Peter *et al.*, 1986).

Lupton, 1979 en Peter, 1986 encontró en la Cuenca de Guaymas al He³, un trazador geoquímico para las nubes emanadas por las fuentes hidrotermales, en niveles del 60 al 70 % más altos que los atmosféricos.

Soto y Molina-Cruz, 1986 estudiaron los grupos de organismos que se encuentran en las ventosas (bacterias, pogonóforos, anélidos poliquetos, moluscos bivalvos y crustáceos decápodos). Así mismo, se han realizado trabajos

con foraminíferos planctónicos y en sedimentos superficiales (Bradshaw, 1959; Bandy, 1961; Matoba y Oda, 1982).

Según el estudio realizado por Alvárez Borrego *et al.*, 1978, en el Golfo de California, la distribución vertical de nutrientes, al sur de las islas Angel de la Guarda y Tiburón, es muy similar en general a la del Océano Pacífico Norte Tropical Oriental. En el Canal de Ballenas, la distribución vertical de nutrientes es única, de acuerdo con la distribución de Oxígeno, temperatura y salinidad ya que aumentan monotómicamente con la profundidad.

Por su parte Paéz-Osuna, 1989 reporta que los depósitos hidrotermales de la depresión sur de la Cuenca de Guaymas presentan una mineralogía de sulfuros en donde la pirrotita es el sulfuro más abundante, con cantidades menores de sulfuros de Zn, Cu y Fe.

III. GENERALIDADES

CARACTERISTICAS DE LAS VENTILAS HIDROTERMALES.

Las ventilas hidrotermales se manifiestan, como un flujo en forma de chorro, el cual contiene una cantidad considerable de metales disueltos que al alcanzar la superficie del fondo oceánico y enfriarse se precipitan progresivamente y se depositan a su alrededor, formando estructuras espirales parecidas a chimeneas y cuya altura fluctúa entre 1 y 5 m y su diámetro va desde 30 cm a 1 m.

A partir de 1978, se han descubierto depósitos de sulfuros polimétalicos a lo largo de la Cordillera Meso-Oceánica del Pacífico a los 13° y a los 21° de latitud Norte, en la Cuenca de Guaymas y en la Cordillera Juan de Fuca, estos son parte de una serie de depósitos minerales formados a partir de soluciones calientes, es decir, por soluciones hidrotermales en los centros de expansión del piso oceánico (Rona, 1982). En general, la composición mineralógica de los depósitos en cada localidad es parecida, aunque hay algunas diferencias en la concentración de ciertos metales como zinc, cobre, plata, etc. (Soto y Molina-Cruz, 1986).

NATURALEZA GEOLOGICA

Se ha demostrado mediante estudios geológicos de las Cordilleras Meso-Oceánicas que en el seno de la mayoría de las fallas, fracturas o fisuras, existe una manifestación calorífica significativa.

El agua del fondo del mar que baña a las Cordilleras Meso-Océanicas presenta temperaturas que en raras ocasiones sobrepasan los 4°C. Sin embargo, cuando esta agua se filtra en fisuras o fracturas, donde hay una gran concentración de energía calorífica, esta se calienta alcanzando temperaturas que pueden llegar a los 250°C. Debido a esta condición, el agua disminuye su densidad y brota en forma de "chorro" desde el fondo del mar, alcanzando alturas hasta de 15 m. Puesto que la emanación al escapar del fondo del mar forma un rasgo morfológico parecido a una ventila o una chimenea, los científicos se refieren a este fenómeno como "ventilas" o "chimeneas hidrotermales". (Soto y Molina-Cruz, 1986).

COMPUESTOS QUIMICOS.

Las riquezas conocidas que se esperaban explotar en los grandes fondos, eran los nódulos polimetálicos ricos en manganeso, hierro, cobalto y níquel descubiertos hace un siglo por la expedición Challenger. (CONACYT, 1978).

Sin embargo las muestras extraídas de la quinta inmersión del Cyana sobre la cresta de la dorsal del Pacífico Este, mostraron estar constituidas por sulfuros metálicos ricos en zinc y en cobre. Algunos contienen hasta 29 % de zinc, 6 % de cobre y también cadmio, plata, oro y platino y representan una moderna analogía con los minerales de sulfuros metálicos conocidos en la tierra.

El agua de mar que se filtra en las fisuras del basamento igneo al alcanzar una temperatura mayor disuelve a las sales y minerales que lo constituyen éste, formando sulfuros, hidróxidos y silicatos de hierro y manganeso. (CONACYT, 1978).

Además encontramos que los sedimentos son ricos en compuestos nitrogenados.

NATURALEZA BIOLOGICA.

Se descubrió durante una sumersión del Cyana (1978) una colonia de bivalvas fósiles gigantes, que pertenecen a una especie de la familia de los Vesicomydos, ya observadas por el Alvin, en forma de colonias vivas que habitan las fuentes de agua caliente en el eje del Rift de las Galápagos y algunos cojines cubiertos de tubos de gusanos serpúlidos muertos.

En la expedición RISE (Rivera Submersible Experiments), se descubrieron fuentes de agua caliente asociadas con aglomeraciones sulfúreas cónicas y con comunidades biológicas, es decir chimeneas hidrotermales cubiertas de gusanos tubícolas (vestimentiferos y poliquetos); el agua caliente tornasolada y lechosa que se encuentra por encima de esta fuente contiene después de ser diluida con agua de mar hasta un millón de células bacterianas por milímetro cúbico, proporcionando lo esencial de los elementos nutritivos necesarios a la comunidad biológica, descomponiendo el sulfuro de oxígeno, por oxidación , en azufre y sulfuros. (CONACYT, 1978).

La composición faunística es constante; como principales componentes están: el pogonóforo Riftia, los anélidos poliquetos Alvinella y Paravinella, los moluscos bivalvos Caliptogena y Bathymodiolus y los crustáceos decápodos Munidopsis, Cynagrea y Bathygraea. (Fig. 1).

Las condiciones en los sistemas de ventanas hidrotermales son desfavorables para la proliferación de la vida; los organismos que habitan estos sistemas presentan adaptaciones de tipo anatómico, trófico, fisiológico, bioquímico y conductuales propicias, esto les ha permitido colonizar de manera exitosa las áreas donde se presentan flujos hidrotermales. Por ejemplo la presencia del pogonóforo Riftia pachyptila y la almeja Calyptogena magnifica se debe a una relación simbiótica con bacterias sulfo-oxidativas alojadas en sus tejidos (Jones, 1980).

También se han encontrado foraminíferos bentónicos en los sedimentos (CONACYT, 1978).

IV. OBJETIVOS

GENERAL.

Establecer la variación espacial de los principales parámetros físico-químicos en el área de la fosa de Guaymas y zonas aledañas, prevalecientes del 21-27 de septiembre de 1990.

PARTICULARES.

Determinar la concentración de oxígeno disuelto y pH a diferentes profundidades y estaciones.

Determinar la concentración de los nutrientes siguientes: nitritos ($N-NO_2$), nitratos ($N-NO_3$), ortofosfatos ($P-PO_4$), amonio (NH_3) y silicio ($Si-SiO_2$) a lo largo de toda la columna de agua.

Obtener los valores de temperatura y salinidad a profundidades estándares.

V. DESCRIPCION DEL AREA DE ESTUDIO

El Golfo de California es una cuenca marginal, que se sitúa al noreste de México, aproximadamente entre los 23° y 32° de latitud Norte y los 107° y 117° longitud Oeste. Es un mar adyacente que está limitado al oeste por la Península de Baja California y al oriente por los Estados de Sonora y Sinaloa. Tiene una longitud aproximada de 1400 km y una anchura promedio de 100-150 km., cubriendo una área de cerca de 210000 km. El Golfo es considerado como la principal cuenca de evaporación en el Océano Pacífico (Roden y Emilson, en prensa) y se comunica con éste en su porción sur.

El Golfo de California ha sido dividido en tres regiones geográficas principales (Roden y Groves, 1959): la parte norte que va desde el Río Colorado hasta la Isla Tiburón; la parte central desde la Isla Tiburón hasta Topolobampo; y la parte sur que comprende de Topolobampo hasta Cabo Corrientes.

El área de estudio se encuentra ubicada dentro de la Cuenca de Guaymas, que se localiza en la parte central del Golfo, presenta una forma ovoide irregular y su profundidad máxima es de 2100 m. (Fig. 2).

CLIMA.

Geográficamente el Golfo de California se ubica dentro de la región subtropical. Debido a esto presenta una marcada fluctuación de las condiciones climatológicas en el año.

Durante el invierno y parte de la primavera, los vientos dominantes del noroeste entran al Golfo a través de la zona del Lago Salado. Estos vientos ocasionan en el invierno fuertes descensos de la temperatura en la porción norte, produciendo heladas e incluso precipitaciones de nieve. El resto del año predominan los vientos alisios que invaden la Plataforma Mexicana y se dividen en dos frentes uno hacia el Golfo de California y otro hacia el Golfo de México. Estos vientos son cálido-húmedos y traen consigo las tormentas tropicales de verano, que afectan a las costas de Sinaloa y Sonora, así como a la parte sur de la península, éstas tormentas tienen su mayor incidencia durante agosto y septiembre. La conformación en la distribución de masas de agua y tierra dentro del Golfo da lugar a que la zona norte sea más extremosa que la sur (UNAM, 1988).

El Golfo se caracteriza por presentar dos estaciones climáticas una estación seca y otra lluviosa. La primera se prolonga desde octubre hasta finales de junio, mes en que suelen comenzar las lluvias, las que continúan durante el verano hasta mediados de septiembre. En esta época se van

haciendo cada vez menos copiosas y más espaciadas, hasta extinguirse por completo. La escasa precipitación pluvial de esta región es debida a la presencia de las cordilleras con cimas de 3000 m.s.n.m., que se sitúan a lo largo de la Península de Baja California, éstas aislan y limitan al Golfo de California del Océano Pacífico. La humedad proveniente de éste es retenida por las laderas occidentales de las Sierras, en donde se precipita; así como las extensas zonas áridas que rodean al Golfo de California, contribuyen que el clima sea más continental que oceánico (UNAM, 1988).

Según García, E. (1973, 1986) está área pertenece a la clasificación climática BS seco semiárido debido a su localización y a la poca precipitación anual ya que la evaporación excede a ésta, se encuentra bordenado a los climas BW árido muy seco.

OCEANOGRÁFIA.

La circulación de las aguas superficiales del Golfo está muy ligada al patrón de vientos; siendo éstos predominantemente del noroeste en invierno y del sureste en verano. Se han observado en la entrada del Golfo tres tipos de aguas superficiales: 1) el agua de la corriente de California, de baja salinidad y temperatura ($T < 22^{\circ}\text{C}$; $S < 34.6$), 2) el agua cálida del Pacífico Tropical Oriental, de salinidad intermedia ($22^{\circ}\text{C} < T > 25^{\circ}\text{C}$; $34.6 < S > 34.9$) y 3) el agua originada en el interior del Golfo, de alta salinidad y temperatura ($T > 25^{\circ}\text{C}; S > 34.9$) (Roden y Groves, 1959).

Las mezclas de agua que ocurren en el Golfo de California provocadas por la formación de frentes oceánicos, fenómenos de surgencias y fuertes corrientes de marea en la superficie, producen una regeneración de nutrientes, lo que origina que la productividad primaria en el Golfo sea muy abundante.

PRODUCTIVIDAD.

En muchas localidades del Golfo de California son comunes los afloramientos de plancton, sostenidos por surgencias de aguas ricas en nutrientes. Los vientos provenientes del sureste en verano, además de producir lluvias en Sonora y Sinaloa, traen aparejados fenómenos de surgencias a lo largo de la costa occidental del Golfo

(Hasting y Turner, 1965; Roden, 1972). Durante el invierno y primavera, los vientos del noroeste gobiernan los procesos de surgencias y florecimiento de plancton en las costas orientales del Golfo (Soutar *et al.*, 1981). Los principales centros de surgencias parecen estar en los sotaventos de cabos, islas y puntas (Roden y Groves, 1959).

VENTILAS HIDROTERMALES.

La Cuenca de Guaymas incluye dos pequeños segmentos del eje de dispersión que separa a la placa de Norteamérica de la placa tectónica del Pacífico.

Los segmentos de este eje de dispersión están desalineados, el uno en relación con el otro, por una serie de fallas geológicas del tipo transformado, dispuestas escalonadamente. Puesto que el eje de dispersión de la Cuenca de Guaymas es muy joven, este se manifiesta por la presencia de ventilas hidrotermales intrasedimentarias. En este sitio, la solución hidrotermal originada en el basamento igneo reacciona con los sedimentos acarreados desde los márgenes continentales y con precipitados provenientes desde la superficie del mar, formando depósitos minerales y condiciones que resultan propicias para el desarrollo de comunidades bentónicas.

VI. METODO

Se efectuó la campaña CHIMENEAS-I en el Golfo Central de California, en particular en la Fosa de Guaymas, Son., a bordo del Buque Oceanográfico "EL PUMA", del 21 al 27 de septiembre de 1990, la cual abarcó un total de 43 estaciones, ubicadas en diferentes puntos de esta zona (Fig. 2) (Apéndice 1).

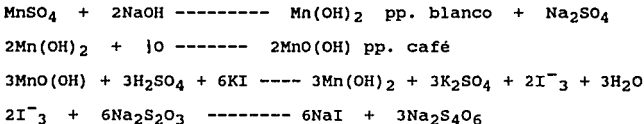
En cada estación se recolectaron las muestras por medio de lances hidrográficos, utilizando una sonda hidráulica acoplada a un sistema automático de muestreo in situ denominado rosette. En éste se colocaron 12 botellas muestreadoras tipo Niskin de 1.5 litros. Mediante este sistema, las botellas se cierran accionando un disparador electrónico durante el ascenso de la sonda. Las profundidades se determinaron según Sverdrup, 1942; éstas son 5, 20, 50, 100, 200, 300, 500, 800, 1000, 1200, 1500 y 1800 m, las cuales se modificaron de acuerdo a lo observado en la gráfica del perfil de descenso obtenidas del graficador analógico, haciendo un total de 443 muestras.

Situados en la red de muestreo se bajó la rosette en cada una de las estaciones y para cada una de las profundidades mencionadas; posteriormente cuando ésta se

encontraba en cubierta se procedió a tomar muestras de agua directamente de cada una de las botellas Van Dorn para las siguientes determinaciones:

OXIGENO DISUELTO.

El método que se utilizó para calcular la cantidad de Oxígeno disuelto fue el de Winkler modificado por Carrit y Carpenter (1966) que permite hacer mediciones de Oxígeno in situ. Esta determinación se basa en una serie de reacciones de óxido-Reducción:



pH.

Se toman la muestras en botellas de plástico de 1 L., se procede a obtener el pH con un potenciómetro Corning 301, el cual está calibrado con dos soluciones buffer pH 6.86 y 9.18 en la escala NBS; dando como resultado una serie de números que expresan el grado de acidez (o alcalinidad) de una disolución.

Después de la determinación anterior las muestras fueron filtradas en membranas Millipore de 0.45 μm , de éstas se toman 5 porciones iguales de aproximadamente 2 ml., las cuales se destinan para cuantificar los diferentes nutrientes y se tratarón de la siguiente manera: 1) se le añade unas gotas de fenol como conservador para el amonio (Degobbis, 1973), 2) se le adicionan unas gotas de azida de sodio al 5% como conservador para el Fósforo (Parsons *et al.*, 1984), 3 y 4) se mantienen en congelación hasta el momento de su análisis éstas se usan para nitritos y nitratos y 5) se utiliza para los silicatos.

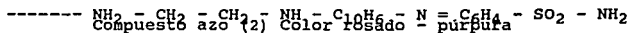
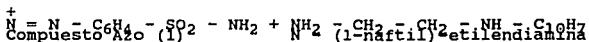
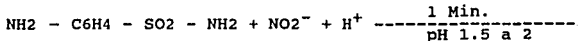
Los análisis de cada nutriente fueron hechos con un analizador de flujo continuo FIAstar de Tekator Mod. 5020, y con un autoanalizador Technicon II, siguiendo las técnicas recomendadas en los manuales de los equipos así, como las modificaciones propuestas por Vázquez y Alexander (En preparación); estas se llevan a cabo de la forma siguiente:

NITRITOS.

Las formas inorgánicas del Nitrógeno son el ión nitrato ($1-500 \mu\text{g N-NO}_3/\text{L}$), el ión nitrito ($0.1-50 \mu\text{g N-NO}_2/\text{L}$ y el amonio ($1-50 \mu\text{g N-NH}_3/\text{L}$).

La determinación del ion nitrito se realiza por el método aportado por Bendschneider y Robinson (1952).

La reacción correspondiente es la siguiente:



NITRATOS.

La determinación de nitratos se basa en la reducción casi cuantitativa de nitratos a nitritos en una columna de limaduras de cadmio cubiertas con cobre coloidal (Wood *et al.*, 1967).

AMONIO.

El método usado es el propuesto por Solorzano (1959), el cual se lleva a cabo a valores altos de pH.

FOSFORO.

El fósforo se encuentra en el agua de mar en forma disuelta y particulada. La fase disuelta está constituida en gran proporción de iones ortofosfatos. El método usado en la determinación de fósforo como ortofosfato es el propuesto por Murphy *et al.*, (1952).

SILICIO.

El Silicio está presente en el agua de mar en solución y como material sólido en suspensión. La Silice particulada está constituida por las estructuras extracelulares de diatomeas, silicoflagelados y radiolarios, además en los minerales como el cuarzo y los feldespatos. El método usado es el propuesto por Fanning et al., (1973).

TEMPERATURA Y SALINIDAD.

Finalmente estos parámetros se determinan a través de un perfilador CTD (Medidor de Conductividad, Temperatura y Profundidad) Neil Brown Mark-IIIB, este aparato registra 32 ciclos de mediciones de los parámetros físicos mencionados por segundo; la salinidad se calculó a partir de los datos obtenidos de conductividad (UNESCO, 1984).

VII. RESULTADOS

Los resultados obtenidos por cada estación se presentan en la tabla 1, los parámetros estadísticos por transecto (valor promedio, el valor máximo, el valor mínimo, y la desviación estándar) en la tabla 2 y el análisis de varianza por transecto en la tabla 3.

Estos datos son importantes para establecer el comportamiento y las características de la parte central del Golfo de California en particular, la Fosa de Guaymas y zonas aledañas a través de gráficas tanto isolíneas horizontales (profundidades: 5, 20, 500, 1000 y 1500 m) como isolíneas verticales (transectos 1, 2, 3, 4, 5 y 6).

OXIGENO DISUELTO:

Las concentraciones obtenidas a los 5 m son bajas (Fig. 27) respecto a el valor teórico 214 μM (Riley y Chester, 1989); excepto en la estación 6 (Tabla 1), transecto 1 donde se obtuvo 264.30 μM , siendo éste el valor máximo, y el valor mínimo fue de 3.96 μM registrado a los 500 m en la estación 35, transecto 6 (Tabla 2).

En las gráficas 3 a 5 se pueden observar los perfiles verticales con tendencia general a la disminución en la concentración de oxígeno, sin embargo a profundidades entre 5 y 20 m (Figs. 27 y 28) las concentraciones son altas, disminuyendo a 500 y 1000 m (Figs. 29 y 30) y tienden a incrementarse a los 1500 m (Fig. 31), se pueden apreciar los giros ciclónicos de concentración.

ORTOFOSFATOS:

La concentración mayor de ortofosfato fue de 10.4605 μM a 5 m en la estación 20 (Tabla 1), transecto 3 (Tabla 2) disminuyendo hasta tener un valor mínimo de 1 μM a 5, 1000, 1500 y 1700 m de profundidad en las estaciones 3, 9, 12 y 29 (Tabla 1) respectivamente, en los transectos 1, 2 y 4. (Tabla 2). En los transectos 1 a 6 (Figs. 6 a 8) se observa el aumento en concentración de este parámetro conforme se desciende en la columna de agua, es decir en los niveles 5 y 20 m (Figs. 32 y 33) se tienen las menores concentraciones con respecto a los de 500, 1000 y 1500 m (Figs. 34 y 36).

NITRATOS:

Este nutriente en el agua de mar se encuentra por lo general en el intervalo de 0.0714-35.7 μM (Riley y Skirrow, 1975) pero en este caso llegó a alcanzar un valor máximo de 949.5456 μM a 1000 m estación 11 (Tabla 1), transecto 2 (Tabla 2) disminuyendo hasta un valor mínimo de 0.0714 μM que se presentó a diferentes profundidades y en todos los transectos (Tabla 2). Se pueden ver giros de alta concentración de éste (Figs. 37 a 41); gráficamente (Figs. 9 a 11) se observa que hay menor concentración en superficie y va aumentando su concentración según aumenta la profundidad.

AMONIACO:

Los valores encontrados son elevados para el agua de mar ya que el intervalo reportado es de 0.07-3.57 μM semejante al de los ortofosfatos; el valor máximo es de 115.5830 a 800 m estación 20, transecto 3 (Tabla 2) y el valor mínimo de 0.5 μM a 5 y 1500 m en las estaciones 3 y 6 respectivamente (Tabla 1).

En los isogramas tanto horizontales (Figs. 42 a 46) como verticales se observan los giros anticiclónicos de concentración, es decir la distribución del amoniaco es heterogénea ya que presenta máximos y mínimos a diferentes profundidades.

SILICIO:

El valor máximo para el silicio es de 156.4931 μM a 1800 m en la estación 23 y transecto 4 (Tabla 2) y el valor mínimo es de 0.2500 μM , en la profundidad de 5 m, en la estación 3 (Tabla 1) y transecto 1 (Tabla 2).

A los 5 m (Fig. 47) hay mayor concentración de este nutriente que en las siguientes profundidades 20, 500, 1000 y 1500 m (Figs. 48 a 51), se observa un aumento en la concentración, esto se comprueba con los isogramas verticales (Figs. 15 a 17) donde se aprecia el aumento en la concentración, al incrementarse la profundidad.

NITRITOS:

Es el nutriente que se distribuye a lo largo de toda la columna de agua de forma homogénea, es decir sus valores son casi constantes; sin embargo se registra un valor máximo de 7.7820 μM a 1000 m en la estación 30 (Tabla 1), en el transecto 5 (Tabla 2) decreciendo hasta un valor mínimo de 0.0714 μM (Límite mínimo de detección). Debido a lo anterior no se hicieron isogramas.

pH:

El rango normal de pH para las aguas marinas es de 7.8-8.2 (Millero y Sohn, 1992), en el presente trabajo los valores obtenidos están ligeramente altos, encontrándose un valor máximo de 8.383 a 5 m estación 20, transecto 3 y el valor mínimo de 6.872 a 700 m estación 2, transecto 1 (Tabla

1 y 2). Los valores mayores ($\text{pH}>8$) se registran a los 5 y 20 m (Figs. 52 y 53) y los valores menores ($\text{pH}<7$) se registran a partir de los 500 m hasta los 1500 m (Figs. 54 a 56), ésto se comprueba con las gráficas verticales (Figs. 18 a 20) en las cuales podemos apreciar la disminución, conforme avanza la profundidad.

TEMPERATURA:

Este parámetro disminuye gradualmente (Tabla 1) al aumentar la profundidad; en los isogramas horizontales de 5 y 20 m (Figs. 57 y 58) las temperaturas son altas y homogéneas, en el de 500 m (Fig. 59) hay valores intermedios y finalmente a los 1000 y 1500 m (Figs. 60 y 61) disminuyen ligeramente y en los isogramas verticales se comprueba éste decremento hacia el fondo para después permanecer constante (Figs. 21 a 23).

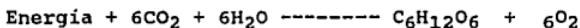
SALINIDAD:

El valor promedio de salinidad para el agua de mar es de 35 (Riley y Skirrow, 1975), los valores en general tienden a elevarse, se observa que a los 5 y 20 m (Figs. 62 y 63) las salinidades son mayores a 35; sin embargo a los 500 m (Fig. 64) hay disminución de ésta, y se incrementa a los 100 y 1500 m (Figs. 65 y 66) en las gráficas verticales (Figs. 24 a 26), se corroboró lo anterior, al observar la presencia de la franga de menor salinidad desde los 200 hasta 740 m aproximadamente (Tabla 2).

VIII. DISCUSION

OXIGENO DISUELTO:

La distribución vertical y horizontal del oxígeno en el agua de mar es resultado de la acción reciproca de los procesos bioquímicos y físicos por los cuales entra y es transportado a todo el sistema acuático; las concentraciones encontradas en las capas subsuperficiales 5 y 20 m (Figs. 27 y 28) son bajas con respecto al valor reportado 214 uM (Riley y Chester, 1989), sin embargo presenta una mayor concentración con respecto a las demás, esto se debe fundamentalmente a la gran actividad biológica que se encontró durante el desarrollo de la campaña (Comunicación personal: Vázquez, 1990), la cual se observó en base a la concentración elevada de los NO_3^- ; es decir por procesos competitivos de fotosíntesis y respiración:



En estas mismas capas se observan altas temperaturas (Figs. 57 y 58) lo que provoca que baje la solubilidad del oxígeno; desde los 500 hasta los 1000 m de profundidad hay una marcada disminución de oxígeno, es decir hay una capa anóxica profunda, como resultado de la oxidación de la materia orgánica, finalmente a 1500 m (Fig. 31) tiende a incrementarse, porque el consumo de oxígeno en aguas profundas es poco ya que la materia orgánica es escasa y es resistente a la oxidación (Fig. 4) además que la temperatura ya permanece constante y la solubilidad del oxígeno es mayor

a menor temperatura; éste comportamiento vertical es similar a lo observado en los distintos oceános (Riley y Chéster, 1989); esto se comprobó mediante el análisis de varianza por transectos, lo que da como resultado que esto presente diferencia estadística significativa ($\alpha=0.05$) y por profundidades se muestra que hay asociación entre las de 5 y 20 m, 500-1500 m y 1500-1800 m.

ORTOFOSFATO:

La concentración de ortofosfato tiende a incrementarse conforme aumenta la profundidad (Figs. 32 a 36) debido a que el máximo de ortofosfato casi siempre tiende a alcanzar el mínimo de oxígeno (Riley y Chester, 1989).

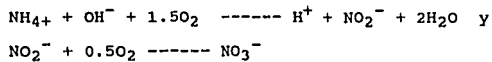
La presencia de este nutriente en el agua de mar se debe principalmente al producto de la descomposición y excreción de los organismos marinos, es decir cuando estos mueren y se hunden al piso oceánico (Butler et al., 1969), mucho de su fósforo es regenerado al agua, debido al intercambio de agua superficiales con aguas profundas (Riley y Chester, 1989), debido a esto los resultados que se observan son casi constantes en toda la columna de agua y además se encuentran en menor proporción que los nitratos, de acuerdo al análisis de varianza hay dos grupos diferentes de transectos: 1, 2, 3, 4 y 5, 6, por las diferentes profundidades indica que existe variación en cada una de ellas; comparando con Alvárez-Borrego, et al., (1978) los ortofosfatos al sur de las islas Angel de la Guarda y Tiburón a los 100 m es de $2 \mu\text{M}$, en el Canal de Ballenas es

de 3 μM hasta los 1500 m y en el centro del norte del Golfo se detectaron máximos débiles, se encontró mayor concentración en ésta área.

NITRATOS:

Normalmente para el agua de mar el valor máximo reportados es de 35.7 μM ; sin embargo se observan en los transecto 1, 2 y 3 (Tabla 2) los valores son mas altos con respecto al mencionado, de acuerdo al análisis de varianza el transecto 2 es completamente diferente a estos ya que se presenta un nódulo de máxima concentración, debido probablemente a que la en la fosa se acumula todo lo que cae de la plataforma continental, también se observa que los valores menores de concentración se encuentran en las estaciones cercanas a la costa y en los transectos 4, 5 y 6 las concentraciones son menores (Figs. 9 al 11). Las elevadas concentraciones se presentan en zonas de surgencias (Carlucci y Stricklan, 1968).

La concentración es mayor que la del amoniaco debido a que el nitrato es producto de la oxidación del amoniaco a nitrito y de éste a nitrato, proceso llamado nitrificación (Cooper, 1937):



La nitrificación esta presente en aguas profundas ya que este mecanismo es llevado a cabo por las bacterias nitrificantes y proteolíticas las cuales se presentan en

todas en toda la columna del mar incluso a bajas concentraciones de oxígeno; el análisis de varianza por profundidades demuestra que todas son homógeneas (Figs. 37 a 41). En un estudio realizado por Alvárez-Borrego *et al.*, (1978), al sur de las islas Angel de Guarda y Tiburón el gradiente en los 100 m superficiales de nitrato es de 15 μM y en el Canal de Ballenas aumenta monotómicamente hasta 30 μM comparándolo con este estudio los valores son similares.

AMONIACO:

El amoniaco al igual que el ortofosfato es el resultado de la desintegración bacteriana de los organismos marinos y excreta de animales, rápidamente es oxidado a nitrito y enseguida a nitrato, el rango reportado es de 0.0714-35.7 μM (Riley y Chester, 1989), en el presente estudio se encontró en concentraciones elevadas (Tabla 1), sin embargo esta en menor concentración que el nitrato debido a la abundancia de las bacterias que lo transforman; en el transecto 3 encontramos un nódulo o punto de concentración máxima de amoniaco. Con el análisis de varianza se observa que no hay diferencia significativa entre las distintas profundidades, sin embargo los transectos forman dos grupos homogéneos: 1, 2, 6 y 4, 5, 6. La distribución de los compuestos nitrogenados se debe también a los hundimientos de organismos muertos y al ascenso del agua, tal ascenso es debido a diferentes salinidades, temperaturas, densidades, etc.

SILICIO:

La concentración límite para el crecimiento de organismos que necesitan silicio es de 50 μM ; sin embargo el valor mínimo encontrado es de 0.2500 μM (Tabla 2) en las capas subsuperficiales 5 y 20 m (Figs. 47 y 48) debido a que el mar contiene diversos grupos de plantas (diatomeas) y animales (radiolarios, pterópodos y esponjas) que lo consumen para la formación de sus esqueletos, es decir a la gran actividad biológica que se presenta. En las capas profundas existe un incremento en su concentración (Figs. 49 a 51) ya que cuando mueren los organismos antes mencionados sus esqueletos lentamente se disuelven. El análisis de varianza indica que en todos los transectos no hay diferencia significativa y las concentraciones menores se encuentran en las capas 5 y 20 m y las mayores en 1500 y 1800 m; estudios realizados por Alvarez-Borrego *et al.*, (1978) indicaron que para las islas Angel de la Guarda y Tiburón en los 100 m superficiales fue de 30 μM , en el Canal de Ballenas aumentan con la profundidad (1500) hasta 70 μM , se detectaron máximos débiles de silicatos, en el centro del norte del Golfo.

NITRITOS:

Las bacterias son capaces de reducir el nitrato a nitrito y se encuentran tanto en la columna de agua como en los sedimentos; el valor máximo reportado es de 3.57 μM . Las

concentraciones encontradas son elevadas a dicho valor (Tabla 2), sin embargo su distribución es homógena en toda la columna, esto se comprobó con un análisis de varianza, también se realizó para los transectos el cual indica que 1, 2 y 3 son diferentes al 4, 5 y 6. Los nitritos se presentan en menor concentración en comparación con los nitratos y el amoniaco, presentándose la siguiente relación: nitritos<amonio<nitrato, según Alvárez-Borrego *et al.*, (1978), el nitrito presentó un máximo subsuperficial a 30-80 m con valores en general entre 0.2 y 0.6 μM hasta más de 1 μM en el Canal de Ballenas y en la boca del Golfo se presentó un segundo máximo de nitrito a 150-400 m, característico de zonas con bajas concentraciones de oxígeno.

RELACION NITROGENO:POSFORO:

El nitrógeno y el fósforo son asimilados en el agua de mar en una proporción de 15:1 por el fitoplancton (Redfield, 1934). Las concentraciones son menores en las capas superiores (Tabla 1) debido a la actividad biológica presente, se incrementa al aumentar la profundidad.

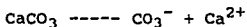
pH:

El pH puede variar a pesar de los procesos buffer, que mantienen más o menos constante el nivel de la concentración de H^+ (OH^-); estos son:

la difusión del gas CO₂ de la atmósfera al mar cuando este se combina con el agua:



dejando un exceso de protones que acidifican el medio acuoso; los iones positivos son neutralizados con el CO³²⁻ proveniente del carbonato de calcio:



y el proceso de incorporación de conchas y huesos al sedimento marino que provee de carbonato de calcio.

Se observa que el pH disminuye conforme aumenta la presión hidrostática y a concentración constante de CO₂, el análisis de varianza indica que desde los 5 hasta los 500 m el sistema es significativamente diferente (Figs. 52 a 54) a partir de los 500 a los 1800 m ya es homógeno (Figs. 55 y 56), el comportamiento en todos los transectos es homógeno (Figs. 18 a 20).

En la tabla 2 se observa que los valores máximos son ligeramente alcalinos es decir el CO₂ disminuye, esto puede afectar el proceso de fotosíntesis.

TEMPERATURA:

El agua marina se puede dividir en tres zonas verticales de temperaturas (Riley y Chester, 1989). Las temperaturas más altas se reportan entre 5 y 150 m (Tabla 1) en donde los valores varían ligeramente (Figs. 57 y 58), ya que es una capa de agua bien mezclada con temperaturas

homógeneas. Debajo de ésta se extiende otra capa que va de 150 a 1000 m aproximadamente, donde hay valores intermedios y la temperatura decrece rápidamente con la profundidad, conocida como termoclina (Fig. 59). Por debajo de estas dos capas se encuentra una tercera que es profunda, en la cual éste parámetro decrece gradualmente (Fig. 60) hasta el fondo el fondo para después permanecer constante, registrando valores mínimos entre 2.33-3.35°C (Fig. 61).

Todos los transectos son homógeos (Figs. 21 a 23) y las profundidades son significativamente diferentes, según el análisis de varianza, lo anterior es debido a que los valores registrados de temperatura fueron más altos en las capas superficiales porque la interacción del viento y la influencia de los rayos solares; las temperaturas más bajas se observan en las capas de fondo, esto es por la nula penetración de los rayos solares.

Además la temperatura del océano es amortiguada por la evaporación y por la circulación; la cual influye para estar cerca o debajo de los 30°C (Morner y Karlen, 1984).

SALINIDAD:

Este parámetro puede llegar a presentar valores superiores a 35 (Riley y Skirrow, 1975), esto se debe a que el Golfo de California es una cuenca de evaporación elevada, rodeada de desiertos con precipitación menor a 100 mm/año (Roden, 1964).

La existencia de tres capas de salinidad: superior (5 a 150 m), intermedia (150 a 1000 m) y profunda (1000 a 1500 m) es similar a la distribución de las temperaturas. La variación de la salinidad se debe también a corrientes y al proceso de mezcla que tienden a modificar la concentración de sales, aunado a la densidad son los principales factores que influyen en el aumento de la salinidad conforme se incrementa la profundidad, razón por lo que en las capas superficiales se tiene un gradiente menos denso comparado con las capas profundas (Svedrup, 1970). En el análisis de varianza por transecto no se encontró diferencia significativa entre ellos, (Figs. 24 a 26), pero en análisis por profundidades si se observan diferencias las que se encuentran agrupadas de acuerdo a las capas anteriormente mencionadas (Figs. 62 a 66).

La distribución de las altas concentraciones encontradas de los diferentes parámetros físico-químicos analizados puede deberse también a que en el Golfo de California ocurren procesos tales como las surgencias que son movimientos ascendentes de agua hacia las capas superficiales del mar. El viento es la fuerza que origina las surgencias, en el Golfo los vientos prevalecientes durante los meses de Marzo a Septiembre soplan en dirección sur, más o menos paralelos a la costa; por lo tanto existe un transporte de aguas superficiales hacia el oeste y en consecuencia un afloramiento de aguas intermedias para reemplazarlas. El fenómeno de surgencia es de gran

importancia ecológica debido a que las aguas intermedias que ascienden son más ricas en nutrientes y de menor temperatura que el agua superficial. Esta intrusión de agua rica en nutrientes, hacia la capa en donde la fotosíntesis puede llevarse a cabo, da como resultado una proliferación de la vida vegetal y animal en el lugar donde la surgencia tiene lugar (Barton, E. et al., 1976). Además de las surgencias se presentan las corrientes siendo la más importante, la proveniente del Pacífico tropical en verano que es agua superficial cálida ($>25^{\circ}\text{C}$) y de salinidad intermedia (34.6 a 34.9) su alcance hacia el norte del Golfo, es por arriba del extremo sur de la Península (Wyrtki, 1967; Stevenson, 1970, Scharader y Baumgartner, 1983); cubriendo el área de estudio.

La cuenca de Guaymas se caracteriza por la presencia de chimeneas hidrotermales que emiten flujos a altas temperaturas que llegan a alcanzar un máximo registrado de 350°C cuando estas están activas (CONACYT, 1978) por lo que se cree que en momento del muestreo se encontraban inactivas ya que las temperaturas alcanzadas en las capas profundas fueron bajas (3.3°C); el radio de acción de dichos flujos puede también alterar el comportamiento de los parámetros, puede alcanzar hasta 1 km.

IX. CONCLUSIONES

Los resultados obtenidos de los parámetros Físico-Químicos en esta investigación para la Cuenca de Guaymas, Golfo de California muestra que es una área en la cual el oxígeno presentó un modelo de distribución vertical similar al observado en casi todos los océanos.

La columna de agua estaba estratificada ya que en las capas superiores la temperatura era elevada, a continuación se presentó la termoclina y después la temperatura bajó y permaneció constante.

La salinidad tuvo un comportamiento ligeramente elevado principalmente por que la zona presenta alta evaporación y poca precipitación.

El pH disminuye a lo largo de la columna de agua, como se ha observado en otras áreas oceánicas.

Los nutrientes nitrogenados se encontraron en concentraciones elevadas, presentando la siguiente relación: nitrato>amoníaco>nitrito. La redistribución de estos compuestos nitrogenados puede deberse a los procesos realizados por las bacterias.

La distribución de los ortofosfatos es casi constante en toda la columna de agua.

La concentración de silicatos disueltos se incrementa en las capas profundas.

La concentración de los parámetros estudiados señala, que la calidad de agua es excelente ya que permite el desarrollo de las diversas formas de vida marina que se encuentran en la zona.

No se encontró un parámetro que indicará la actividad de las chimeneas, en base al método de trabajo seguido; esto señala la necesidad de usar equipo más sofisticado y cerrar la malla para tratar de observar algún indicio de las chimeneas hidrotermales desde la superficie.

X. REFERENCIAS BIBLIOGRAFICAS

- AGUAYO, C.J.E., 1984. Estudio de los sedimentos terrigenos de la Cuenca de Guaymas, Golfo de California Noroeste de México. Rev. Ins. Mex. Petrol., 16(4):5-35.
- ALEXANDER, H.M., 1991. Manual de prácticas de Laboratorio de Oceanografia Química. Inst. Cienc. Mar y Limnol. UNAM.
- ALVAREZ-ARELLANO, A y MOLINA-CRUZ, A. 1986., Aspectos paleoceanográficos cuaternarios del Golfo de California, evidenciados por conjuntos de radiolarios. An. Inst. Cien. Mar y Limnol., 13(2):67-94.
- ALVAREZ-BORREGO, S. et al. 1978. Nutrientes en el Golfo de California. Ciencias Marinas, 5(2):53-70.
- BALLARD, R.D., VAN ANDEL, T.H., and HOLOCOMB, R. T., 1982. The Galapagos Rift at 86°W: Variations in volcanism structure and hydrothermal activity along a 30 kilometer segment of the rift valley. Journal of Geophysical Research, 87:1149-1161.
- BALLARD, R.D., 1984. The Exploits of Alvin and Angus: Exploring the East Pacific Rise. Oceanus, 27(3):7-14.
- BANDY, 1961. Distribution of foraminifera, radiolaria and diatoms in sediments of the Gulf of California. Micropaleontology, 7(1):1-26.
- BENDSCHNEIDER, K. and R.J. ROBINSON, 1952. A new spectrophotometric method for the determination of nitrite in sea water. J. Mar. Res., 11:87-96.
- BRADSHAW, J., 1959. Ecology of living planktonic foraminifera in the north and equatorial Pacific Ocean. Contr. Cushman Found. Foran. Res., 10(2):25-64.
- CAMPBELL, A.C. and GIESKES, J. M., 1984. Water column anomalies associated with hydrothermal activity in the Guaymas Basin, Gulf of California. Earth and planetary Science Letters, 68:57-72.
- CARRITT, D.E. and J.H. CARPENTER, 1966. Comparison and Evaluation of Currently Employed Modifications of Winkler Method for Determining Dissolved Oxygen in Sea Water. J. Mar. Res., 24(3): 286-318.
- CRANE, K., 1985. The distribution of Geothermal Fields along the Mid-Ocean Ridge: An Overview. In: Jones, M.L. (ed). Hydrothermal Vents of the Eastern Pacific: An Overview. Bull. Biol. Soc. Wash., 6:3-18.

CURRAY, J.R., *et al.*, 1982. Initial Reports of Deep Sea Drilling Project. 64:1313.

CONACYT, 1978. Nacimiento de un Oceáno.

COMISION INTERSECRETERIAL DE INVESTIGACION OCEANOGRÁFICA. 1989. Atlas Oceanográfico Nacional.

DEGOBBIS, D., 1972. On the storage of sea water samples for ammonia determination. Limnol. Oceanogr. 17(1):146-150.

DE LA LANZA, G., 1991. Oceanografía de mares mexicanos. AGT Editor, S. A. (Ed.). Mex. 485 pp.

EDMOND, J.M. and VON DAMM, K.L., 1985. Chemistry of Ridge Crest Hot Springs. In: Jones, M. L. (ed). Hydrothermal Vents of the Eastern Pacific: An Overview. Bull. Biol. Soc. Wash., 6:43-48.

EINSEL, G. *et al.* 1980. Intrusion of basaltic sills in to highly porous sediments, and resulting hydrothermal activity. Nature, 283:441-445.

EINSEL, G., 1982. Mechanism of sill intrusion in to soft sediments and expulsion of pore water en Curray, J.R. *et al.*, Initial Reports of the DSDP. Vol. 64, part II, Washington, D.C. V.S. Goverment Printing Office: 1169-1176.

FANNING, K.A. and M.E.Q. Pilson, 1973. On the spectrophotometric determination of disolved silica in natural waters. Anal. Chem., 45(1):136-140.

HASTINGS, G.I. and TURNER, R.M., 1965. Seasonal Precipitation regimes in Baja California, Mexico. Geografiska Annaler, 47:204-223.

LARSON, R.L., MENARD, H. W. and SMITH, S.M., 1968. Gulf of California: A result of ocean-floor spreading and transform faulting. Science, 161:781-784.

LIDDICOAT, M.D., S. TIBBITS and E.I. BUTLER, 1975. The determination of ammonia in sea water. Limnol. Oceanogr., 20(1):131-132.

LONSDALE, P., 1980. Hydrothermal plumes and baritic sulfide mounds at a Gulf of California spreading center. Abstract. Eos. Trans. Am. Geophys. Union. Vol.61:p995.

LONSDALE, P.F. and BECKER, K., 1985. Hydrothermal plumes, hot springs and conductive heat flow in the Southern Trough of Guaymas Basin. Earth Planet Sci. Lett., 73:211-225.

- MATOBA, Y. and ODA, M., 1982. Late Pliocene to Holocene planktonic foraminifera of the Guaymas Basin, Gulf of California, Sites 477 through 481. In: Curray, J. R., D.G.
- MOORE, et al. (Eds.), Init. Repts. D. S.D.P., 64. Part2. Washington (U.S. Govt. Printing Office): 1003-1026.
- MILLERO, F.J. and SOHN, M.L., 1992. Chemical Oceanography. CRC Press, Inc. USA. 651 pp.
- MOLINA-CRUZ, A., 1986. Evolución oceanográfica de la Boca del Golfo de California. An. Inst. Cienc. Mar y Limnol., 13(2):95-120. UNAM.
- MURPHY, J. and J.P.RILEY, 1962. A modified single solution method for the determination of phosphate in natural waters. Analyt. Chim. Acta., 27:31-36.
- PETER, J.M., 1986. Genesis of Hydrothermal Vent Deposit in the southern trough of Guaymas Basin Gulf of California: A Mineralogical and Geochemical Study. Unpublished, Mr. Sc. Thesis, University of Toronto: p180.
- PETER, J.M. et al. 1986. Hydrothermal vent deposits from the southern trough of Guaymas Basin Gulf of California: A fluid inclusion stable and radiogenic isotope study. Geoexpo '86, University of Toronto. Canada:p69.
- RILEY, J.P. y CHESTER, R., 1989. Introducción a la Química Marina. AGT Editor, S. A. (Ed.) Méx. 459 pp.
- RILEY, J.P. and G. SKIRROW., 1975. Chemical Oceanography. 2nd. edition. Academic press. Great Britain.
- RODEN, G.I. and Groves, G. W., 1959. Recent oceanographic investigations in the Gulf of California. Marine Res. Jour., 18(1):10-35.
- RODEN, G.I. 1964. Oceanographic aspects of the Gulf of California . In van Andel, Tj.H. and G.G.Shor, (Eds.). Marine Geology of the Gulf of California. American Assoc. Petrol. Geol.. Mem 3:50-58.
- RODEN, 1972. Termohaline and baroclinic flow across the Gulf of California entrance and in the Revillagigedo Islands region. Jour. Phys. Oceanogr., 2(2):177-183.
- RONA, P.A., 1982. Polymetallic sulfide at sea floor spreading centers. A Global overview. Mar. Tec. Soc. Jour., 16(3):81-86.

- ROSALES, M.T.L., 1980. Manual de Laboratorio de Oceanografia Química. Inst. Cienc. Mar y Limnol. UNAM.
- ROZO, V.G., 1988. Cambios Paleoclimáticos-oceanográficos evidenciados por las asociaciones de foraminíferos bentónicos, de la parte oriental de la Boca del Golfo de California, durante el Cuaternario. Tesis de Maestría. ICMyL-UNAM. 166pp.
- SECRETARIA DE GOBERNACION/UNAM. 1988. Islas del Golfo de California. Méx. 206pp.
- SCHWARTZLOSE, R.A. y HENDRICKSON, J.R., 1983. Bibliografía del Golfo de California. Inst. Cienc. Mar y Limnol. UNAM.
- SOLORZANO, L., 1969. Determination of ammonia in natural waters by the phenol hypochlorite method. Limnol. Oceanogr., 14(5):799-801.
- SOUTAR, A., S.B. JOHNSON and T.R. BAUMAGARTHER, 1981. In search of modern depositional analogs to the Monterrey Formation. In: Garrison, G.E. y R.G. Douglas (Eds.), The Monterrey Formation and related siliceous rocks of California. Soc. Econ. Paleontologists and Mineralogists:123-147.
- SOTO, L.A. y MOLINA-CRUZ, A., 1986. Exploración submarina de Ventilas Hidrotermales en la Cuenca de Guaymas. Ciencia y desarrollo, 67(12):17-26.
- VAZQUEZ-GUTIERREZ, 1990. Comunicación personal.
- VON DAMM, K.L., EDMOND, J.M., GRANT, B., MEASURES, C.I., WALDEN, B. and WEISS, R.F., 1985. Chemistry of submarine hydrothermal solutions at 21°N, East Pacific Rise. Geochimica et Cosmochimica Acta, 49:2197-2220.
- VON DAMM, K.L., EDMOND, J.M., MEASURES, C.I. and GRANT B., 1985. Chemistry of submarine hydrothermal solutions at Guaymas Basin, Gulf of California. Geochimica et Cosmochimica Acta, 49:2221-2237.
- WOOD, E.D., F.A.J. ARMSTRONG and F.A. RICHARDS, 1967. Determination of nitrate in sea water by cadmium copper reduction to nitrite. J. Mar. Biol. Ass. U.K., 47:23-31.
- ZAVALA-HIDALGO, J., 1986. Estudio de la circulación en la zona sur del Golfo de California mediante el método inverso. Tesis profesional. UNAM.

TABLA 1. CONCENTRACION DE LOS PARAMETROS FISICO-QUIMICO POR ESTACION CHIMENEAS-I. SEPTIEMBRE 1990.

| Muestra No. | Prof. m. | O2 µM | pH 25°C | N-NO2 µM | P-PO4 µM | N-NO3 µM | Si/SiO2 µM | NH3 µM | Temp °C | Salinidad | N.I.T µM | N.F(1:15) µM |
|----------------|-------------|----------|------------|-------------|-------------|-------------|---------------|-----------|------------|-----------|-------------|-----------------|
| ESTACION 1 | | | | | | | | | | | | |
| 1 | 5 | 137.85 | 8.034 | 0.0714 | 5.5208 | 0.0714 | 74.9410 | 2.2835 | 28.550 | 35.062 | 2.43 | 0.44 |
| 2 | 20 | 106.83 | 8.092 | 0.0714 | 5.9726 | 7.0752 | 74.0826 | 6.4469 | 26.432 | 35.094 | 13.60 | 2.28 |
| 3 | 50 | 91.06 | 7.792 | 2.1490 | 5.1334 | 16.9919 | 23.4245 | 3.9496 | 23.403 | 35.091 | 23.09 | 4.50 |
| 4 | 100 | 51.48 | 7.593 | 0.0714 | 5.5554 | 21.0613 | 34.5942 | 3.1166 | 19.594 | 35.072 | 24.25 | 4.34 |
| 5 | 150 | 19.81 | 7.482 | 0.0714 | 5.8436 | 29.7715 | 40.6033 | 4.7827 | 16.672 | 35.052 | 34.63 | 5.93 |
| 6 | 300 | 25.02 | 7.482 | 0.0714 | 5.9405 | 33.6982 | 62.9228 | 7.2820 | 11.889 | 34.958 | 41.05 | 6.91 |
| 7 | 500 | 15.82 | 6.890 | 0.0714 | 6.2311 | 38.6958 | 72.3657 | 5.6158 | 7.767 | 34.876 | 44.38 | 7.12 |
| ESTACION 2 | | | | | | | | | | | | |
| 8 | 5 | 226.63 | 8.325 | 0.0714 | 4.9397 | 3.7768 | 5.4072 | 6.4469 | 30.321 | 35.031 | 10.30 | 2.08 |
| 9 | 20 | 165.10 | 7.940 | 2.3417 | 5.1657 | 0.0714 | 2.8318 | 7.2820 | 29.458 | 35.053 | 9.70 | 1.88 |
| 10 | 50 | 148.43 | 8.074 | 0.0714 | 5.2948 | 31.5563 | 12.2747 | 4.7827 | 24.172 | 34.892 | 36.41 | 6.88 |
| 11 | 100 | 114.83 | 7.936 | 2.2632 | 6.1988 | 29.2717 | 32.8773 | 8.1151 | 17.082 | 35.063 | 39.65 | 6.40 |
| 12 | 150 | 87.05 | 7.809 | 2.2918 | 5.5208 | 39.9809 | 42.3202 | 4.7827 | 14.740 | 35.060 | 47.06 | 8.52 |
| 13 | 300 | 47.69 | 7.564 | 0.0714 | 5.7791 | 45.0499 | 48.3293 | 8.1151 | 11.312 | 34.841 | 53.24 | 9.21 |
| 14 | 500 | 27.72 | 7.520 | 0.0714 | 6.0696 | 32.4113 | 0.2565 | 3.9496 | 7.532 | 34.763 | 36.43 | 6.00 |
| 15 | 700 | 15.82 | 6.672 | 2.2418 | 6.3279 | 251.4497 | 83.5255 | 2.2835 | 4.752 | 34.954 | 258.98 | 40.93 |
| ESTACION 3 | | | | | | | | | | | | |
| 16 | 5 | 191.62 | 8.184 | 0.0714 | 1.0000 | 0.0714 | 0.2500 | 0.5000 | 30.514 | 35.053 | 0.64 | 0.64 |
| 17 | 20 | 189.37 | 7.989 | 0.0714 | 7.4579 | 0.0714 | 2.8318 | 13.1136 | 30.420 | 35.090 | 13.26 | 1.78 |
| 18 | 50 | 143.97 | 7.822 | 2.2204 | 5.4239 | 40.1237 | 13.9916 | 60.5994 | 23.456 | 35.030 | 102.94 | 18.98 |
| 19 | 100 | 106.42 | 7.404 | 0.0714 | 5.6177 | 49.0480 | 30.3020 | 22.2775 | 16.459 | 35.150 | 71.40 | 12.71 |
| 20 | 150 | 88.84 | 7.539 | 2.3203 | 5.7468 | 148.2871 | 43.1786 | 15.6128 | 14.545 | 35.990 | 164.22 | 28.58 |
| 21 | 300 | 35.11 | 7.472 | 0.0714 | 5.9405 | 30.6282 | 50.9046 | 12.2805 | 11.326 | 34.801 | 42.98 | 7.24 |
| 22 | 500 | 13.85 | 7.406 | 0.0714 | 6.2634 | 88.8860 | 72.3657 | 4.7827 | 7.362 | 34.753 | 93.74 | 14.97 |
| 23 | 800 | 11.86 | 7.386 | 0.0714 | 6.2311 | 49.3335 | 98.1190 | 5.6158 | 5.409 | 34.899 | 55.02 | 8.83 |
| 24 | 1000 | 19.79 | 6.933 | 0.7853 | 5.0065 | 60.3997 | 114.4294 | 8.9482 | 3.541 | 35.061 | 70.13 | 13.92 |
| ESTACION 4 | | | | | | | | | | | | |
| 25 | 5 | 132.22 | 7.995 | 2.0562 | 5.4239 | 11.9943 | 119.5800 | 53.9347 | 30.685 | 35.272 | 67.99 | 12.53 |
| 26 | 20 | 109.32 | 7.827 | 2.5416 | 4.3904 | 17.7058 | 23.4345 | 12.2005 | 30.513 | 35.180 | 32.53 | 7.41 |
| 27 | 50 | 82.81 | 7.704 | 0.0714 | 4.9074 | 26.8443 | 26.8682 | 3.9496 | 23.981 | 35.074 | 30.87 | 8.29 |
| 28 | 100 | 31.25 | 7.534 | 0.0714 | 5.1334 | 29.9143 | 37.1695 | 4.7827 | 17.846 | 35.631 | 34.77 | 6.77 |
| 29 | 150 | 11.72 | 7.451 | 0.0714 | 5.3271 | 33.6984 | 59.4891 | 20.6113 | 15.523 | 34.832 | 54.38 | 10.21 |
| 30 | 300 | 3.92 | 7.429 | 0.0714 | 5.3917 | 40.9090 | 74.0826 | 13.1136 | 10.350 | 34.741 | 54.09 | 10.03 |
| 31 | 500 | 11.74 | 7.400 | 2.4774 | 5.3271 | 41.9799 | 104.1261 | 3.9496 | 7.241 | 34.921 | 48.41 | 9.09 |
| 32 | 800 | 11.72 | 7.438 | 0.0714 | 5.5208 | 44.1217 | 97.2605 | 3.1166 | 4.450 | 35.382 | 47.31 | 8.57 |
| ESTACION 5 | | | | | | | | | | | | |
| 33 | 5 | 84.58 | 8.183 | 0.0714 | 4.2617 | 0.8210 | 9.6994 | 0.6173 | 28.850 | 35.014 | 1.51 | 0.35 |
| 34 | 20 | 196.64 | 8.184 | 0.0714 | 4.1002 | 1.1923 | 5.4072 | 8.9482 | 28.192 | 35.030 | 10.21 | 2.49 |
| 35 | 50 | 134.11 | 8.015 | 0.0714 | 4.6168 | 10.8519 | 23.4345 | 19.4453 | 23.785 | 35.099 | 27.37 | 5.93 |
| 36 | 100 | 110.73 | 8.340 | 2.6129 | 4.9719 | 19.6335 | 27.7267 | 7.2820 | 17.225 | 35.059 | 29.73 | 5.98 |
| 37 | 150 | 84.70 | 7.700 | 2.6272 | 5.1011 | 44.3539 | 38.8864 | 24.7708 | 14.485 | 35.042 | 71.94 | 14.10 |
| 38 | 300 | 18.25 | 7.521 | 2.6915 | 5.2625 | 41.9085 | 51.7631 | 6.4489 | 10.811 | 34.906 | 51.25 | 9.74 |
| 39 | 500 | 22.10 | 7.481 | 2.7058 | 5.3271 | 36.2664 | 120.8814 | 4.7827 | 7.758 | 34.864 | 43.78 | 8.21 |
| 40 | 800 | 7.81 | 7.421 | 0.0714 | 5.4239 | 39.9809 | 98.1190 | 3.9496 | 5.499 | 34.963 | 44.00 | 8.11 |
| ESTACION 6 | | | | | | | | | | | | |
| 41 | 5 | 264.30 | 8.305 | 5.4117 | 4.1971 | 0.9638 | 9.6994 | 5.6158 | 30.125 | 34.893 | 11.99 | 2.86 |
| 42 | 20 | 178.64 | 8.296 | 2.5631 | 4.2617 | 8.4959 | 7.1240 | 2.2835 | 29.687 | 35.241 | 13.34 | 3.13 |
| 43 | 50 | 131.53 | 8.092 | 2.3417 | 4.8751 | 15.1356 | 18.5669 | 0.6173 | 25.261 | 35.117 | 18.09 | 3.71 |
| 44 | 100 | 117.27 | 7.957 | 2.3417 | 4.9074 | 24.2027 | 20.8591 | 8.1151 | 16.970 | 35.173 | 34.66 | 7.06 |
| 45 | 150 | 67.24 | 7.718 | 2.4917 | 5.7145 | 51.1184 | 37.1695 | 2.2835 | 14.351 | 35.101 | 55.89 | 9.78 |
| 46 | 300 | 27.46 | 7.542 | 2.4560 | 5.3594 | 32.9128 | 46.6124 | 0.5000 | 10.563 | 34.808 | 35.87 | 6.69 |
| 47 | 500 | 19.55 | 7.453 | 2.3060 | 5.5531 | 39.2669 | 73.2241 | 2.2835 | 7.437 | 34.784 | 43.86 | 7.90 |
| 48 | 800 | 11.74 | 7.396 | 2.2775 | 5.6822 | 40.1237 | 97.2605 | 3.1166 | 5.493 | 34.865 | 45.52 | 8.01 |
| 49 | 1000 | 27.36 | 7.394 | 0.0714 | 6.1019 | 39.4097 | 113.571 | 0.5000 | 4.490 | 35.162 | 39.58 | 6.55 |
| 50 | 1200 | 31.70 | 7.416 | 2.3774 | 5.6499 | 60.5425 | 130.7393 | 7.2820 | 3.851 | 35.173 | 70.20 | 12.43 |
| 51 | 1500 | 32.97 | 7.400 | 2.6273 | 5.6822 | 54.3311 | 133.1315 | 0.5000 | 3.002 | 35.390 | 57.46 | 10.11 |
| ESTACION 7 | | | | | | | | | | | | |
| 52 | 5 | 191.11 | 8.248 | 0.0714 | 4.1648 | 4.2194 | 10.5578 | 1.4504 | 30.085 | 34.963 | 5.74 | 1.38 |
| 53 | 20 | 186.23 | 8.254 | 0.0714 | 4.1648 | 12.7796 | 1.9734 | 0.6173 | 29.787 | 35.042 | 13.47 | 3.23 |
| 54 | 50 | 174.47 | 8.064 | 0.0714 | 4.8105 | 23.7029 | 7.1240 | 1.4504 | 25.151 | 35.017 | 25.22 | 5.24 |
| 55 | 100 | 109.42 | 7.814 | 0.0714 | 5.5208 | 19.7762 | 24.2929 | 0.5000 | 16.914 | 35.072 | 20.35 | 3.69 |
| 56 | 150 | 74.18 | 7.682 | 0.0714 | 5.8436 | 23.7029 | 38.0280 | 0.5000 | 14.451 | 35.011 | 24.27 | 4.15 |
| 57 | 300 | 22.20 | 7.528 | 0.0714 | 5.7145 | 33.8409 | 50.9048 | 2.2835 | 10.653 | 34.880 | 36.20 | 6.33 |
| 58 | 500 | 19.53 | 7.375 | 0.0714 | 6.1665 | 48.6196 | 77.5164 | 0.6173 | 7.371 | 34.847 | 49.31 | 8.00 |
| 59 | 800 | 11.72 | 7.304 | 2.3369 | 6.0696 | 40.8376 | 97.2605 | 0.5000 | 5.393 | 34.958 | 43.74 | 7.21 |
| 60 | 1500 | 30.01 | 7.298 | 2.4631 | 6.1019 | 29.9143 | 124.7307 | 1.4504 | 3.824 | 35.162 | 33.83 | 5.54 |
| 61 | 37.27 | 7.312 | 0.0714 | 5.8436 | 44.7643 | 152.2009 | 3.9496 | 3.024 | 35.319 | 48.79 | 8.35 | |

TABLA 1. CONCENTRACION DE LOS PARAMETROS FISICO-QUIMICO POR ESTACION: CHIMENEAS-I. SEPTIEMBRE 1990.

| Muestra No | Prof. m. | O2 µM | pH 25°C | N-NO2 µM | P-PO4 µM | N-NO3 µM | Si-SiO2 µM | NH3 µM | Temp. °C | Salinidad ‰ | N. I. T. µM | N.F(1:15) µM |
|---------------|-------------|----------|------------|-------------|-------------|-------------|---------------|-----------|-------------|----------------|----------------|-----------------|
| ESTACION 8 | | | | | | | | | | | | |
| 61 | 5 | 183.11 | 8.352 | 2.8415 | 9.5887 | 30.8424 | 14.8500 | 6.4489 | 30.654 | 35.128 | 40.13 | 4.19 |
| 62 | 20 | 179.10 | 8.342 | 2.6559 | 4.3585 | 64.9686 | 2.8318 | 14.7797 | 30.690 | 35.133 | 82.40 | 18.91 |
| 63 | 50 | 202.43 | 8.130 | 2.7967 | 4.8105 | 25.2736 | 4.5487 | 10.6143 | 23.268 | 35.117 | 38.69 | 8.04 |
| 64 | 100 | 102.82 | 7.797 | 0.0714 | 5.5208 | 24.4883 | 26.8882 | 1.5404 | 16.924 | 35.079 | 26.01 | 4.71 |
| 65 | 150 | 85.30 | 7.654 | 0.0714 | 5.4562 | 26.0590 | 55.1968 | 2.2935 | 14.419 | 35.026 | 28.41 | 5.21 |
| 66 | 300 | 47.48 | 7.465 | 0.0714 | 5.7145 | 33.8408 | 52.6215 | 17.279 | 10.744 | 34.898 | 51.19 | 8.96 |
| 67 | 500 | 15.18 | 7.438 | 0.0714 | 5.6499 | 22.9176 | 70.6486 | 13.1136 | 7.557 | 34.855 | 36.10 | 6.39 |
| 68 | 800 | 10.58 | 7.325 | 2.4488 | 5.7468 | 109.2334 | 96.4021 | 8.1151 | 5.286 | 34.958 | 119.80 | 20.85 |
| 69 | 1000 | 15.84 | 7.455 | 2.2061 | 5.9405 | 68.1103 | 110.1372 | 20.6113 | 4.413 | 35.061 | 90.93 | 15.31 |
| 70 | 1200 | 19.10 | 7.422 | 2.4274 | 5.7791 | 21.3469 | 117.0047 | 5.6158 | 3.787 | 35.165 | 29.39 | 5.09 |
| 71 | 1500 | 31.64 | 7.392 | 0.0714 | 5.7791 | 282.7218 | 152.2009 | 0.6173 | 3.063 | 35.318 | 283.41 | 49.04 |
| ESTACION 9 | | | | | | | | | | | | |
| 72 | 20 | 187.42 | 8.206 | 0.0714 | 5.7791 | 153.4960 | 1.9734 | 3.1168 | 30.885 | 35.180 | 156.69 | 27.11 |
| 73 | 50 | 89.82 | 8.002 | 0.0714 | 3.9711 | 272.7266 | 12.2747 | 0.5000 | 22.892 | 34.993 | 273.30 | 68.82 |
| 74 | 100 | 89.71 | 7.771 | 2.3417 | 5.0688 | 139.2191 | 40.6033 | 26.94221 | 16.486 | 35.074 | 170.50 | 33.64 |
| 75 | 150 | 76.58 | 7.680 | 0.0714 | 4.7137 | 29.9858 | 41.4618 | 5.8158 | 14.505 | 35.000 | 35.87 | 7.57 |
| 76 | 300 | 21.10 | 7.511 | 0.0714 | 5.1011 | 211.3274 | 48.3293 | 3.1166 | 11.530 | 34.920 | 214.52 | 42.05 |
| 77 | 500 | 7.92 | 7.509 | 0.0714 | 5.7145 | 53.4030 | 66.9592 | 5.6158 | 7.416 | 34.848 | 59.09 | 10.34 |
| 78 | 1000 | 5.95 | 7.412 | 0.0714 | 1.0000 | 82.1036 | NA | NA | 4.450 | 35.061 | 82.18 | 82.18 |
| 79 | 1200 | 27.71 | 7.451 | 0.0714 | 5.8436 | 448.3569 | 121.2969 | 4.7827 | 3.777 | 35.166 | 453.21 | 77.56 |
| 80 | 1500 | 35.66 | 7.416 | 2.2346 | 5.0688 | 326.2724 | 147.9067 | 1.4504 | 3.077 | 35.317 | 329.96 | 65.10 |
| ESTACION 10 | | | | | | | | | | | | |
| 81 | 5 | 186.96 | 8.296 | 0.0714 | 4.1648 | 136.3633 | 13.1331 | 1.0338 | 30.412 | 35.048 | 137.47 | 33.01 |
| 82 | 20 | 180.21 | 8.279 | 2.9343 | 3.9388 | 133.5075 | 2.8318 | 0.5000 | 30.402 | 35.084 | 136.94 | 34.77 |
| 83 | 50 | 8.034 | 2.5845 | 4.5645 | 5.7576 | 8.8405 | 8.9482 | 23.565 | 35.017 | 70.29 | 15.33 | |
| 84 | 100 | 108.90 | 7.771 | 0.0714 | 4.8751 | 29.7715 | 28.5051 | 3.1166 | 16.594 | 35.056 | 32.96 | 6.78 |
| 85 | 150 | 71.24 | 7.694 | 0.0714 | 4.9074 | 55.0162 | 38.8864 | 0.5000 | 14.554 | 35.041 | 56.19 | 11.45 |
| 86 | 300 | 36.93 | 7.604 | 2.7415 | 5.0688 | 0.0714 | 46.6124 | 0.5000 | 11.263 | 34.909 | 3.31 | 0.65 |
| 87 | 500 | 21.11 | 7.420 | 0.0714 | 5.1334 | 26.1306 | 75.7995 | 1.8669 | 7.623 | 34.854 | 28.07 | 5.47 |
| 88 | 800 | 9.23 | 7.432 | 2.6773 | 5.2625 | 177.0581 | 98.9774 | 1.4504 | 5.309 | 34.959 | 181.19 | 34.43 |
| 89 | 1000 | 26.45 | NA | NA | NA | NA | NA | NA | 4.419 | 35.059 | 0.00 | ERR |
| 90 | 1200 | 23.74 | 7.420 | 2.2918 | 5.1334 | 117.8632 | 117.8632 | 3.9496 | 3.815 | 35.163 | 124.10 | 24.18 |
| 91 | 1500 | 30.34 | 7.383 | 0.0714 | 5.4239 | 147.9087 | 147.9067 | 2.2835 | 3.088 | 35.315 | 150.26 | 27.70 |
| 92 | 1800 | 35.60 | 7.464 | 3.2627 | 5.3271 | 153.0593 | 153.0593 | 0.6173 | 2.916 | 35.444 | 158.94 | 29.46 |
| ESTACION 11 | | | | | | | | | | | | |
| 93 | 5 | 118.63 | 7.962 | 2.4917 | 4.4231 | 53.3316 | 26.8682 | 5.6158 | 30.216 | 35.049 | 81.44 | 13.89 |
| 94 | 20 | 134.55 | 7.694 | 0.0714 | 4.4231 | 23.7029 | 12.2747 | 1.4504 | 29.385 | 35.068 | 25.22 | 5.70 |
| 95 | 50 | 112.11 | 7.572 | 2.5988 | 4.7782 | 69.6800 | 27.7267 | 3.9496 | 24.272 | 34.992 | 76.23 | 15.95 |
| 96 | 100 | 88.42 | 7.478 | 0.0714 | 4.7782 | 38.106 | 36.3111 | 16.1211 | 17.090 | 35.062 | 58.38 | 11.80 |
| 97 | 150 | 46.20 | 7.287 | 0.0714 | 5.1334 | 40.0523 | 47.4709 | 8.1151 | 14.840 | 35.062 | 48.24 | 9.40 |
| 98 | 300 | 7.92 | 7.181 | 0.0714 | 5.5531 | 56.6872 | 69.7904 | 4.7827 | 11.221 | 34.914 | 61.54 | 11.06 |
| 99 | 500 | 10.54 | 7.205 | 0.0714 | 5.1657 | 773.3432 | 90.3930 | 2.2835 | 7.602 | 34.864 | 777.70 | 150.55 |
| 100 | 800 | 14.50 | 7.148 | 0.0714 | 5.5208 | 525.4528 | 108.4203 | 2.2835 | 5.377 | 34.958 | 527.62 | 95.81 |
| 101 | 1000 | 23.93 | 7.185 | 0.0714 | 3.6482 | 949.5495 | 107.5619 | 8.1151 | 3.932 | 35.145 | 957.73 | 262.32 |
| 102 | 1200 | 30.36 | 7.171 | 0.0714 | 5.2302 | 304.1402 | 126.4476 | 6.4489 | 3.765 | 35.168 | 310.66 | 59.40 |
| 103 | 1500 | 35.61 | 7.140 | 0.0714 | 5.8759 | 66.3244 | 147.0502 | 2.2835 | 3.032 | 35.329 | 70.68 | 12.03 |
| ESTACION 12 | | | | | | | | | | | | |
| 104 | 5 | 196.80 | 8.142 | 2.4203 | 4.2940 | 1.5494 | 15.7085 | 49.7603 | 29.057 | 35.041 | 53.84 | 12.54 |
| 105 | 20 | 192.60 | 8.118 | 0.0714 | 4.3585 | 9.1385 | 7.1240 | 9.7812 | 27.498 | 35.107 | 18.99 | 4.36 |
| 106 | 50 | 132.48 | 7.975 | 0.0714 | 4.5845 | 6.6753 | 21.7176 | 3.1166 | 23.784 | 35.061 | 10.06 | 2.20 |
| 107 | 100 | 118.79 | 7.825 | 2.2969 | 5.1979 | 47.5201 | 32.0189 | 8.1151 | 18.157 | 35.052 | 58.03 | 11.16 |
| 108 | 150 | 101.75 | 7.713 | 0.0714 | 1.0000 | 35.1268 | 46.8124 | 3.9496 | 15.440 | 35.062 | 39.15 | 39.15 |
| 109 | 300 | 27.71 | 7.533 | 0.0714 | 5.4239 | 9.2099 | 48.3293 | 0.5000 | 11.666 | 34.948 | 9.78 | 1.80 |
| 110 | 500 | 25.10 | 7.481 | 2.7273 | 5.5208 | 5.1547 | 68.9319 | 8.1151 | 7.750 | 34.864 | 16.00 | 2.90 |
| 111 | 800 | 11.87 | 7.413 | 0.0714 | 5.1919 | 5.6544 | 92.9683 | 4.7827 | 5.348 | 34.966 | 10.51 | 2.02 |
| 112 | 1000 | 19.89 | 7.442 | 0.0714 | 5.1334 | 27.3441 | 102.4112 | 12.2605 | 4.584 | 35.063 | 39.70 | 7.73 |
| 113 | 1200 | 27.83 | 7.442 | 0.0714 | 5.1657 | 70.3949 | 120.4385 | 4.7827 | 3.865 | 35.166 | 75.25 | 14.57 |
| ESTACION 13 | | | | | | | | | | | | |
| 114 | 5 | 197.72 | 8.234 | 3.1556 | 3.9065 | 13.2704 | 11.4163 | 6.4489 | 28.661 | 35.086 | 22.68 | 5.86 |
| 115 | 20 | 163.58 | 8.135 | 2.9498 | 4.1648 | 35.6258 | 9.6994 | 3.1166 | 25.663 | 35.098 | 41.24 | 9.90 |
| 116 | 50 | 139.81 | 8.005 | 2.1347 | 4.2617 | 42.1941 | 27.7267 | 5.6158 | 23.468 | 35.064 | 49.94 | 11.72 |
| 117 | 75 | 118.77 | 7.996 | 2.9914 | 4.1002 | 34.3407 | 42.3202 | 7.2820 | 21.840 | 35.072 | 44.61 | 10.88 |

TABLA I. CONCENTRACION DE LOS PARAMETROS FISICO-QUIMICO POR ESTACION. CHIMENEAS-I. SEPTIEMBRE 1990.

| Muestra No. | Prof. m | O2 µM | pH 25°C | N-NO2 µM | P-PO4 µM | NH3 µM | Si/SiO2 µM | NH3 µM | Temp °C | Salinidad ‰ | N. I. T. µM | N F(1:15) µM |
|----------------|------------|----------|------------|-------------|-------------|-----------|---------------|-----------|------------|----------------|----------------|-----------------|
| ESTACION 14 | | | | | | | | | | | | |
| 118 | 5 | 184.05 | NA | NA | NA | NA | NA | NA | 28.162 | 35.098 | 0.00 | ERR |
| | 20 | 170.32 | 8.036 | 2.7201 | 7.7485 | 40.0234 | 15.7085 | 18.1121 | 25.433 | 35.075 | 81.45 | 7.93 |
| 119 | 50 | 130.38 | 7.950 | 0.0714 | 4.1971 | 24.5597 | 25.1513 | 11.4474 | 23.504 | 35.089 | 36.08 | 8.60 |
| 120 | 100 | 98.87 | 7.692 | 0.0714 | 4.4877 | 11.7801 | 38.0280 | 13.1136 | 20.007 | 35.080 | 24.97 | 5.56 |
| 121 | 150 | 91.71 | 7.637 | 0.0714 | 4.6814 | 2.7915 | 43.1786 | 10.9143 | 15.828 | 35.050 | 13.48 | 2.88 |
| 122 | 300 | 22.45 | 7.465 | 0.0714 | 4.5199 | 46.2536 | 51.7631 | 12.2805 | 11.702 | 34.981 | 58.82 | 12.97 |
| 123 | 500 | 12.53 | 7.417 | 0.0714 | 5.0365 | 4.3693 | 73.2241 | 46.4370 | 7.714 | 34.883 | 50.88 | 10.10 |
| 124 | 800 | 14.52 | 7.356 | 0.0714 | 5.0042 | 4.6692 | 96.4021 | 18.9452 | 4.934 | 34.968 | 23.69 | 4.73 |
| 125 | 1000 | 17.15 | 7.348 | 0.0714 | 5.1334 | 3.5126 | 112.7125 | 28.9422 | 4.524 | 35.064 | 32.53 | 8.34 |
| 126 | 1200 | 21.86 | 7.318 | 0.7853 | 5.0042 | 5.5830 | 147.0502 | 6.4489 | 3.948 | 35.155 | 12.82 | 2.56 |
| ESTACION 15 | | | | | | | | | | | | |
| 127 | 5 | 197.33 | 8.252 | 2.4017 | 3.5837 | 1.3279 | 11.4163 | 105.586 | 30.563 | 35.052 | 109.41 | 30.53 |
| 128 | 20 | 210.12 | 8.173 | 0.0714 | 3.9065 | 1.1423 | 2.8318 | 13.1136 | 30.005 | 35.108 | 14.33 | 3.67 |
| 129 | 50 | 143.84 | 7.978 | 0.0714 | 4.3262 | 2.0062 | 26.0098 | 19.7786 | 23.728 | 35.036 | 21.86 | 5.05 |
| 130 | 100 | 106.99 | 7.710 | 0.0714 | 4.6491 | 1.3636 | 29.4436 | 42.2715 | 17.056 | 35.052 | 43.71 | 9.40 |
| 131 | 150 | 91.43 | 7.645 | 0.0714 | 4.7782 | 2.5059 | 47.4709 | 13.9467 | 14.931 | 35.056 | 16.52 | 3.46 |
| 132 | 300 | 31.00 | 7.468 | 0.0714 | 5.2625 | 2.2218 | 50.9048 | 23.1108 | 11.142 | 34.912 | 25.47 | 4.84 |
| 133 | 500 | 22.41 | 7.480 | 0.0714 | 5.0365 | 4.7263 | 64.6307 | 33.9407 | 7.910 | 34.870 | 38.74 | 7.59 |
| 134 | 800 | 12.53 | 7.379 | 0.0714 | 5.1334 | 6.9467 | 101.5526 | 13.1136 | 5.361 | 34.954 | 20.13 | 3.92 |
| 135 | 1000 | 19.12 | 7.345 | 0.0714 | 5.3594 | 2.7201 | 110.1372 | 38.9386 | 4.523 | 35.057 | 41.73 | 7.79 |
| 136 | 1200 | 34.31 | 7.396 | 0.0714 | 5.0365 | 6.9467 | 124.7302 | 45.6039 | 3.859 | 35.166 | 52.62 | 10.45 |
| 137 | 1500 | 36.25 | 7.418 | 0.0714 | 5.1334 | 15.0642 | 133.3151 | 82.2596 | 3.147 | 35.315 | 97.40 | 19.97 |
| 138 | 1700 | 34.39 | 7.406 | 0.0714 | 5.1979 | 42.5511 | 153.0593 | 56.4340 | 2.931 | 35.405 | 99.06 | 19.06 |
| ESTACION 16 | | | | | | | | | | | | |
| 139 | 5 | 177.95 | 8.233 | 2.5773 | 3.5514 | 1.0261 | 4.5487 | 13.9467 | 30.580 | 35.044 | 17.55 | 4.94 |
| 140 | 20 | 191.28 | 8.227 | 2.5202 | 3.7451 | 4.1552 | 1.1149 | 17.2790 | 30.391 | 35.106 | 23.95 | 6.40 |
| 141 | 50 | 146.40 | 7.966 | 2.6633 | 4.0660 | 3.0771 | 18.5669 | 10.6143 | 21.392 | 34.830 | 16.35 | 4.02 |
| 142 | 100 | 96.33 | 7.735 | 2.5631 | 4.6491 | 2.5056 | 33.7358 | 66.4310 | 16.239 | 34.977 | 71.50 | 15.38 |
| 143 | 150 | 68.64 | 7.654 | 2.8843 | 4.9074 | 3.9552 | 45.6124 | 9.7612 | 14.462 | 35.031 | 16.62 | 3.39 |
| 144 | 300 | 26.41 | 7.571 | 2.9343 | 4.8105 | 56.9727 | 55.1968 | 15.6126 | 11.219 | 34.926 | 75.52 | 15.70 |
| 145 | 500 | 6.58 | 7.443 | 3.1271 | 4.9074 | 37.3393 | 73.2241 | 11.4474 | 8.106 | 34.876 | 51.91 | 10.58 |
| 146 | 800 | 6.59 | 7.468 | 3.2627 | 5.0688 | 2.5416 | 69.5346 | 9.7812 | 5.390 | 34.958 | 15.59 | 3.07 |
| 147 | 1000 | 15.95 | 7.448 | 2.6130 | 5.1334 | 12.8510 | 103.2696 | 19.7783 | 4.506 | 35.057 | 35.24 | 6.87 |
| 148 | 1200 | 34.30 | 7.442 | 0.0714 | 5.9405 | 611.1361 | 121.2959 | 61.4325 | 3.615 | 35.162 | 672.64 | 113.23 |
| 149 | 1500 | 47.52 | 7.425 | 2.3203 | 5.1979 | 13.6363 | 143.8164 | 6.4489 | 3.090 | 35.317 | 22.41 | 4.31 |
| 150 | 1700 | 53.95 | 7.479 | 2.2775 | 5.1657 | 24.6311 | 148.7071 | 67.2641 | 2.932 | 33.404 | 94.17 | 18.23 |
| ESTACION 17 | | | | | | | | | | | | |
| 151 | 5 | 193.86 | 8.350 | 2.3869 | 4.0034 | 6.6611 | 13.1331 | 65.5979 | 30.325 | 35.060 | 74.66 | 18.65 |
| 152 | 20 | 189.85 | 8.355 | 2.4203 | 4.2294 | 5.0190 | 5.4072 | 18.1121 | 29.590 | 35.042 | 25.55 | 6.04 |
| 153 | 50 | 166.59 | 8.033 | 2.4060 | 4.5845 | 12.6940 | 19.1422 | 33.1076 | 21.141 | 35.015 | 46.01 | 10.47 |
| 154 | 100 | 253.78 | 7.777 | 2.5845 | 4.9719 | 0.0714 | 32.8773 | 89.7574 | 16.029 | 35.056 | 92.41 | 18.59 |
| 155 | 150 | 87.33 | 7.686 | 2.5773 | 5.0688 | 575.4386 | 87.2150 | 16.4459 | 14.384 | 35.037 | 594.46 | 117.28 |
| 156 | 300 | 59.70 | 7.495 | 2.6630 | 5.1011 | 24.7739 | 50.9048 | 28.9422 | 10.968 | 34.913 | 58.38 | 11.05 |
| 157 | 500 | 125.26 | 7.461 | 4.8428 | 11.8268 | 11.7067 | 70.6486 | 19.7783 | 7.377 | 34.870 | 31.56 | 6.52 |
| 158 | 800 | 11.87 | 7.383 | 3.0842 | 5.8759 | 55.0451 | 96.4021 | 30.0084 | 5.307 | 34.968 | 88.74 | 15.10 |
| 159 | 1000 | 27.84 | 7.448 | 0.0714 | 6.9414 | 30.9138 | 108.4203 | 18.5268 | 4.523 | 35.064 | 49.51 | 7.13 |
| 160 | 1200 | 27.71 | 7.439 | 3.0343 | 5.6265 | 15.9923 | 120.4385 | 3.844 | 35.171 | 19.03 | 3.62 | |
| 161 | 1500 | 4.61 | 7.465 | 2.5274 | 5.3917 | 18.6339 | 136.7489 | 8.1151 | 3.065 | 35.326 | 29.28 | 5.43 |
| 162 | 1800 | 63.48 | 7.405 | 2.6130 | 5.2248 | 25.1300 | 153.9178 | 20.6113 | 2.900 | 35.454 | 48.36 | 9.13 |
| ESTACION 18 | | | | | | | | | | | | |
| 163 | 5 | 188.49 | 8.322 | 2.8129 | 3.9386 | 18.1342 | 16.5669 | 12.2805 | 30.376 | 35.037 | 33.23 | 8.44 |
| 164 | 20 | 186.00 | 8.362 | 3.2058 | 4.1002 | 45.8332 | 7.1240 | 28.9422 | 30.018 | 35.107 | 77.98 | 19.02 |
| 165 | 50 | 183.33 | 8.093 | 2.2775 | 4.4877 | 12.1370 | 13.9916 | 11.4474 | 21.784 | 35.043 | 25.66 | 5.76 |
| 166 | 100 | 96.33 | 7.802 | 2.3703 | 5.0042 | 20.6472 | 32.0189 | 5.6158 | 15.668 | 35.068 | 28.83 | 5.76 |
| 167 | 150 | 81.84 | 7.856 | 2.1276 | 5.1011 | 19.7049 | 52.6215 | 15.6128 | 13.923 | 35.015 | 37.45 | 7.34 |
| 168 | 300 | 26.41 | 7.525 | 0.0714 | 5.0042 | 12.499 | 60.3475 | 46.4370 | 10.407 | 34.880 | 59.00 | 11.79 |
| 169 | 500 | 23.70 | 7.465 | 2.4845 | 4.8105 | 17.2061 | 72.3657 | 17.2790 | 7.521 | 34.861 | 36.97 | 7.69 |
| 170 | 800 | 17.14 | 7.280 | 2.0633 | 4.9074 | 42.2655 | 9.2154 | 11.4474 | 5.235 | 34.971 | 55.78 | 11.37 |
| 171 | 1000 | 41.20 | 7.440 | 0.0714 | 5.2625 | 6.4683 | 110.1372 | 12.2805 | 4.357 | 34.071 | 18.82 | 3.58 |
| 172 | 1200 | 31.66 | 7.462 | 0.0714 | 5.1011 | 7.1180 | 116.1463 | 13.1136 | 3.718 | 35.176 | 29.30 | 3.98 |
| 173 | 1500 | 42.24 | 7.441 | 0.0714 | 5.1011 | 8.7815 | 117.0047 | 6.4489 | 3.082 | 35.325 | 15.30 | 3.00 |
| 174 | 1800 | 34.29 | 7.307 | 2.3846 | 5.0042 | 12.9938 | 151.3424 | 5.6158 | 2.909 | 35.454 | 20.99 | 4.20 |

TABLA 1. CONCENTRACION DE LOS PARAMETROS FISICO-QUIMICO POR ESTACION CHIMENEAS-I. SEPTIEMBRE 1990

| Muestra No. | Prof. m | O2 µM | pH 25°C | N-NO2 µM | P-PO4 µM | N-NO3 µM | Si-SiO2 µM | NH3 µM | Temp °C | Salinidad ‰ | N. I.T. µM | N.F(1:15) |
|----------------|------------|----------|------------|-------------|-------------|-------------|---------------|-----------|------------|----------------|---------------|-----------|
| ESTACION 19 | | | | | | | | | | | | |
| 175 | 5 | 207.37 | 8.248 | 2.2561 | 3.5837 | 20.2046 | 16.5669 | 10.6143 | 30.653 | 35.156 | 33.08 | 9.23 |
| 176 | 20 | 204.02 | 8.265 | 2.7201 | 3.8420 | 1.8348 | 4.5487 | 13.9467 | 30.678 | 35.159 | 18.50 | 4.82 |
| 177 | 50 | 204.59 | 8.125 | 2.1490 | 4.1325 | 3.0057 | 8.8409 | 6.4489 | 23.748 | 35.093 | 11.60 | 2.81 |
| 178 | 100 | 145.34 | 7.902 | 0.0714 | 4.8168 | 4.1195 | 26.0098 | 5.6158 | 18.986 | 35.103 | 9.81 | 2.12 |
| 179 | 150 | 68.62 | 7.688 | 0.0714 | 5.0365 | 4.5050 | 36.0280 | 20.6113 | 14.069 | 35.022 | 25.19 | 5.00 |
| 180 | 200 | 25.10 | 7.518 | 6.7682 | 5.0688 | 4.4407 | 49.1877 | 16.4459 | 9.698 | 34.850 | 27.65 | 5.48 |
| 181 | 500 | 21.11 | 7.488 | 0.0714 | 5.1657 | 5.2903 | 70.6488 | 33.1078 | 7.380 | 34.854 | 38.47 | 7.45 |
| 182 | 800 | 36.23 | 7.425 | 0.0714 | 5.1979 | 4.5784 | 98.6359 | 53.1016 | 5.222 | 34.960 | 57.75 | 11.11 |
| 183 | 1000 | 26.38 | 7.475 | 0.0714 | 5.1657 | 5.1618 | 110.1372 | 10.6143 | 4.439 | 35.062 | 15.85 | 3.07 |
| 184 | 1200 | 8.57 | 7.480 | 0.0714 | 5.2302 | 5.2903 | 120.4385 | 15.6128 | 3.764 | 35.166 | 20.97 | 4.01 |
| 185 | 1500 | 27.84 | 7.474 | 0.0714 | 5.1334 | 5.1618 | 126.1845 | 11.4474 | 3.063 | 35.318 | 16.68 | 3.25 |
| 186 | 1700 | 19.63 | 7.444 | 0.0714 | 5.1979 | 5.4184 | 146.1918 | 8.1151 | 2.921 | 35.405 | 13.61 | 2.62 |
| ESTACION 20 | | | | | | | | | | | | |
| 187 | 5 | 183.33 | 8.365 | 0.0714 | 10.4605 | 1.4422 | 9.6994 | 11.864 | 30.650 | 35.182 | 13.38 | 1.28 |
| 188 | 20 | 188.69 | 8.262 | 2.1204 | 3.4868 | 0.9210 | 3.6903 | 23.1106 | 30.670 | 35.180 | 26.15 | 7.50 |
| 189 | 50 | 203.67 | 7.823 | 2.9700 | 3.7451 | 25.3450 | 2.8318 | 13.5301 | 23.754 | 35.101 | 41.85 | 11.17 |
| 190 | 100 | 110.10 | 7.748 | 0.0714 | 4.9074 | 3.2999 | 25.5581 | 20.6113 | 16.672 | 35.104 | 23.95 | 4.88 |
| 191 | 150 | 66.60 | 7.673 | 0.0714 | 4.9397 | 3.6625 | 48.6124 | 8.1151 | 14.268 | 35.025 | 11.85 | 2.40 |
| 192 | 300 | 12.53 | 7.503 | 0.0714 | 5.0365 | 8.0678 | 59.4891 | 7.2620 | 10.202 | 34.867 | 15.42 | 3.06 |
| 193 | 500 | 15.20 | 7.332 | 0.0714 | 5.1011 | 4.6335 | 70.6488 | 3.9496 | 7.342 | 34.856 | 8.65 | 1.70 |
| 194 | 800 | 10.57 | 7.325 | 0.0714 | 5.1557 | 8.7967 | 102.4112 | 115.583 | 5.375 | 34.956 | 122.45 | 23.70 |
| 195 | 1000 | 31.10 | 7.453 | 0.0714 | 5.1334 | 4.9619 | 126.1645 | 20.6113 | 4.392 | 35.068 | 25.64 | 5.00 |
| 196 | 1500 | 46.82 | 7.482 | 2.0919 | 5.1011 | 4.8977 | 128.1645 | 3.9496 | 3.070 | 35.323 | 10.94 | 2.14 |
| 197 | 1600 | 35.59 | 7.413 | 2.2623 | 5.1334 | 4.9619 | 153.9178 | 18.9452 | 2.911 | 35.373 | 26.17 | 5.10 |
| ESTACION 21 | | | | | | | | | | | | |
| 198 | 5 | 187.32 | 8.372 | 2.3275 | 3.7451 | 5.8115 | 15.7885 | 66.4250 | 30.102 | 35.049 | 94.56 | 25.25 |
| 199 | 20 | 189.27 | 8.323 | 2.3346 | 3.8420 | 1.3799 | 6.2656 | 83.9358 | 30.079 | 35.050 | 87.65 | 22.81 |
| 200 | 50 | 175.51 | 8.190 | 3.4912 | 4.2294 | 1.3065 | 7.1240 | 15.6128 | 24.170 | 35.070 | 20.41 | 4.83 |
| 201 | 100 | 100.32 | 7.887 | 0.0714 | 4.6814 | 1.5136 | 26.0068 | 78.9273 | 16.636 | 35.104 | 80.51 | 17.20 |
| 202 | 150 | 22.39 | 7.659 | 0.0714 | 4.9074 | 1.5136 | 38.6864 | 21.4444 | 14.298 | 35.037 | 23.03 | 4.69 |
| 203 | 300 | 17.14 | 7.573 | 0.0714 | 5.0568 | 2.9843 | 53.4800 | 13.9467 | 10.148 | 34.880 | 17.00 | 3.35 |
| 204 | 500 | 14.62 | 7.452 | 0.0714 | 5.1557 | 4.4483 | 73.2241 | 6.4489 | 7.612 | 34.875 | 9.97 | 1.93 |
| 205 | 800 | 11.23 | 7.429 | 0.0714 | 5.1334 | 3.9905 | 98.9774 | 46.4370 | 5.132 | 34.973 | 50.50 | 9.84 |
| 206 | 1000 | 15.83 | 7.487 | 0.0714 | 5.1334 | 2.9199 | 103.2699 | 63.0987 | 4.557 | 35.062 | 66.09 | 12.87 |
| 207 | 1200 | NA | 7.446 | 0.0714 | 5.1979 | 3.5669 | 138.4658 | 18.1121 | 3.866 | 35.169 | 21.75 | 4.18 |
| 208 | 1500 | 35.61 | 7.420 | 2.4345 | 5.0668 | 3.1414 | 141.8926 | 18.9452 | 3.102 | 35.326 | 24.52 | 4.84 |
| ESTACION 22 | | | | | | | | | | | | |
| 209 | 5 | 190.77 | 8.318 | 0.0714 | 4.0357 | 0.1199 | 13.1331 | 27.2760 | 30.521 | 35.117 | 27.47 | 6.81 |
| 210 | 20 | 184.97 | 8.051 | 0.0714 | 4.2940 | 0.5059 | 10.5578 | 61.4265 | 30.555 | 35.115 | 82.00 | 19.10 |
| 211 | 50 | 101.75 | 7.822 | 0.0714 | 4.6491 | 1.8991 | 32.6773 | 22.2775 | 23.104 | 34.834 | 24.25 | 5.22 |
| 212 | 100 | 69.94 | 7.742 | 0.0714 | 5.1011 | 1.5921 | 44.8955 | 13.1138 | 16.054 | 35.049 | 14.78 | 2.90 |
| 213 | 150 | 11.23 | 7.614 | 0.0714 | 4.9397 | 2.5988 | 51.7631 | 3.9496 | 14.149 | 35.022 | 6.62 | 1.34 |
| 214 | 300 | 24.40 | 7.311 | 0.0714 | 5.1334 | 5.0781 | 73.2241 | 99.7544 | 10.671 | 34.885 | 104.90 | 20.44 |
| 215 | 500 | 19.23 | 7.501 | 0.0714 | 5.1265 | 3.2199 | 98.4021 | 30.6084 | 7.322 | 34.847 | 33.90 | 6.44 |
| 216 | 800 | 30.48 | 7.475 | 0.0714 | 5.1979 | 2.9843 | 118.1463 | 10.6143 | 2.338 | 34.960 | 13.67 | 2.03 |
| 217 | 1000 | 34.95 | 7.536 | 0.0714 | 5.2948 | 2.6730 | 123.0133 | 3.9496 | 4.496 | 35.050 | 8.69 | 1.26 |
| 218 | 1200 | 32.96 | 7.531 | 0.0714 | 5.2625 | 2.5984 | 128.1645 | 63.0987 | 3.821 | 35.165 | 65.77 | 12.50 |
| 219 | 1500 | 42.87 | 7.541 | 0.0714 | 5.0042 | 2.9126 | 126.7489 | 11.4474 | 3.057 | 35.319 | 14.43 | 2.88 |
| 220 | 1800 | 44.44 | 7.473 | 0.0714 | 5.1334 | 15.0593 | 97.2551 | 2.922 | 35.445 | 100.70 | 19.62 | |
| ESTACION 23 | | | | | | | | | | | | |
| 221 | 5 | 153.94 | 8.259 | 0.0714 | 4.0557 | 0.4990 | 16.5669 | 11.4474 | 30.467 | 35.046 | 12.02 | 2.98 |
| 222 | 20 | 148.31 | 8.010 | 0.0714 | 5.4562 | 0.5847 | 21.2176 | 14.7777 | 30.118 | 35.108 | 15.44 | 2.83 |
| 223 | 50 | 117.41 | 7.871 | 0.0714 | 6.2311 | 1.4350 | 31.1604 | 10.6143 | 21.674 | 35.039 | 12.12 | 1.95 |
| 224 | 100 | 94.26 | 7.724 | 0.0714 | 6.0696 | 1.8277 | 41.4618 | 3.9496 | 15.560 | 35.060 | 5.85 | 0.96 |
| 225 | 150 | 42.87 | 7.630 | 0.0714 | 5.7791 | 1.9776 | 49.1877 | 23.9437 | 13.933 | 35.021 | 25.99 | 4.50 |
| 226 | 300 | 21.77 | 7.505 | 0.0714 | 5.4239 | 3.4483 | 72.3657 | 18.1121 | 10.502 | 34.871 | 21.63 | 3.99 |
| 227 | 500 | 10.55 | 7.422 | 0.0714 | 6.6185 | 3.6054 | 97.2605 | 19.7763 | 7.631 | 34.880 | 23.46 | 3.54 |
| 228 | 800 | 27.77 | 7.402 | 0.0714 | 5.3917 | 2.9700 | 117.0047 | 59.7683 | 5.352 | 34.981 | 62.81 | 11.65 |
| 229 | 1000 | 11.87 | 7.485 | 0.0714 | 6.4571 | 3.0628 | 122.1554 | 2.2805 | 4.457 | 35.072 | 5.42 | 0.84 |
| 230 | 1200 | 22.42 | 7.450 | 2.5845 | 5.3917 | 3.3770 | 141.8996 | 72.2626 | 3.829 | 35.275 | 78.22 | 14.51 |
| 231 | 1500 | 30.41 | 7.447 | 0.0714 | 3.7774 | 3.0628 | 143.6264 | 5.6158 | 3.978 | 35.432 | 8.75 | 2.32 |
| 232 | 1800 | 42.30 | 7.447 | 0.0714 | 4.6814 | 4.1980 | 156.4931 | 7.2820 | 2.809 | 35.469 | 11.55 | 2.47 |
| ESTACION 24 | | | | | | | | | | | | |
| 233 | 5 | 135.90 | 7.904 | 0.0714 | 6.3279 | 0.1970 | 13.1331 | 4.7027 | 30.443 | 35.095 | 5.05 | 0.80 |
| 234 | 20 | 95.06 | 7.697 | 0.0714 | 5.0042 | 1.3565 | 36.0280 | 8.9482 | 30.320 | 35.086 | 10.38 | 2.07 |
| 235 | 50 | 57.23 | 7.513 | 0.0714 | 5.0688 | 1.5921 | 51.7631 | 9.3647 | 22.164 | 35.017 | 11.03 | 2.18 |
| 236 | 100 | 31.90 | 7.495 | 2.6559 | 5.0688 | 1.6706 | 50.0482 | 44.7708 | 15.803 | 35.043 | 49.10 | 9.69 |
| 237 | 150 | 9.91 | 7.417 | 0.7853 | 5.1334 | 2.5988 | 78.3748 | 4.7827 | 13.776 | 35.000 | 8.17 | 1.59 |
| 238 | 300 | 11.87 | 7.415 | 0.0714 | 5.2948 | 3.1414 | 100.6943 | 8.9482 | 11.236 | 34.920 | 12.16 | 2.30 |
| 239 | 500 | 23.76 | 7.381 | 0.0714 | 5.2302 | 3.0628 | 115.2678 | 28.1091 | 7.969 | 34.867 | 31.24 | 5.97 |
| 240 | 800 | 23.74 | 7.416 | 0.0714 | 5.2625 | 2.9843 | 119.5800 | 8.9482 | 5.227 | 34.966 | 12.00 | 2.28 |
| 241 | 1000 | 30.47 | 7.453 | 0.0714 | 5.1079 | 3.0628 | 131.5982 | 23.1106 | 4.250 | 35.069 | 26.24 | 5.14 |
| 242 | 1200 | 38.28 | 7.445 | 0.0714 | 5.2625 | 3.2984 | 135.0320 | 3.9496 | 3.965 | 35.160 | 7.27 | 1.38 |
| 243 | 1500 | 35.68 | 7.391 | 0.0481 | 0.0696 | 2.7558 | 156.4931 | 8.9482 | 3.192 | 35.315 | 15.75 | 2.60 |
| 244 | 1800 | 35.63 | 7.399 | 0.0714 | 3.9065 | 3.3770 | 140.7671 | 0.6173 | 2.911 | 35.448 | 4.07 | 1.04 |

45

TABLA 1. CONCENTRACION DE LOS PARAMETROS FISICO-QUIMICO POR ESTACION CHIMENEAS L SEPTIEMBRE 1990.

| Muestra | Prof. | O2 | pH | N-NO2 | P-PO4 | N-NO3 | Si-SiO2 | NH3 | Temp | Salinidad | N-I-T | N-F(1:15) |
|-------------|-------|--------|-------|--------|--------|---------|----------|---------|--------|-----------|--------|-----------|
| No | m. | µM | 25°C | µM | µM | µM | µM | µM | °C | µM | | |
| ESTACION 25 | | | | | | | | | | | | |
| 245 | 5 | 187.18 | 8.243 | 0.0714 | 4.7458 | 0.9210 | 14.8500 | 10.8143 | 30.797 | 35.000 | 11.61 | 2.45 |
| 246 | 20 | 189.96 | 8.172 | 2.5559 | 4.5522 | 1.6349 | 6.2656 | 8.1151 | 30.576 | 35.120 | 12.31 | 2.70 |
| 247 | 50 | 134.54 | 7.925 | 0.0714 | 6.0374 | 1.2780 | 17.4254 | 9.7812 | 21.829 | 34.999 | 11.13 | 1.64 |
| 248 | 100 | 104.35 | 7.745 | 0.0714 | 4.7137 | 0.5247 | 47.4709 | 4.7827 | 16.596 | 35.065 | 5.44 | 1.15 |
| 249 | 150 | 85.71 | 7.663 | 0.0714 | 4.7459 | 1.5136 | 39.7449 | 11.4474 | 14.415 | 35.059 | 13.03 | 2.75 |
| 250 | 200 | 28.51 | 7.500 | 0.0714 | 5.4239 | 2.4417 | 52.6215 | 10.6143 | 11.134 | 34.912 | 13.13 | 2.42 |
| 251 | 500 | 23.81 | 7.435 | 0.0714 | 6.2634 | 20.4902 | 65.9492 | 27.276 | 8.107 | 34.874 | 47.84 | 7.64 |
| 252 | 800 | 11.87 | 7.368 | 0.0714 | 5.1334 | 25.8448 | 98.9774 | 10.6143 | 5.218 | 34.969 | 36.53 | 7.12 |
| 253 | 1000 | 27.68 | 7.422 | 0.0714 | 5.0365 | 24.4883 | 105.8450 | 3.9496 | 4.460 | 35.066 | 28.51 | 5.66 |
| 254 | 1200 | 32.32 | 7.428 | 0.0714 | 5.2625 | 23.7743 | 112.7125 | 3.9496 | 3.854 | 35.169 | 27.80 | 5.28 |
| 255 | 1500 | 46.82 | 7.384 | 0.0714 | 5.1979 | 25.0594 | 147.0502 | 0.5000 | 3.182 | 35.219 | 25.63 | 4.93 |
| 256 | 1800 | 39.59 | 7.379 | 0.0714 | 3.2253 | 24.7025 | 152.2009 | 3.1166 | 2.911 | 35.452 | 27.89 | 8.65 |
| ESTACION 26 | | | | | | | | | | | | |
| 257 | 5 | 187.39 | 8.216 | 0.0714 | 3.5191 | 5.0976 | 15.5669 | 8.1151 | 30.436 | 35.101 | 13.28 | 3.77 |
| 258 | 20 | 187.45 | 8.131 | 3.5197 | 4.1002 | 1.5564 | 4.5487 | 19.7783 | 30.248 | 34.998 | 24.85 | 6.06 |
| 259 | 50 | 129.07 | 7.933 | 0.0714 | 4.4877 | 6.9305 | 17.0508 | 2.2833 | 22.843 | 34.891 | 9.29 | 2.07 |
| 260 | 100 | 102.83 | 7.766 | 0.0714 | 4.9074 | 13.4221 | 23.4143 | 29.7753 | 17.229 | 35.101 | 43.27 | 5.82 |
| 261 | 150 | 99.06 | 7.663 | 0.0714 | 5.1011 | 15.2070 | 46.6124 | 15.6128 | 14.553 | 35.231 | 30.89 | 6.06 |
| 262 | 300 | 24.39 | 7.489 | 0.0714 | 5.0042 | 17.6344 | 62.0644 | 1.4504 | 11.591 | 34.950 | 19.16 | 3.83 |
| 263 | 500 | 23.14 | 7.432 | 0.0714 | 5.6499 | 20.9186 | 62.6670 | 3.9496 | 7.843 | 34.848 | 24.94 | 4.41 |
| 264 | 800 | 16.45 | 7.361 | 0.0714 | 5.2625 | 24.2741 | 64.8852 | 1.4504 | 5.531 | 34.926 | 25.90 | 4.90 |
| 265 | 1000 | 25.06 | 7.340 | 0.0714 | 5.2625 | 25.2022 | 110.9256 | 7.7280 | 4.561 | 35.153 | 32.56 | 6.19 |
| 266 | 1200 | 24.48 | 7.396 | 0.0714 | 5.1334 | 23.2748 | 112.9814 | 3.1166 | 3.911 | 35.201 | 26.46 | 5.15 |
| 267 | 1500 | 47.58 | 7.390 | 0.0714 | 5.2622 | 23.5002 | 129.8814 | 3.1166 | 3.231 | 35.345 | 26.75 | 5.06 |
| 268 | 1600 | 44.33 | 7.354 | 0.0714 | 5.1616 | 23.9885 | 152.2009 | 3.9166 | 2.998 | 35.369 | 28.01 | 7.75 |
| ESTACION 27 | | | | | | | | | | | | |
| 269 | 5 | 190.47 | 8.204 | 0.0174 | 4.8751 | 0.0714 | 13.1331 | 1.4504 | 30.443 | 35.095 | 1.54 | 0.32 |
| 270 | 20 | 193.26 | 8.142 | 0.0714 | 4.7459 | 2.1278 | 8.8409 | 7.2820 | 30.320 | 35.069 | 9.48 | 2.00 |
| 271 | 50 | 118.70 | 7.930 | 0.0714 | 4.1646 | 8.6367 | 30.3020 | 2.2833 | 22.164 | 35.017 | 10.99 | 2.64 |
| 272 | 100 | 91.71 | 7.731 | 0.0714 | 4.4877 | 12.8510 | 43.1786 | 13.1136 | 15.803 | 35.043 | 26.04 | 5.80 |
| 273 | 150 | 71.90 | 7.646 | 0.0714 | 4.6814 | 14.4931 | 48.3293 | 1.4504 | 13.776 | 34.920 | 16.01 | 3.42 |
| 274 | 300 | 20.46 | 7.487 | 0.0714 | 5.0042 | 19.5621 | 55.1968 | 30.6084 | 11.236 | 34.867 | 50.24 | 10.04 |
| 275 | 500 | 5.28 | 7.356 | 0.0714 | 4.9719 | 20.8330 | 69.7904 | NA | 7.960 | 34.968 | 20.70 | 4.16 |
| 276 | 800 | 7.29 | 7.324 | 0.0714 | 4.9719 | 24.3455 | 105.8450 | 4.7827 | 5.227 | 35.069 | 29.20 | 5.87 |
| 277 | 1000 | 27.72 | 7.366 | 0.0714 | 5.1979 | 23.4174 | 118.1403 | 94.7559 | 4.250 | 35.160 | 112.24 | 22.75 |
| 278 | 1200 | 31.72 | 7.374 | 0.0714 | 4.8751 | 23.6315 | 122.2554 | 3.9496 | 3.955 | 35.315 | 27.65 | 5.67 |
| 279 | 1400 | 37.64 | 7.337 | 0.0714 | 3.2253 | 25.9306 | 146.1918 | 6.4489 | 3.192 | 35.360 | 32.15 | 9.97 |
| ESTACION 28 | | | | | | | | | | | | |
| 280 | 5 | 186.37 | 8.222 | 0.0714 | 3.5837 | 0.5704 | 7.9895 | 28.1091 | 30.417 | 35.084 | 28.75 | 8.02 |
| 281 | 20 | 205.27 | 8.178 | 0.0714 | 4.1325 | 0.4990 | 1.1149 | 19.7783 | 27.202 | 35.041 | 20.35 | 4.92 |
| 282 | 50 | 133.35 | 7.941 | 0.0714 | 4.5845 | 6.5540 | 17.4254 | 19.7783 | 23.040 | 35.066 | 26.50 | 5.78 |
| 283 | 100 | 99.61 | 7.728 | 0.0714 | 4.7782 | 12.3512 | 39.7449 | 50.6024 | 17.853 | 35.058 | 63.03 | 13.19 |
| 284 | 150 | 74.48 | 7.623 | 0.0714 | 5.1079 | 13.0593 | 50.9046 | 84.7646 | 15.172 | 35.053 | 78.83 | 15.17 |
| 285 | 300 | NA | 7.482 | 0.0714 | 4.6254 | 17.2774 | 50.0462 | 43.9377 | 11.275 | 34.952 | 51.29 | 9.78 |
| 286 | 500 | 13.19 | 7.341 | 0.0714 | 4.9719 | 20.9900 | 74.0829 | 10.8143 | 7.798 | 34.867 | 31.62 | 6.36 |
| 287 | 800 | 48.41 | NA | 0.0714 | 3.8454 | 24.4883 | 129.0229 | 6.4489 | 5.460 | 34.970 | 33.78 | 9.77 |
| 288 | 1000 | 19.21 | 7.284 | 0.0714 | 3.1607 | 0.7097 | 106.6943 | 28.1091 | 4.601 | 35.062 | 28.89 | 9.14 |
| ESTACION 29 | | | | | | | | | | | | |
| 289 | 5 | 180.50 | 8.154 | 0.0714 | 3.9065 | 1.5564 | 2.8318 | 42.2715 | 30.398 | 35.041 | 43.90 | 11.24 |
| 290 | 20 | 196.00 | 8.202 | 0.0714 | 4.6491 | 6.3755 | 31.1504 | 26.9422 | 30.150 | 34.996 | 35.39 | 7.61 |
| 291 | 50 | 137.17 | 7.937 | 0.0714 | 4.3904 | 5.7758 | 31.1604 | 98.9213 | 22.844 | 34.996 | 104.77 | 23.86 |
| 292 | 100 | 102.92 | 7.470 | 0.0714 | 4.6491 | 12.5654 | 42.3202 | 60.5954 | 17.129 | 35.050 | 73.24 | 15.75 |
| 293 | 150 | 83.05 | 7.633 | 0.0714 | 4.7459 | 14.6359 | 48.3293 | 43.9377 | 14.425 | 35.031 | 60.97 | 12.85 |
| 294 | 300 | 17.19 | 7.742 | 0.0714 | 5.7791 | 16.8491 | 68.0735 | 7.2820 | 11.692 | 34.940 | 24.20 | 4.19 |
| 295 | 500 | 15.83 | 7.439 | 0.0714 | 4.9719 | 19.8478 | 60.3930 | 78.0942 | 7.930 | 34.864 | 98.01 | 19.71 |
| 296 | 800 | 16.15 | 7.402 | 0.0714 | 4.9074 | 23.7029 | 109.2787 | 55.5890 | 5.351 | 34.962 | 119.36 | 24.32 |
| 297 | 1000 | 13.22 | 7.424 | 0.0714 | 4.8751 | 23.7028 | 102.4112 | 98.9213 | 4.641 | 35.053 | 122.70 | 25.17 |
| 298 | 1200 | 23.79 | 7.461 | 0.0714 | 5.2626 | 21.3469 | 141.0411 | 11.4474 | 3.907 | 35.165 | 32.67 | 6.25 |
| 299 | 1500 | 42.34 | 7.433 | 0.0714 | 3.8742 | 23.3460 | 153.0593 | 38.1061 | 3.130 | 35.318 | 61.52 | 15.66 |
| 300 | 1700 | 46.43 | 7.415 | 0.0714 | 2.0000 | 22.8462 | 153.0593 | 4.7827 | 2.968 | 35.384 | 30.11 | 30.11 |
| ESTACION 30 | | | | | | | | | | | | |
| 301 | 5 | 170.04 | 8.231 | 2.4560 | 3.4222 | 1.4291 | 7.1240 | 17.2790 | 30.824 | 35.069 | 21.23 | 6.20 |
| 302 | 20 | 105.53 | 8.112 | 0.0714 | 4.1648 | 4.5021 | 29.5851 | 1.4504 | 29.825 | 35.050 | 6.08 | 1.48 |
| 303 | 50 | 145.08 | 7.960 | 0.0714 | 4.6814 | 11.9229 | 31.1604 | NA | 21.610 | 35.030 | 11.99 | 2.56 |
| 304 | 100 | 92.38 | 7.738 | 2.4702 | 3.7128 | 3.8482 | 10.0007 | 13.9467 | 17.019 | 35.047 | 20.27 | 5.46 |
| 305 | 150 | 91.08 | 8.060 | 0.0714 | 4.5522 | 15.7782 | 45.7540 | 95.5890 | 14.871 | 35.051 | 111.44 | 24.48 |
| 306 | 300 | 19.81 | 7.523 | 0.0714 | 4.7137 | 5.7758 | 78.3748 | 5.6158 | 11.581 | 34.952 | 11.46 | 2.43 |
| 307 | 500 | 22.41 | 7.430 | 0.0714 | 4.7137 | 18.4912 | 67.2150 | 32.2745 | 7.911 | 34.865 | 50.84 | 10.78 |
| 308 | 800 | 7.98 | 7.363 | 0.0714 | 5.7468 | 23.4174 | 101.5528 | 5.7280 | 5.352 | 34.960 | 30.77 | 5.35 |
| 309 | 1000 | 23.77 | 7.416 | 7.7020 | 5.0365 | 22.9178 | 95.5437 | 15.6128 | 4.641 | 35.057 | 46.31 | 9.20 |
| 310 | 1200 | 19.79 | 7.306 | 0.0714 | 5.0668 | 22.5606 | 124.7307 | 8.1151 | 3.903 | 35.165 | 30.75 | 6.07 |
| 311 | 1500 | 31.68 | 7.407 | 0.0714 | 5.2302 | 22.1323 | 124.7307 | 6.4489 | 3.099 | 35.320 | 28.65 | 5.48 |
| 312 | 1700 | 39.57 | 7.369 | 0.0714 | 5.3271 | 20.7044 | 145.3333 | 8.9482 | 2.937 | 35.408 | 29.72 | 5.58 |

TABLA 1. CONCENTRACION DE LOS PARAMETROS FISICO-QUIMICO POR ESTACION CHIMENEAS-I SEPTIEMBRE 1990.

| Muestro. | Prof. | 02 μM | pH 25°C | N-N02 μM | P-HO4 μM | N-HO3 μM | Si-SiO2 μM | N-H3 μM | Temp. °C | Salinidad μM | N. I. T. μM | N.F.(15) |
|-------------|-------|----------|------------|-------------|-------------|-------------|---------------|------------|-------------|-----------------|----------------|----------|
| ESTACION 31 | | | | | | | | | | | | |
| 313 | 5 | 186.80 | 8.260 | 0.0714 | 3.6160 | 0.3563 | 15.7085 | 72.2625 | 30.477 | 35.082 | 72.69 | 20.10 |
| 314 | 20 | 186.11 | 8.161 | 0.0714 | 3.8097 | 1.0349 | 4.5487 | 25.6099 | 30.418 | 35.117 | 27.32 | 7.17 |
| 315 | 50 | 170.11 | 7.953 | 0.0714 | 3.8160 | 3.4912 | 8.8409 | 18.9452 | 22.135 | 35.043 | 22.51 | 6.22 |
| 316 | 100 | 106.73 | 7.718 | 0.0714 | 4.1648 | 11.5659 | 33.7358 | 9.9496 | 16.763 | 35.051 | 15.59 | 3.74 |
| 317 | 150 | 91.43 | 7.634 | 0.0714 | 4.8105 | 15.7782 | 41.4618 | 8.1151 | 14.347 | 35.029 | 23.96 | 4.96 |
| 318 | 300 | 26.39 | 7.485 | 0.0714 | 4.3026 | 13.2080 | 36.3111 | 8.9462 | 11.444 | 31.934 | 22.23 | 5.14 |
| 319 | 500 | 10.55 | 7.425 | 0.0714 | 4.6491 | 15.7782 | 44.0371 | 4.7827 | 7.915 | 34.863 | 20.63 | 4.44 |
| 320 | 800 | 18.49 | 7.450 | 0.0714 | 4.6491 | 19.9190 | 74.0628 | 4.7827 | 5.414 | 34.960 | 24.77 | 5.33 |
| 321 | 1000 | 19.12 | 7.380 | 0.0714 | 5.2625 | 23.1318 | 92.9563 | 10.6143 | 4.526 | 35.059 | 33.76 | 6.42 |
| 322 | 1200 | 27.05 | 7.356 | 0.0714 | 4.8105 | 25.8448 | 98.9774 | 7.2820 | 3.843 | 35.165 | 35.43 | 7.36 |
| 323 | 1500 | 45.48 | 7.358 | 0.0714 | 4.9074 | 21.3469 | 129.0229 | 3.9496 | 3.090 | 35.317 | 25.37 | 5.17 |
| 324 | 1800 | 62.16 | 7.326 | 0.0714 | 4.8751 | 21.8467 | 127.3060 | 20.6113 | 2.914 | 35.446 | 42.53 | 8.72 |
| ESTACION 32 | | | | | | | | | | | | |
| 325 | 5 | 185.86 | 8.252 | 0.0714 | 3.7774 | 0.3563 | 3.6903 | 28.1091 | 30.210 | 35.058 | 28.54 | 7.55 |
| 326 | 20 | 181.28 | 8.156 | 2.5488 | 3.9358 | 0.8496 | 2.8316 | 4.7827 | 30.086 | 35.055 | 8.18 | 2.08 |
| 327 | 50 | 143.76 | 7.952 | 0.0714 | 4.2294 | 8.1970 | 12.2747 | 18.6452 | 22.155 | 35.042 | 25.21 | 5.96 |
| 328 | 100 | 97.65 | 7.735 | 0.0714 | 4.5522 | 12.3512 | 32.0189 | 16.4459 | 16.603 | 35.054 | 28.87 | 6.34 |
| 329 | 150 | 73.92 | 7.654 | 0.0714 | 4.8105 | 15.2785 | 41.4618 | 14.7797 | 14.313 | 35.036 | 30.13 | 6.26 |
| 330 | 300 | 15.82 | 7.489 | 4.8335 | 15.4926 | 60.3475 | 23.1105 | 10.914 | 34.699 | 43.24 | 8.81 | |
| 331 | 500 | 19.94 | 7.413 | 0.0714 | 4.5814 | 16.1342 | 74.9410 | 14.504 | 7.947 | 34.872 | 19.68 | 4.20 |
| 332 | 800 | 15.85 | 7.371 | 0.0714 | 4.7782 | 22.7748 | 96.4021 | 14.504 | 5.401 | 34.692 | 24.30 | 5.08 |
| 333 | 1000 | 21.11 | 7.403 | 0.0714 | 4.7459 | 23.3460 | 100.6943 | 9.7812 | 4.555 | 35.061 | 33.20 | 7.00 |
| 334 | 1200 | 31.68 | 7.369 | 0.0714 | 4.8105 | 21.7039 | 129.8814 | 2.2835 | 3.851 | 35.171 | 24.06 | 5.00 |
| 335 | 1500 | 23.74 | 7.368 | 0.0714 | 5.1657 | 22.4892 | 133.1515 | 9.7612 | 3.069 | 35.327 | 32.34 | 6.26 |
| 336 | 1900 | 49.68 | 7.376 | 0.0714 | 5.1334 | 22.0609 | 149.6255 | 3.9496 | 2.898 | 35.493 | 28.08 | 5.08 |
| ESTACION 33 | | | | | | | | | | | | |
| 337 | 5 | 188.64 | 8.286 | 0.0714 | 4.3565 | 0.0714 | 13.9918 | 2.2835 | 30.393 | 35.037 | 2.43 | 0.56 |
| 338 | 20 | 189.92 | 8.278 | 0.0714 | 4.3222 | 5.0704 | 13.9918 | 5.6158 | 30.392 | 35.042 | 8.26 | 1.83 |
| 339 | 50 | 189.35 | 8.056 | 1.6492 | 3.9711 | 2.7772 | 3.6903 | 10.6143 | 26.520 | 35.080 | 15.04 | 3.79 |
| 340 | 100 | 104.14 | 7.741 | 0.0714 | 4.5522 | 14.2075 | 46.6124 | 3.1166 | 16.395 | 35.039 | 17.40 | 3.82 |
| 341 | 150 | 74.06 | 7.619 | 0.0714 | 4.6614 | 14.2075 | 39.7449 | 30.7723 | 14.512 | 35.014 | 54.05 | 11.55 |
| 342 | 300 | 27.69 | 7.518 | 0.0714 | 4.8751 | 17.0633 | 47.4709 | 32.2745 | 11.028 | 34.902 | 49.41 | 10.14 |
| 343 | 500 | 14.51 | 7.376 | 0.0714 | 4.9719 | 19.4907 | 80.0917 | 96.4221 | 7.871 | 34.874 | 115.98 | 23.33 |
| 344 | 800 | 11.24 | 7.374 | 0.0714 | 4.6491 | 22.8452 | 86.5992 | 13.9487 | 5.161 | 34.963 | 36.86 | 7.93 |
| 345 | 1000 | 23.13 | 7.368 | 0.0714 | 4.6491 | 19.7762 | 104.9865 | 11.4474 | 4.672 | 35.059 | 31.30 | 6.73 |
| 346 | 1200 | 27.79 | 7.315 | 0.0714 | 4.7137 | 21.3469 | 121.2966 | 9.7812 | 3.840 | 35.168 | 31.20 | 6.62 |
| ESTACION 34 | | | | | | | | | | | | |
| 347 | 5 | 189.15 | 8.215 | 0.0714 | 3.1866 | 1.3779 | 12.2747 | 35.6069 | 30.181 | 35.022 | 37.06 | 11.83 |
| 348 | 20 | 151.70 | 8.000 | 0.0714 | 3.5191 | 3.7910 | 11.1183 | 4.7827 | 30.210 | 35.039 | 8.65 | 2.46 |
| 349 | 50 | 11.45 | 7.563 | 0.0714 | 3.9368 | 10.5664 | 28.5451 | 2.2835 | 35.030 | 35.113 | 12.92 | 3.29 |
| 350 | 100 | 80.50 | 7.630 | 0.0714 | 4.4877 | 13.0363 | 42.3202 | 4.7827 | 17.334 | 35.061 | 18.49 | 4.12 |
| 351 | 150 | 19.80 | 7.428 | 0.0714 | 4.4554 | 16.1351 | 49.1977 | 5.6150 | 14.770 | 35.030 | 21.82 | 4.90 |
| 352 | 300 | 12.54 | 7.396 | 0.0714 | 5.5208 | 18.2056 | 65.3566 | 4.7827 | 10.603 | 34.875 | 23.06 | 4.18 |
| 353 | 500 | 11.21 | 7.225 | 0.0714 | 4.7459 | 21.2753 | 98.9774 | 43.1046 | 7.827 | 34.866 | 64.45 | 13.58 |
| 354 | 800 | 33.82 | 7.456 | 0.0714 | 4.6168 | 21.4897 | 84.3839 | 25.0993 | 5.416 | 34.963 | 47.17 | 10.22 |
| 355 | 1000 | 33.68 | 7.409 | 0.0714 | 5.0365 | 22.9860 | 103.2787 | 4.7827 | 4.505 | 35.064 | 27.84 | 5.53 |
| 356 | 1200 | 40.24 | 7.386 | 0.0714 | 4.5845 | 21.3469 | 121.2966 | 5.6158 | 3.870 | 35.163 | 27.03 | 5.90 |
| 357 | 1800 | 42.24 | 7.353 | 0.0714 | 4.4554 | 21.9893 | 133.0320 | 6.4489 | 3.335 | 35.189 | 28.51 | 6.40 |
| ESTACION 35 | | | | | | | | | | | | |
| 358 | 5 | 189.44 | 8.202 | 0.0714 | 3.1381 | 1.0592 | 8.8409 | 5.8158 | 30.291 | 35.080 | 7.39 | 2.35 |
| 359 | 20 | 168.29 | 8.031 | 0.0714 | 3.4222 | 1.7420 | 6.2656 | 4.7827 | 30.105 | 35.040 | 6.60 | 1.93 |
| 360 | 50 | 85.50 | 7.605 | 0.0714 | 3.8742 | 10.0668 | 25.1513 | 6.4489 | 27.068 | 35.034 | 16.59 | 4.28 |
| 361 | 100 | 8.57 | 7.682 | 0.0714 | 4.1648 | 20.631 | 46.8124 | 8.1151 | 17.850 | 35.041 | 28.82 | 8.02 |
| 362 | 150 | 12.60 | 7.511 | 0.0714 | 4.3595 | 15.3498 | 48.3293 | 3.1166 | 15.051 | 35.057 | 18.54 | 4.25 |
| 363 | 300 | 23.19 | 7.420 | 0.0714 | 5.5531 | 17.7712 | 83.5255 | 3.9498 | 11.073 | 34.914 | 21.80 | 3.93 |
| 364 | 500 | 3.96 | 7.409 | 3.1128 | 4.7459 | 21.2041 | 87.8177 | 6.4489 | 8.175 | 34.869 | 30.77 | 6.48 |
| ESTACION 36 | | | | | | | | | | | | |
| 365 | 5 | 190.64 | 8.226 | 0.0714 | 3.2253 | 0.0714 | 11.4183 | 11.4474 | 30.384 | 35.027 | 11.59 | 3.59 |
| 366 | 20 | 189.16 | 8.268 | 0.0714 | 3.2285 | 0.7211 | 4.5487 | 13.9467 | 30.117 | 35.030 | 14.74 | 4.57 |
| 367 | 50 | 173.47 | 8.097 | 0.0714 | 3.7451 | 2.6202 | 7.1240 | 4.7827 | 26.645 | 35.001 | 7.47 | 2.00 |
| 368 | 100 | 106.15 | 7.612 | 0.0714 | 4.1325 | 10.4236 | 29.4436 | 4.7827 | 17.858 | 35.048 | 15.28 | 3.70 |
| 369 | 150 | 85.77 | 7.735 | 0.0714 | 4.3908 | 12.8510 | 49.1877 | 2.2835 | 15.002 | 35.024 | 15.21 | 3.48 |
| 370 | 300 | 30.32 | 7.056 | 0.0714 | 5.7791 | 14.4931 | 53.4800 | 4.7827 | 11.210 | 34.926 | 19.35 | 3.35 |
| 371 | 500 | 35.05 | 7.510 | 0.0714 | 4.6491 | 17.2774 | 66.3566 | 21.4444 | 8.204 | 34.873 | 38.79 | 8.34 |
| 372 | 600 | 7.25 | 7.458 | 0.0714 | 4.8751 | 21.7753 | 92.9563 | 8.9482 | 6.854 | 34.885 | 30.79 | 6.32 |
| ESTACION 37 | | | | | | | | | | | | |
| 373 | 20 | 184.68 | 8.212 | 0.0714 | 3.8097 | 0.3555 | 8.2656 | 2.2835 | 30.194 | 35.030 | 2.71 | 0.71 |
| 374 | 50 | 167.50 | 8.081 | 0.0714 | 4.9074 | 0.7211 | 5.4072 | 8.9482 | 28.368 | 35.042 | 9.74 | 1.98 |
| 375 | 100 | 102.93 | 7.777 | 0.0714 | 5.0365 | 2.6987 | 31.1604 | 20.6113 | 16.900 | 34.989 | 23.38 | 4.64 |
| 376 | 150 | 93.72 | 7.708 | 0.0714 | 5.7791 | 9.9238 | 38.8664 | 6.4489 | 15.075 | 35.027 | 16.44 | 2.85 |
| 377 | 500 | 15.82 | 7.048 | 0.0714 | 4.7782 | 11.2800 | 60.7904 | 3.1166 | 8.217 | 34.869 | 14.47 | 3.03 |
| 378 | 700 | 9.30 | 7.442 | 0.0714 | 4.5522 | 16.8491 | 67.2150 | 1.4504 | 6.157 | 34.921 | 18.37 | 4.04 |

TABLA 1. CONCENTRACION DE LOS PARAMETROS FISICO-QUIMICO POR ESTACION. CHIMENEAS I SEPTIEMBRE 1990

| Muestra No. | Prof. m. | D2 μM 25°C | pH | II-II02 μM | P-PO4 μM | N-N03 μM | S-SI02 μM | NH3 μM | Temp °C | Salinidad | N-I-T μM | N-F(1-15) μM |
|----------------|-------------|------------------|-------|---------------|-------------|-------------|--------------|-----------|------------|-----------|-------------|-----------------|
| ESTACION 38 | | | | | | | | | | | | |
| 379 | 5 | 183.22 | 8.249 | 3.0057 | 3.5191 | 0.5016 | 7.1240 | 2.2835 | 30.486 | 35.024 | 5.79 | 1.65 |
| 380 | 20 | 184.85 | 8.189 | 0.0714 | 4.1648 | 1.5271 | 8.8409 | 4.7827 | 30.156 | 35.017 | 8.38 | 1.53 |
| 381 | 50 | 142.27 | 7.956 | 0.0714 | 4.7456 | 5.6973 | 13.9916 | 2.2635 | 24.847 | 35.083 | 8.05 | 1.70 |
| 382 | 100 | 111.47 | 7.796 | 0.0714 | 4.8751 | 9.8524 | 28.5851 | 4.7835 | 17.348 | 35.050 | 14.71 | 3.02 |
| 383 | 150 | 93.57 | 7.706 | 0.0714 | 4.8428 | 12.8552 | 37.1695 | 1.4504 | 14.792 | 35.054 | 15.37 | 3.17 |
| 384 | 200 | 39.57 | 7.527 | 0.0714 | 4.7782 | 14.0647 | 50.9046 | 1.4504 | 11.375 | 34.941 | 15.59 | 3.26 |
| 385 | 500 | 19.87 | 7.434 | 0.0714 | 4.6168 | 15.8496 | 63.7613 | 3.1166 | 7.927 | 34.862 | 19.04 | 4.12 |
| 386 | 800 | 17.18 | 7.377 | 0.0714 | 3.9728 | 21.8467 | 104.9863 | 2.2835 | 5.486 | 34.859 | 24.20 | 4.05 |
| 387 | 900 | 18.50 | 7.385 | 0.0714 | 3.4545 | 21.0232 | 117.8632 | 3.1166 | 5.016 | 33.908 | 24.82 | 7.18 |
| ESTACION 39 | | | | | | | | | | | | |
| 388 | 5 | 187.56 | 8.273 | 2.7844 | 2.8165 | 1.0853 | 9.6994 | 1.4504 | 30.734 | 35.011 | 5.32 | 1.89 |
| 389 | 20 | 183.30 | 8.256 | 2.6345 | 3.6160 | 4.3051 | 1.9734 | 8.1151 | 30.460 | 35.022 | 15.05 | 4.16 |
| 390 | 50 | 151.18 | 8.028 | 0.0714 | 3.9388 | 11.4945 | 13.9916 | 3.9496 | 23.480 | 34.587 | 15.52 | 3.94 |
| 391 | 100 | 100.32 | 7.795 | 0.0714 | 4.5199 | 12.2794 | 29.4436 | 4.7827 | 16.924 | 35.045 | 18.13 | 4.01 |
| 392 | 150 | 81.89 | 7.679 | 0.0714 | 4.5845 | 13.8505 | 38.8864 | 2.2635 | 14.475 | 35.044 | 16.21 | 3.53 |
| 393 | 300 | 25.05 | 7.513 | 0.0714 | 4.5645 | 13.8505 | 44.8953 | 6.4489 | 11.214 | 34.919 | 20.37 | 4.44 |
| 394 | 500 | 24.40 | 7.452 | 0.0714 | 4.6168 | 16.4207 | 68.9319 | 7.2820 | 7.866 | 34.849 | 23.77 | 5.13 |
| 395 | 800 | 16.49 | 7.381 | 0.0714 | 4.9710 | 21.3489 | 103.2696 | 0.6173 | 5.642 | 34.961 | 22.04 | 4.43 |
| 396 | 1000 | 27.71 | 7.439 | 0.0714 | 5.4502 | 22.6320 | 106.7034 | 1.4504 | 4.632 | 35.062 | 24.15 | 4.43 |
| 397 | 1100 | 32.96 | 7.412 | 0.0714 | 3.5537 | 30.8424 | 119.5600 | 2.2835 | 4.209 | 35.118 | 33.20 | 9.26 |
| ESTACION 40 | | | | | | | | | | | | |
| 398 | 5 | 147.63 | 8.207 | 0.0714 | 3.1833 | 0.5337 | 10.5578 | 5.8158 | 30.855 | 35.017 | 6.23 | 1.96 |
| 399 | 20 | 186.03 | 8.187 | 0.0714 | 6.7476 | 7.1223 | 5.4072 | 7.2820 | 20.050 | 35.025 | 14.49 | 2.15 |
| 400 | 50 | 150.56 | 7.954 | 0.0714 | 4.3585 | 10.0668 | 13.9916 | 2.2835 | 24.280 | 35.016 | 12.42 | 2.83 |
| 401 | 100 | 113.49 | 7.806 | 0.0714 | 4.3585 | 9.2813 | 54.3384 | 3.9496 | 17.911 | 35.074 | 13.30 | 3.05 |
| 402 | 150 | 93.72 | 7.565 | 0.0714 | 4.5845 | 9.0238 | 34.5042 | 4.7827 | 14.768 | 35.620 | 14.78 | 3.22 |
| 403 | 300 | 31.69 | 7.435 | 0.0714 | 4.9074 | 14.9214 | 47.4709 | 3.9496 | 11.538 | 34.943 | 18.94 | 3.86 |
| 404 | 500 | 7.25 | 7.346 | 0.0714 | 4.7107 | 16.2065 | 63.7604 | 8.1151 | 7.870 | 34.884 | 24.39 | 5.17 |
| 405 | 800 | 15.17 | 7.383 | 0.0714 | 4.8105 | 19.5621 | 86.9592 | 5.5168 | 5.583 | 34.854 | 25.25 | 5.25 |
| 406 | 1000 | 17.85 | 7.393 | 2.7915 | 4.9074 | 20.5618 | 104.9863 | 3.9496 | 4.620 | 35.065 | 27.30 | 5.56 |
| 407 | 1100 | 24.40 | 7.312 | 0.0714 | 3.1317 | 29.4902 | 129.8814 | 0.6173 | 4.197 | 35.109 | 21.18 | 6.78 |
| ESTACION 41 | | | | | | | | | | | | |
| 408 | 5 | 188.88 | 8.267 | 3.2270 | 3.1543 | 0.4605 | 9.6994 | 0.5000 | 31.464 | 35.032 | 4.21 | 1.33 |
| 409 | 20 | 191.94 | 8.164 | 3.0057 | 3.4222 | 1.2208 | 5.4072 | 0.5000 | 30.360 | 35.073 | 4.73 | 1.38 |
| 410 | 50 | 157.07 | 8.008 | 0.0714 | 4.0034 | 4.6978 | 7.1240 | 38.9392 | 23.904 | 34.980 | 43.71 | 10.92 |
| 411 | 100 | 110.13 | 7.792 | 2.5345 | 4.4877 | 0.0714 | 26.0098 | 0.5000 | 17.613 | 35.072 | 3.11 | 0.69 |
| 412 | 150 | 88.10 | 7.667 | 0.0714 | 4.3262 | 12.2798 | 40.6033 | 0.5000 | 14.686 | 35.045 | 12.65 | 2.97 |
| 413 | 300 | 26.40 | 7.652 | 0.0714 | 4.9074 | 14.2075 | 51.7631 | 0.5000 | 11.541 | 34.952 | 14.78 | 3.01 |
| 414 | 500 | 7.48 | 7.467 | 0.0714 | 4.6814 | 16.2065 | 68.0735 | 0.5000 | 7.763 | 34.863 | 16.78 | 3.58 |
| 415 | 800 | 13.21 | 7.413 | 0.0714 | 4.9074 | 21.2041 | 91.2514 | 0.5000 | 5.835 | 34.939 | 21.78 | 4.44 |
| 416 | 1000 | 23.08 | 7.329 | 0.0714 | 4.7459 | 18.9195 | 101.5528 | 0.5000 | 4.520 | 35.069 | 19.49 | 4.11 |
| 417 | 1200 | 45.08 | 7.437 | 0.0714 | 4.6014 | 18.4912 | 119.7215 | 1.4504 | 3.792 | 35.107 | 20.01 | 4.28 |
| 418 | 1500 | 38.43 | 7.435 | 0.0714 | 5.0365 | 17.4918 | 140.1827 | 2.2835 | 3.642 | 35.253 | 19.85 | 3.94 |
| 419 | 1600 | 9.24 | 7.386 | 0.0714 | 3.4868 | 19.9193 | 154.7782 | 0.5000 | 3.351 | 35.401 | 20.49 | 5.88 |
| ESTACION 42 | | | | | | | | | | | | |
| 420 | 5 | 172.68 | 8.167 | 0.0714 | 3.5150 | 0.0714 | 2.8318 | 0.5000 | 30.857 | 34.236 | 0.64 | 0.18 |
| 421 | 20 | 135.21 | 7.952 | 0.0714 | 4.2294 | 4.7763 | 12.2747 | 4.7827 | 30.616 | 34.795 | 9.63 | 2.28 |
| 422 | 50 | 112.11 | 7.801 | 0.0714 | 4.2617 | 5.6616 | 21.7176 | 0.6173 | 23.965 | 34.823 | 6.35 | 1.49 |
| 423 | 100 | 89.08 | 7.631 | 0.0714 | 4.1648 | 9.2099 | 38.8864 | 0.5000 | 18.516 | 35.037 | 9.78 | 2.35 |
| 424 | 150 | 31.02 | 7.447 | 0.0714 | 5.1334 | 11.8515 | 44.0371 | 4.7827 | 15.450 | 35.045 | 16.71 | 3.25 |
| 425 | 300 | 10.56 | 7.327 | 0.0714 | 4.7782 | 13.7791 | 62.9228 | 0.5000 | 11.575 | 34.937 | 14.35 | 3.00 |
| 426 | 500 | 8.57 | 7.354 | 0.0714 | 4.7782 | 16.9205 | 81.8086 | 3.1164 | 8.104 | 34.859 | 20.11 | 4.21 |
| 427 | 800 | 28.58 | 7.340 | 0.0714 | 3.5068 | 20.9186 | 110.1372 | 0.5000 | 5.677 | 34.950 | 21.49 | 4.24 |
| 428 | 1000 | 22.45 | 7.403 | 0.0714 | 4.8751 | 19.7782 | 118.7216 | 0.5000 | 4.665 | 35.059 | 20.35 | 4.17 |
| 429 | 1200 | 35.62 | 7.417 | 0.0714 | 5.1011 | 21.5611 | 137.6073 | 3.0466 | 3.691 | 35.164 | 25.58 | 5.02 |
| 430 | 1500 | 48.20 | 7.548 | 0.0714 | 5.1011 | 19.6335 | 103.2696 | 2.2835 | 3.125 | 35.320 | 21.99 | 4.31 |
| 431 | 1600 | 52.76 | 7.145 | 0.0714 | 5.1534 | 17.8486 | 114.4749 | 0.5000 | 2.930 | 35.368 | 18.42 | 3.59 |
| ESTACION 43 | | | | | | | | | | | | |
| 432 | 5 | 185.40 | 8.236 | 3.0914 | 3.5191 | 1.6635 | 11.4163 | 0.5000 | 31.332 | 34.614 | 5.25 | 1.49 |
| 433 | 20 | 169.57 | 8.212 | 0.0714 | 3.9065 | 5.6618 | 5.4072 | 0.6173 | 30.419 | 34.724 | 6.35 | 1.63 |
| 434 | 50 | 134.81 | 7.921 | 0.0714 | 4.4554 | 13.9219 | 18.2358 | 2.2835 | 22.782 | 34.744 | 16.28 | 3.65 |
| 435 | 100 | 83.91 | 7.690 | 0.0714 | 4.9397 | 18.0628 | 37.1695 | 0.5000 | 15.072 | 34.590 | 16.63 | 3.77 |
| 436 | 150 | 64.72 | 7.594 | 0.0714 | 5.6429 | 19.2051 | 58.6306 | 0.5000 | 14.080 | 34.886 | 19.78 | 3.50 |
| 437 | 300 | 22.42 | 7.454 | 0.0714 | 5.1011 | 21.8467 | 62.9228 | 0.5000 | 11.064 | 34.890 | 22.42 | 4.39 |
| 438 | 500 | 11.27 | 7.385 | 0.0714 | 5.0042 | 22.3484 | 64.3439 | 3.9496 | 7.666 | 34.636 | 26.37 | 5.27 |
| 439 | 800 | NA | 7.418 | 0.0714 | 5.0044 | 20.0618 | 98.1190 | 2.2835 | 5.423 | 34.951 | 22.42 | 4.48 |
| 440 | 1000 | 23.09 | 7.342 | 0.0714 | 4.4877 | 19.8334 | 66.9522 | 38.1061 | 4.571 | 35.031 | 57.81 | 12.88 |
| 441 | 1200 | 31.64 | 7.516 | 0.0714 | 4.8751 | 19.6333 | 104.9865 | 5.6158 | 3.926 | 35.161 | 25.32 | 5.19 |
| 442 | 1500 | 45.51 | 7.503 | 0.0714 | 5.6409 | 20.1332 | 103.2696 | 0.5000 | 3.107 | 35.317 | 20.70 | 3.67 |
| 443 | 2000 | 76.47 | 7.541 | 0.0714 | 4.3585 | 0.0714 | 126.1645 | 0.5000 | 2.224 | 35.584 | 0.64 | 0.15 |

NA. No analizado. Límite mínimo de detección 0.0714 μM.

TABLA 2. PARAMETROS ESTADISTICOS DE LOS ANALISIS FISICO-QUIMICOS POR TRANSECTO. CHIMENEAS-I.

| | O2 µM | pH 25°C | N-NO2 µM | P-PO4 µM | N-NO3 µM | Si-SiO2 µM | NH3 µM | Temp. °C | Sal. |
|-------------|----------|------------|-------------|-------------|-------------|---------------|-----------|-------------|--------|
| TRANSECTO 1 | | | | | | | | | |
| Max. | 264.30 | 8.340 | 5.4170 | 7.4579 | 254.4497 | 133.3151 | 60.5994 | 30.685 | 35.990 |
| Min. | 3.92 | 6.872 | 0.0714 | 1.0000 | 0.0714 | 0.2500 | 0.5000 | 3.002 | 34.741 |
| Media | 79.68 | 7.689 | 1.2544 | 5.3473 | 36.4205 | 51.9649 | 8.7266 | 16.571 | 35.053 |
| D. St. | 66.25 | 0.361 | 1.3049 | 0.8728 | 39.5855 | 38.9293 | 11.2491 | 9.263 | 0.228 |
| TRANSECTO 2 | | | | | | | | | |
| Max. | 202.43 | 8.352 | 3.2627 | 9.5887 | 949.5456 | 153.0593 | 49.7693 | 30.690 | 35.444 |
| Min. | 7.93 | 7.140 | 0.0714 | 1.0000 | 0.0714 | 1.9734 | 0.5000 | 2.916 | 34.847 |
| Media | 80.30 | 7.669 | 1.0382 | 5.0871 | 106.3220 | 61.0607 | 5.8962 | 14.689 | 35.057 |
| D. St. | 65.51 | 0.350 | 1.2359 | 0.9828 | 170.6772 | 46.8830 | 7.7034 | 9.766 | 0.127 |
| TRANSECTO 3 | | | | | | | | | |
| Max. | 253.78 | 8.383 | 6.7682 | 10.1605 | 611.1361 | 153.9178 | 115.2830 | 30.678 | 35.454 |
| Min. | 4.61 | 7.280 | 0.0714 | 3.4868 | 0.7140 | 1.1149 | 3.9446 | 2.900 | 34.071 |
| Media | 81.39 | 7.671 | 1.3283 | 4.9376 | 27.0306 | 68.9210 | 24.9300 | 12.934 | 35.063 |
| D. St. | 70.84 | 0.324 | 1.3887 | 0.9102 | 92.2839 | 48.0723 | 23.0419 | 9.662 | 0.190 |
| TRANSECTO 4 | | | | | | | | | |
| Max. | 193.26 | 8.372 | 4.0481 | 6.6185 | 25.8480 | 156.4921 | 99.7544 | 30.797 | 35.469 |
| Min. | 7.29 | 7.324 | 0.0714 | 3.2253 | 0.0714 | 4.5487 | 0.5000 | 2.338 | 34.834 |
| Media | 67.70 | 7.640 | 0.3963 | 4.9776 | 7.8161 | 76.2706 | 20.9484 | 13.049 | 35.079 |
| D. St. | 59.46 | 0.293 | 0.9116 | 0.6883 | 8.8782 | 48.6351 | 25.8699 | 9.894 | 0.158 |
| TRANSECTO 5 | | | | | | | | | |
| Max. | 205.27 | 8.286 | 7.7820 | 5.7791 | 25.8448 | 153.0593 | 98.9213 | 30.824 | 35.493 |
| Min. | 7.98 | 7.234 | 0.0714 | 1.0000 | 0.0714 | 66.0860 | 1.4504 | 2.898 | 34.692 |
| Media | 73.68 | 7.642 | 0.4450 | 4.5004 | 14.2679 | 66.0860 | 23.1550 | 13.756 | 35.059 |
| D. St. | 64.68 | 0.320 | 1.1890 | 0.7000 | 8.2597 | 45.5476 | 26.0377 | 10.104 | 0.142 |
| TRANSECTO 6 | | | | | | | | | |
| Max. | 191.94 | 8.273 | 3.2270 | 6.7476 | 30.8424 | 154.7762 | 38.9392 | 31.464 | 35.620 |
| Min. | 3.96 | 7.078 | 0.0714 | 2.8185 | 0.0714 | 1.9734 | 0.5000 | 3.351 | 34.862 |
| Media | 84.62 | 7.709 | 0.4347 | 4.4089 | 11.9087 | 51.3477 | 5.0210 | 15.906 | 35.021 |
| D. St. | 68.00 | 0.338 | 0.9473 | 0.7750 | 7.7052 | 40.3447 | 6.0249 | 9.506 | 0.119 |

TABLA 3. ANALISIS DE VARIANZA POR TRANSECTOR. NIVEL DE CONFIDENCIA: 95%. CHIMENEAS-I. SEPTIEMBRE DE 1990.

| | O2 | pH | N-NO2 | P-PO4 | N-NO3 | Si-SiO2 | NH3 | Temp. | Salinidad | N:F(15:1) |
|--------------|--------|---------|-------|-------|--------|---------|-------|---------|-----------|-----------|
| TRANSECTOR 1 | | | | | | | | | | |
| G. Lib. | 50 | 50 | 50 | 50 | 50 | 50 | 50 | 50 | 50 | 50 |
| F. Cal. | 12.612 | 12.386 | 0.402 | 1.565 | 16.740 | 6.718 | 0.445 | 484.163 | 2.200 | 7.261 |
| F. Teo. | 2.009 | 2.009 | 2.009 | 2.009 | 2.009 | 2.009 | 2.009 | 2.009 | 2.009 | 2.009 |
| N. Sig. | 0.000 | 0.000 | 0.946 | 0.148 | 0.000 | 0.000 | 0.925 | 0.000 | 0.035 | 0.000 |
| TRANSECTOR 2 | | | | | | | | | | |
| G. Lib. | 65 | 65 | 65 | 65 | 65 | 64 | 64 | 65 | 65 | 65 |
| F. Cal. | 60.744 | 25.908 | 1.625 | 1.367 | 0.907 | 268.674 | 0.956 | 876.445 | 93.852 | 1.339 |
| F. Teo. | 1.997 | 1.997 | 1.997 | 1.997 | 1.997 | 1.998 | 1.998 | 1.997 | 1.997 | 1.997 |
| N. Sig. | 0.000 | 0.000 | 0.113 | 0.211 | 0.546 | 0.000 | 0.501 | 0.000 | 0.000 | 0.225 |
| TRANSECTOR 3 | | | | | | | | | | |
| G. Lib. | 79 | 79 | 79 | 79 | 79 | 79 | 78 | 79 | 79 | 79 |
| F. Cal. | 42.211 | 147.313 | 1.097 | 0.831 | 0.687 | 307.738 | 0.833 | 788.315 | 10.216 | 0.493 |
| F. Teo. | 1.990 | 1.990 | 1.990 | 1.990 | 1.990 | 1.990 | 1.991 | 1.990 | 1.990 | 1.990 |
| N. Sig. | 0.000 | 0.000 | 0.377 | 0.626 | 0.769 | 0.000 | 0.625 | 0.000 | 0.000 | 0.921 |
| TRANSECTOR 4 | | | | | | | | | | |
| G. Lib. | 80 | 81 | 81 | 81 | 81 | 81 | 80 | 81 | 81 | 81 |
| F. Cal. | 42.201 | 42.880 | 1.190 | 3.353 | 2.107 | 95.620 | 0.506 | 999.999 | 0.796 | 0.591 |
| F. Teo. | 1.990 | 1.990 | 1.990 | 1.990 | 1.990 | 1.990 | 1.990 | 1.990 | 1.990 | 1.990 |
| N. Sig. | 0.000 | 0.000 | 0.306 | 0.001 | 0.025 | 0.000 | 0.913 | 0.000 | 0.662 | 0.853 |
| TRANSECTOR 5 | | | | | | | | | | |
| G. Lib. | 76 | 76 | 77 | 77 | 77 | 77 | 76 | 77 | 77 | 77 |
| F. Cal. | 41.459 | 57.974 | 0.363 | 3.703 | 28.535 | 77.889 | 0.874 | 250.860 | 56.075 | 1.198 |
| F. Teo. | 1.992 | 1.992 | 1.991 | 1.991 | 1.991 | 1.991 | 1.992 | 1.991 | 1.991 | 1.991 |
| N. Sig. | 0.000 | 0.000 | 0.977 | 0.000 | 0.000 | 0.000 | 0.583 | 0.000 | 0.000 | 0.301 |
| TRANSECTOR 6 | | | | | | | | | | |
| G. Lib. | 61 | 61 | 61 | 61 | 61 | 61 | 61 | 62 | 61 | 61 |
| F. Cal. | 37.938 | 39.186 | 1.002 | 4.524 | 16.943 | 104.389 | 0.686 | 161.738 | 5.710 | 2.574 |
| F. Teo. | 1.999 | 1.999 | 1.999 | 1.999 | 1.999 | 1.999 | 1.999 | 1.999 | 1.999 | 1.999 |
| N. Sig. | 0.000 | 0.000 | 0.470 | 0.000 | 0.000 | 0.000 | 0.784 | 0.000 | 0.000 | 0.007 |

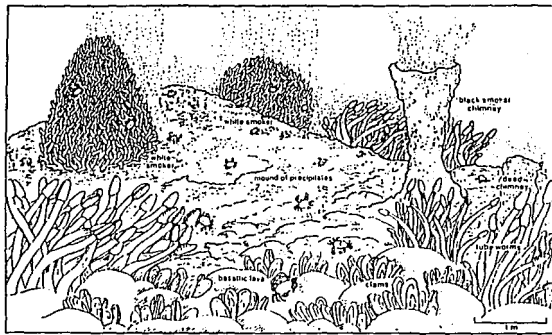


FIG. 1. UNA ESTRUCTURA HIDROTERMAL (Miller and Sohn, 1992).

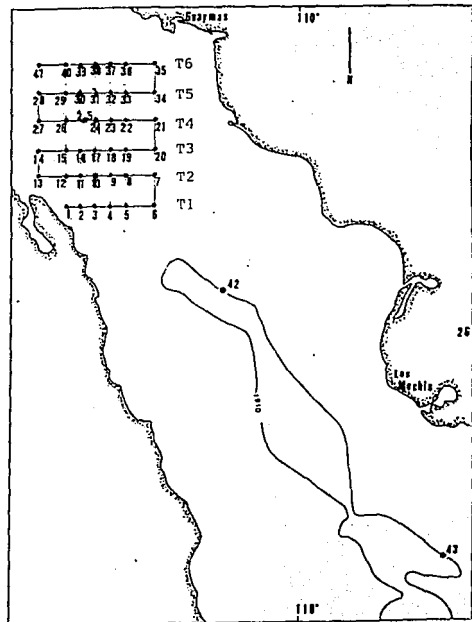
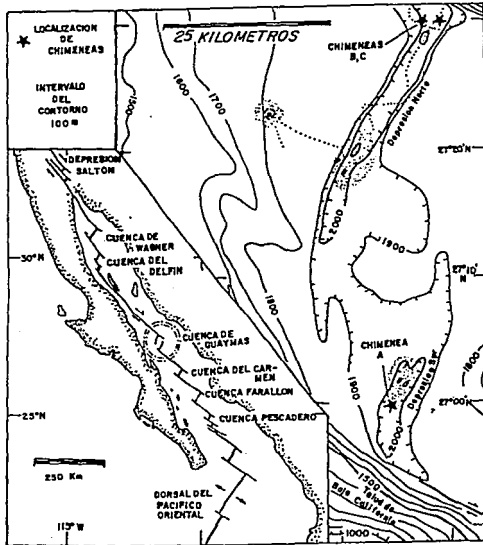


FIGURA 2. LOCALIZACION DEL AREA DE ESTUDIO, FOSA DE GUAYMAS, GOLFO DE CALIFORNIA, MEXICO.

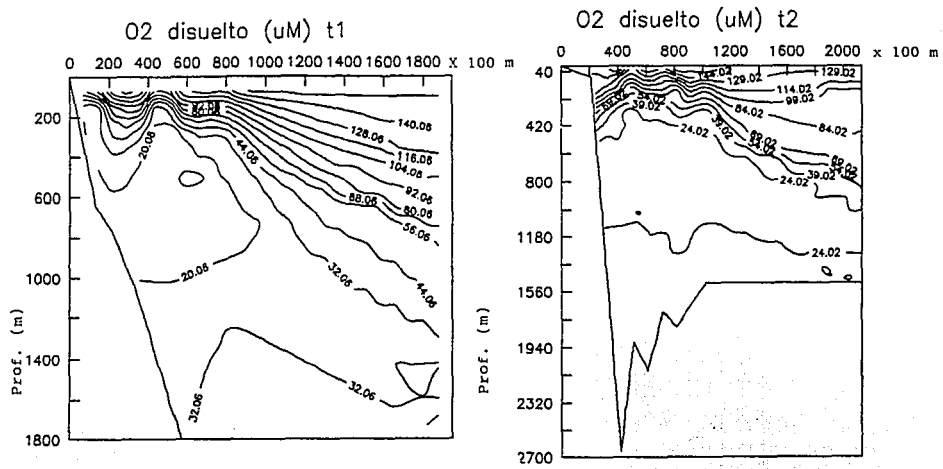
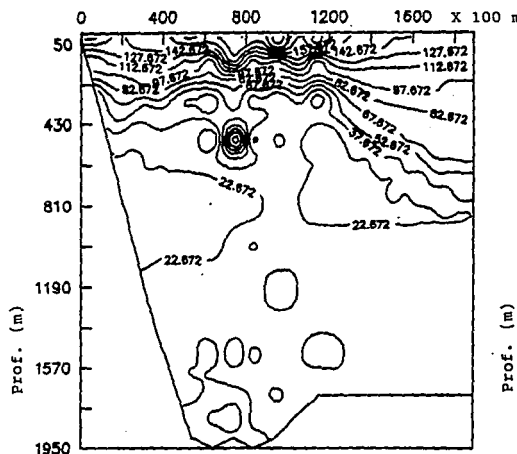


FIGURA 3

O₂ disuelto (μ M) t3



O₂ disuelto (μ M) t4

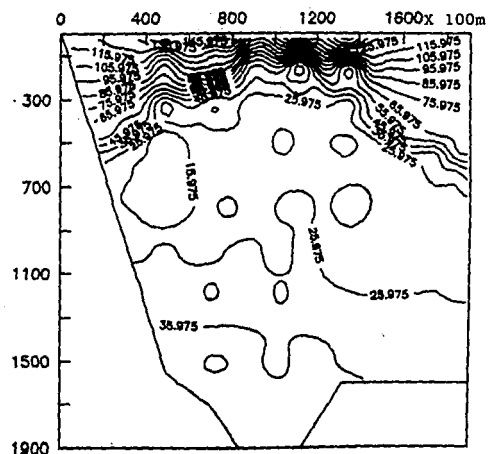


FIGURA 4

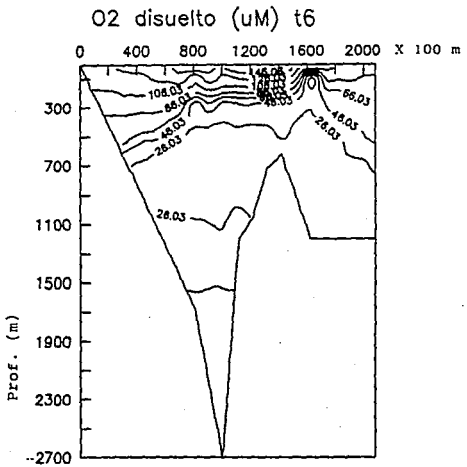
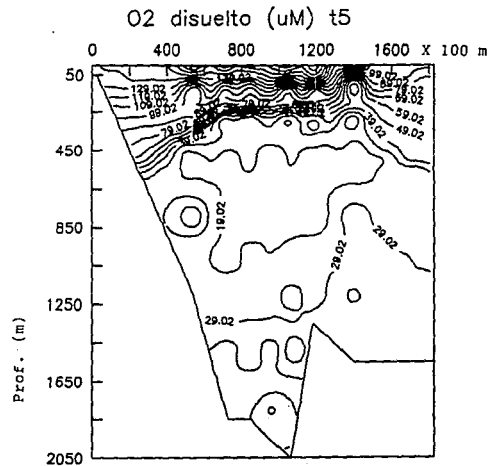


FIGURA .5

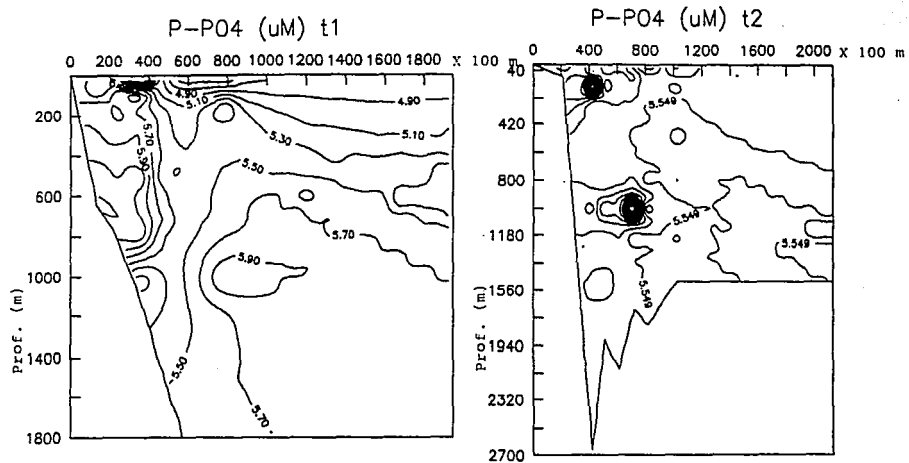


FIGURA 6

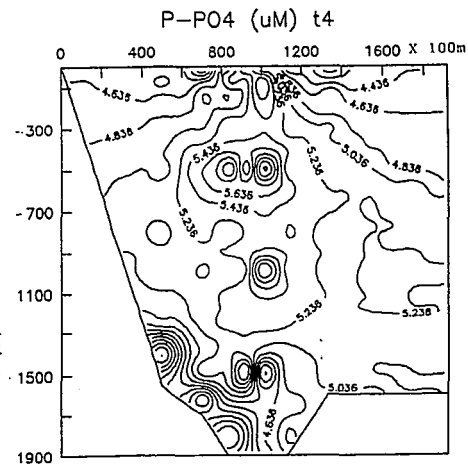
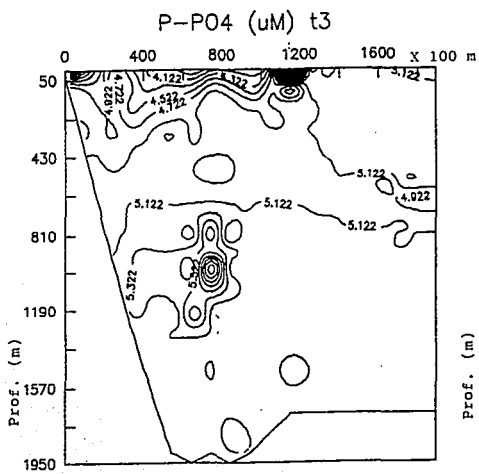


FIGURA 7

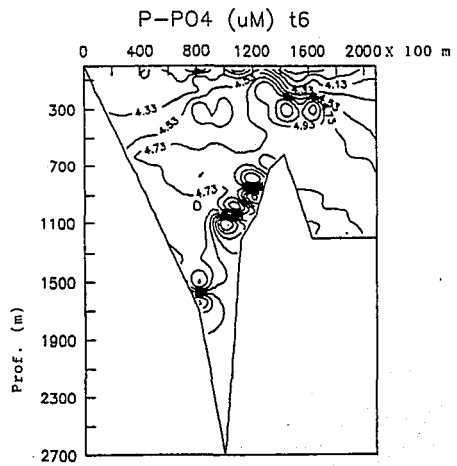
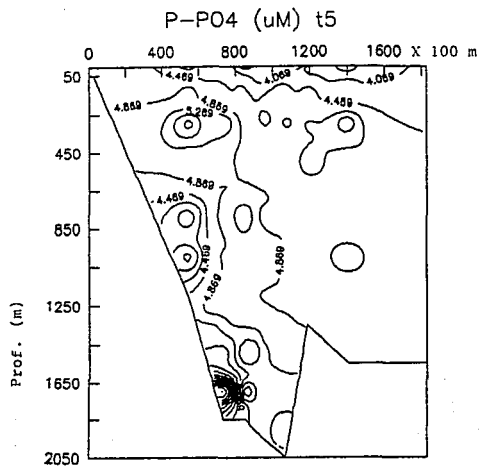


FIGURA 8

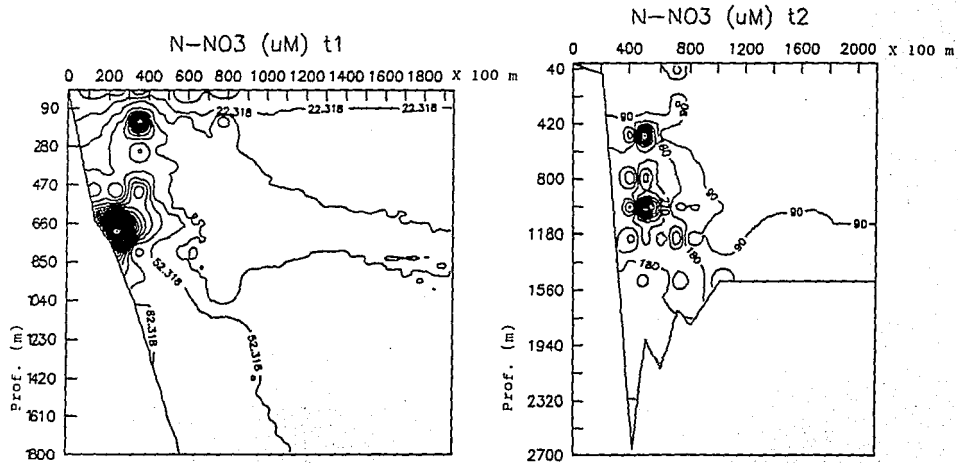


FIGURA 9

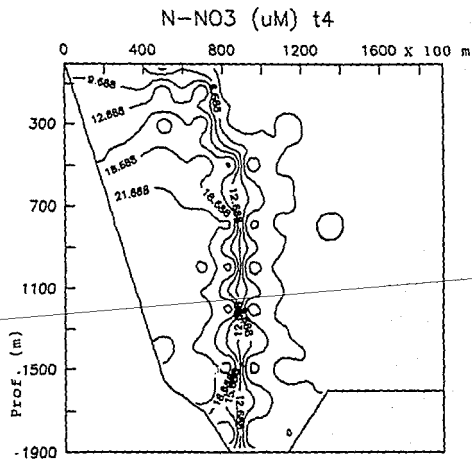
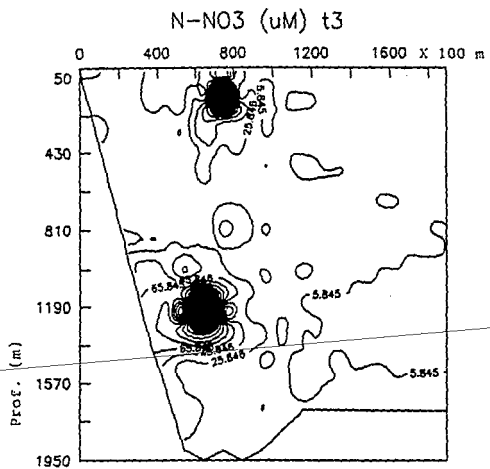


FIGURA 10

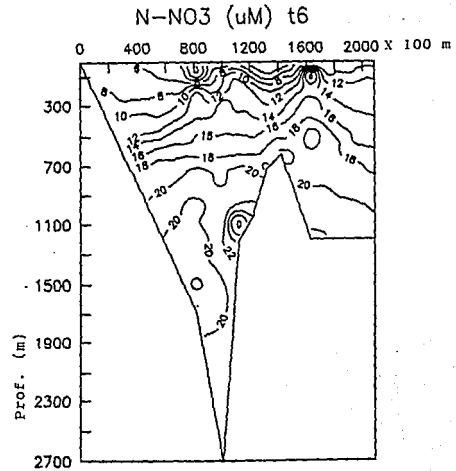
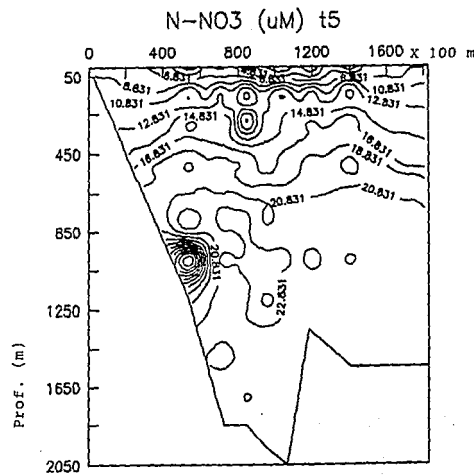


FIGURA. 11

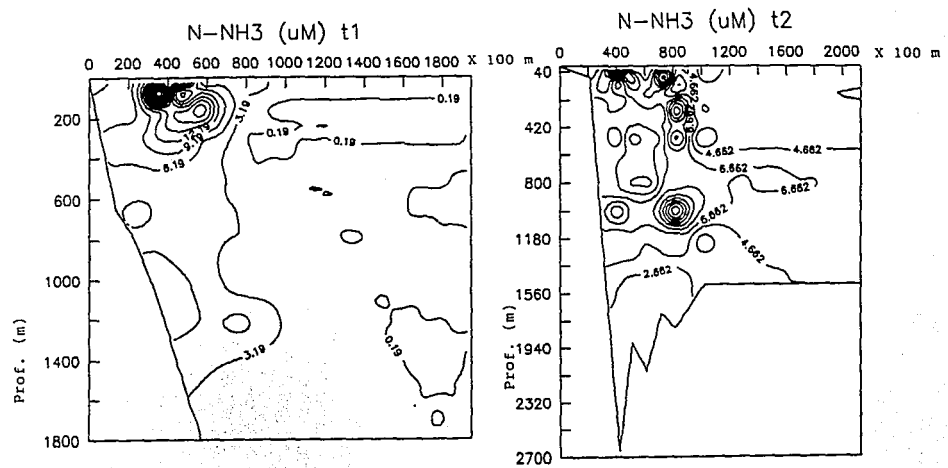


FIGURA 12

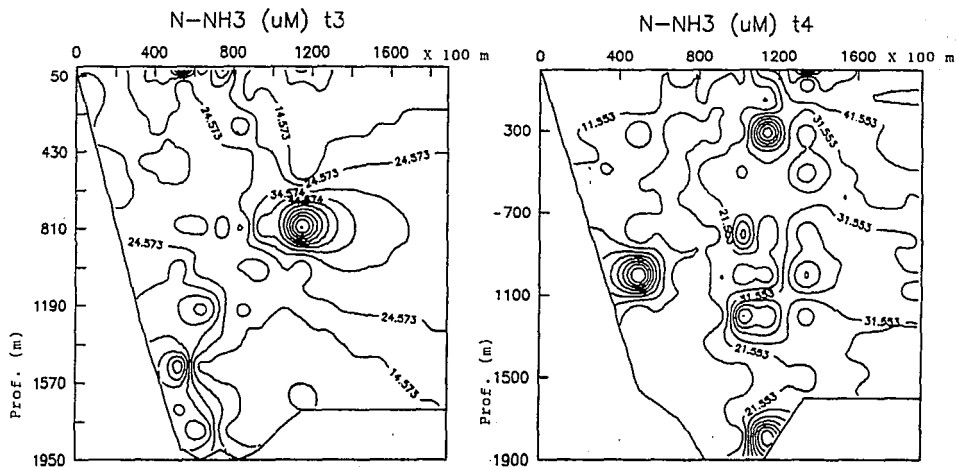


FIGURA 13

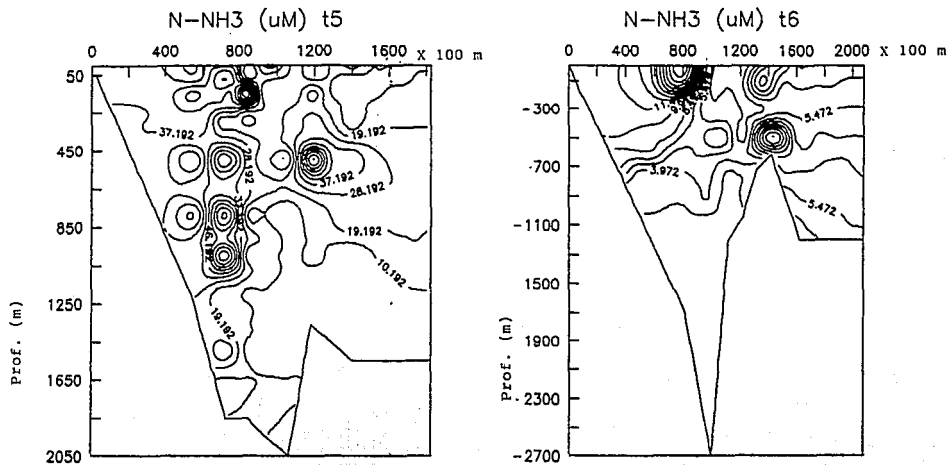


FIGURA 14

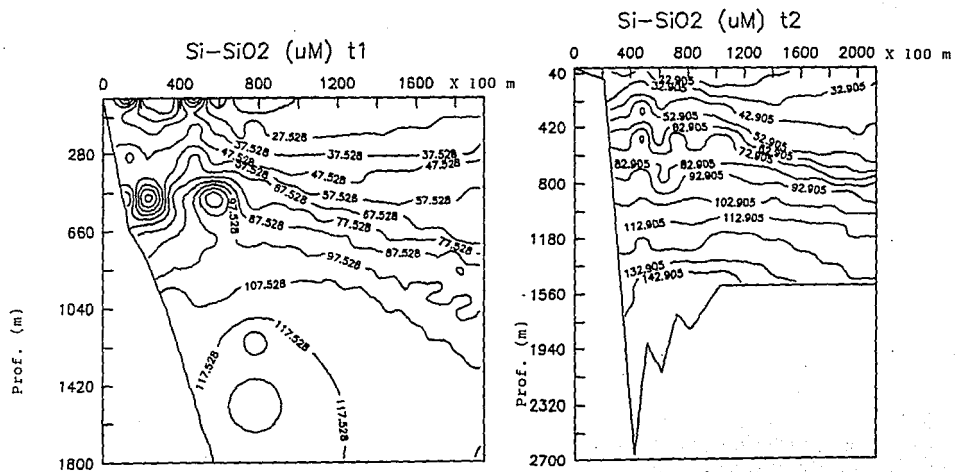


FIGURA 15

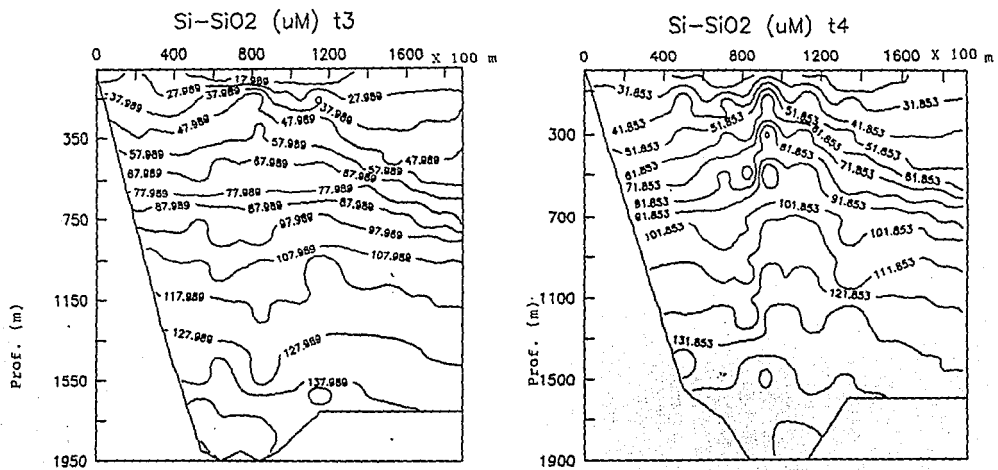


FIGURA 16

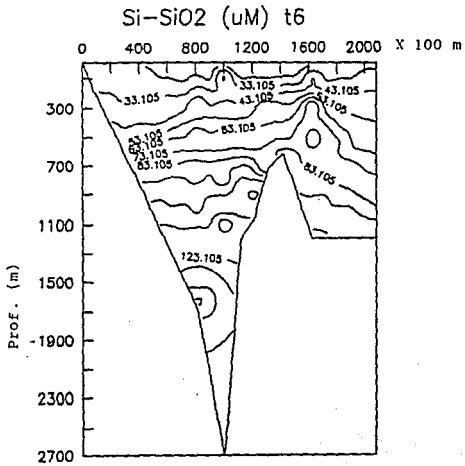
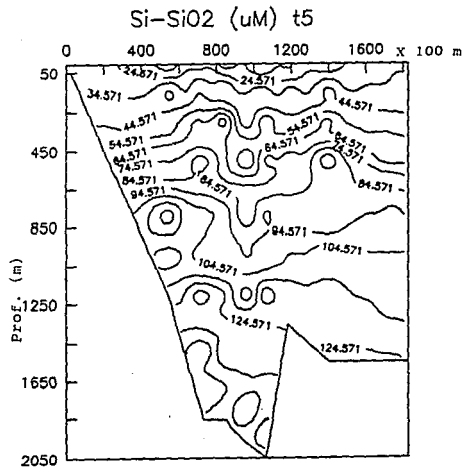


FIGURA 17

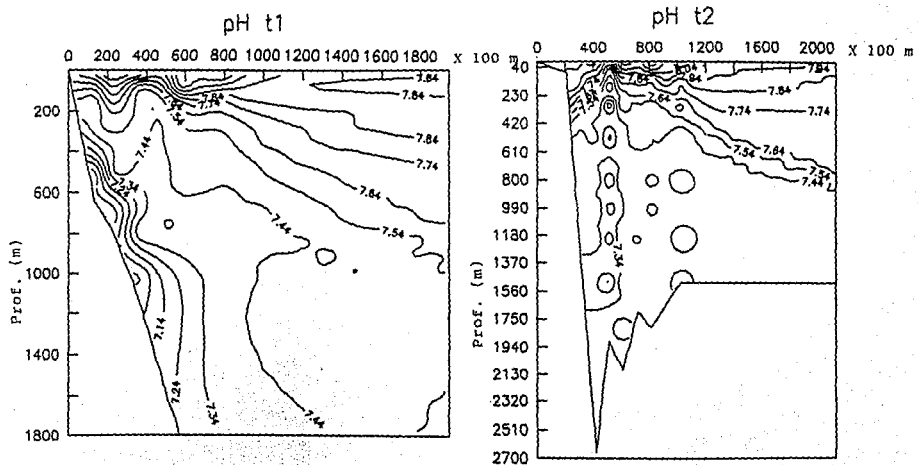


FIGURA 18

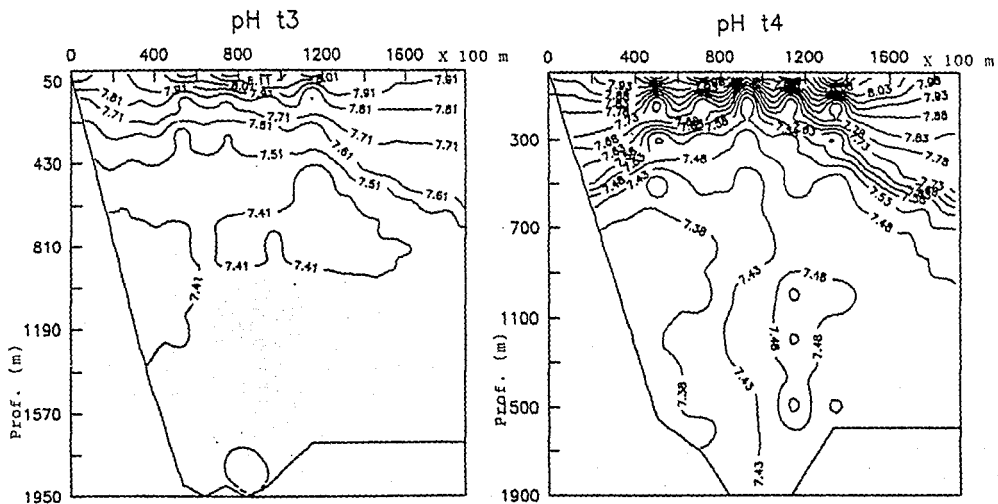


FIGURA 19

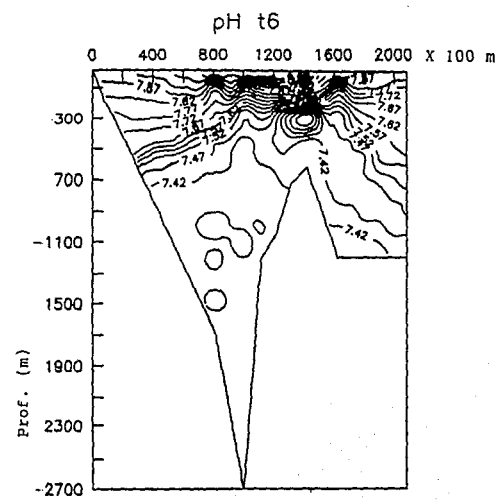
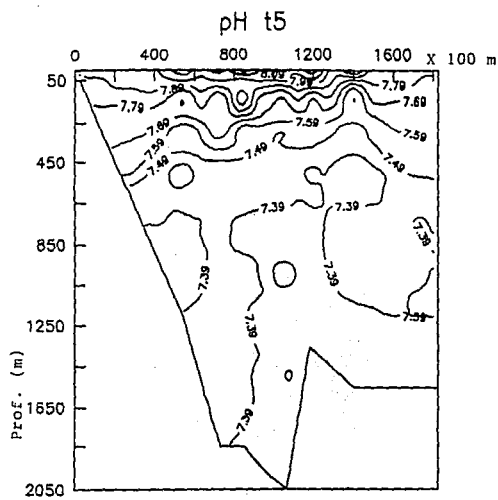


FIGURA 20

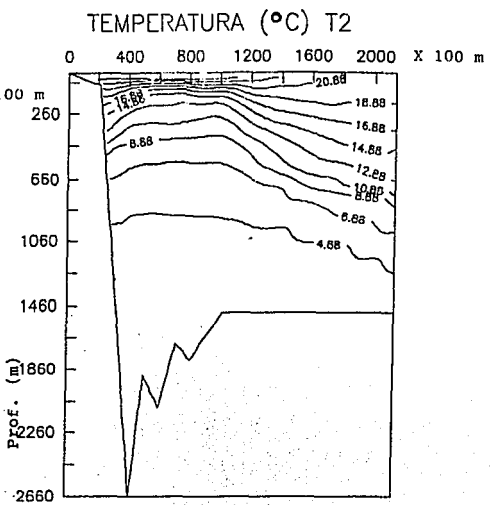
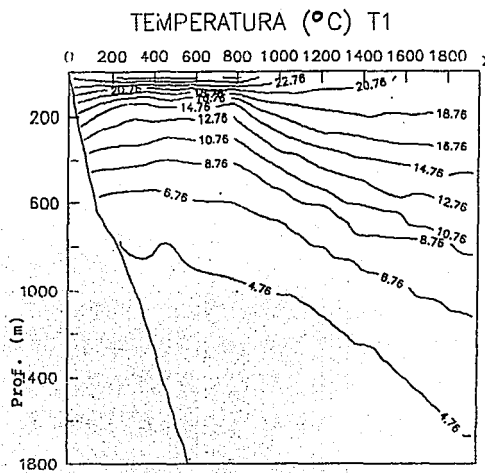


FIGURA 21

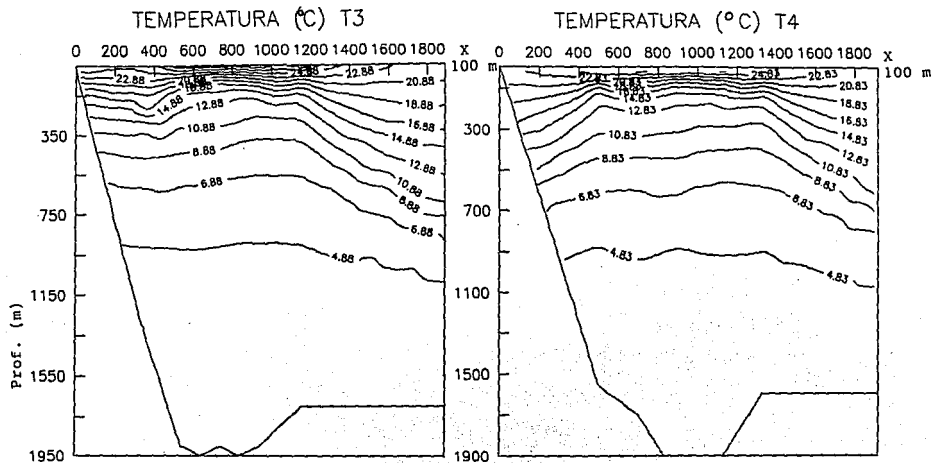


FIGURA 22

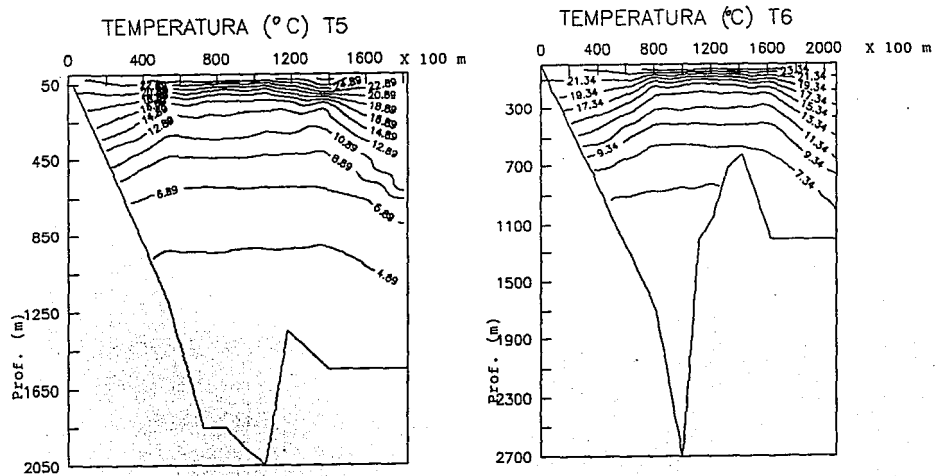
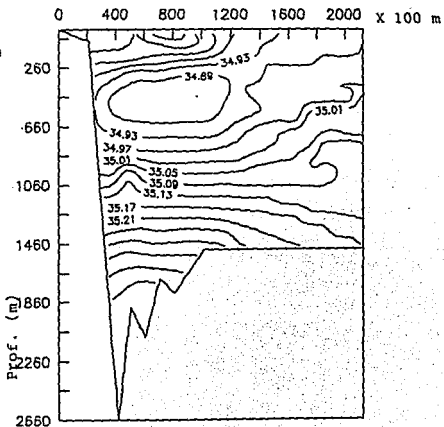


FIGURA 23

SALINIDAD T2



SALINIDAD T1

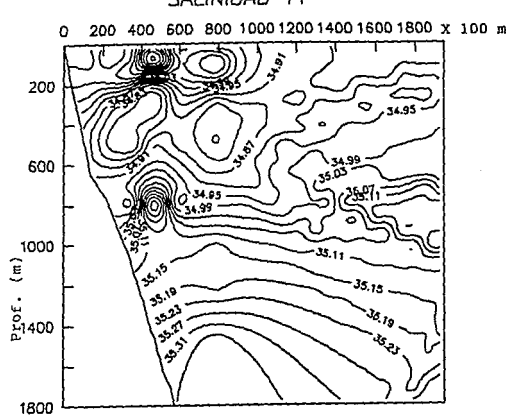


FIGURA 24

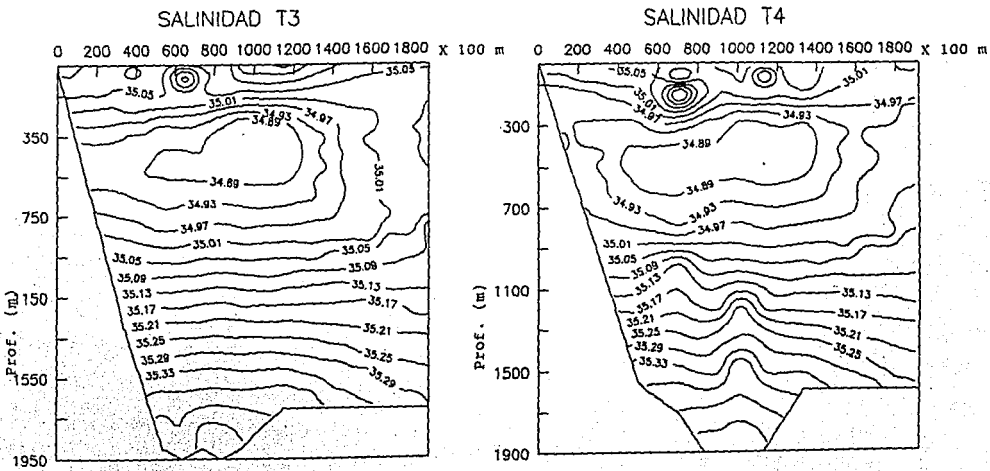


FIGURA 25

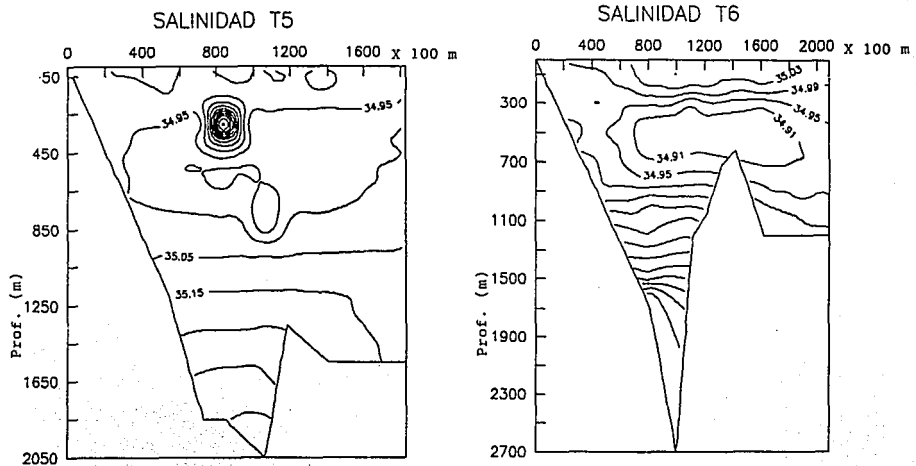


FIGURA 26

O₂ disuelto 5m (μM)

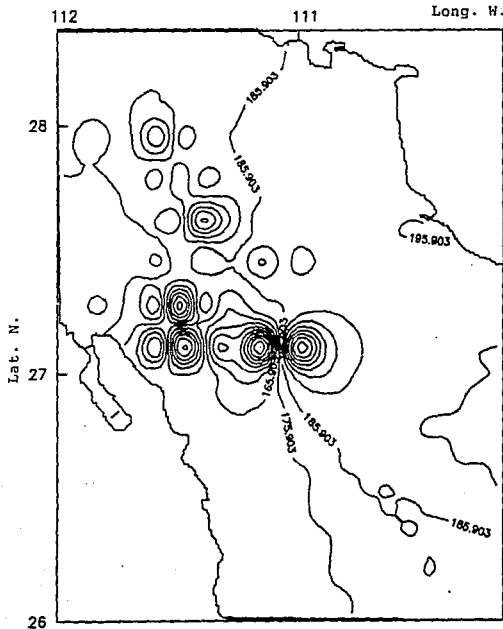


FIGURA 27

ESTA TESIS NO DEBE
SALIR DE LA BIBLIOTECA

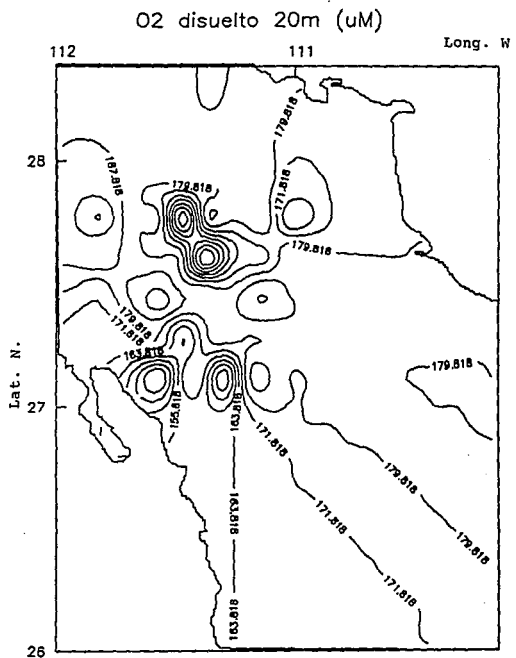


FIGURA 28

O₂ disuelto 500m (μM)

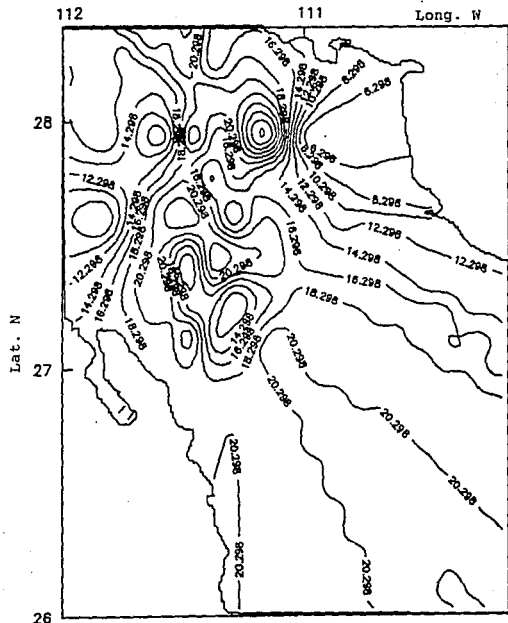


FIGURA 29

O₂ disuelto 1000m (μ M)

Long. W

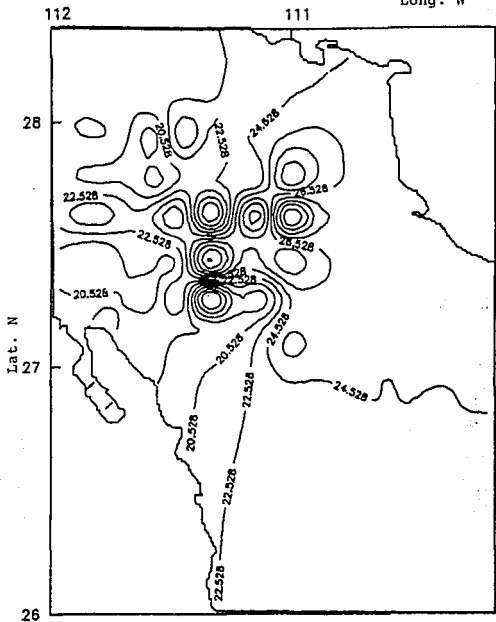


FIGURA 30

O₂ disuelto 1500m (uM)

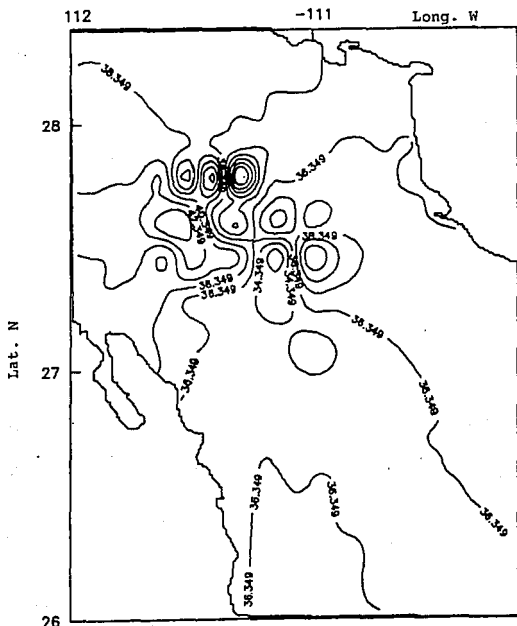


FIGURA 31

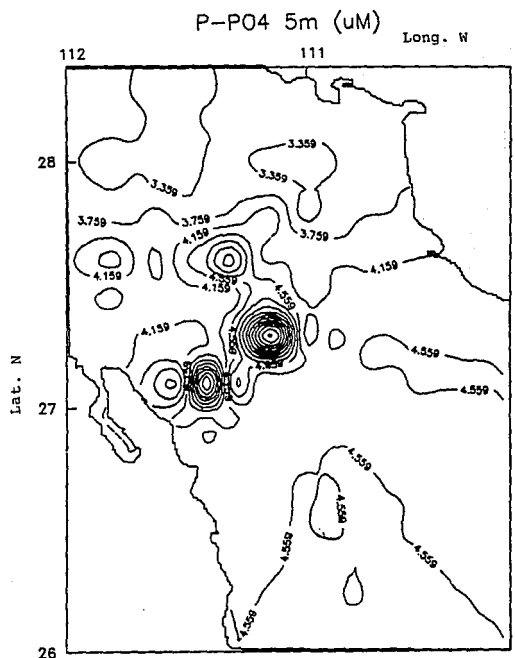


FIGURA 32

P-PO4 20m (uM)

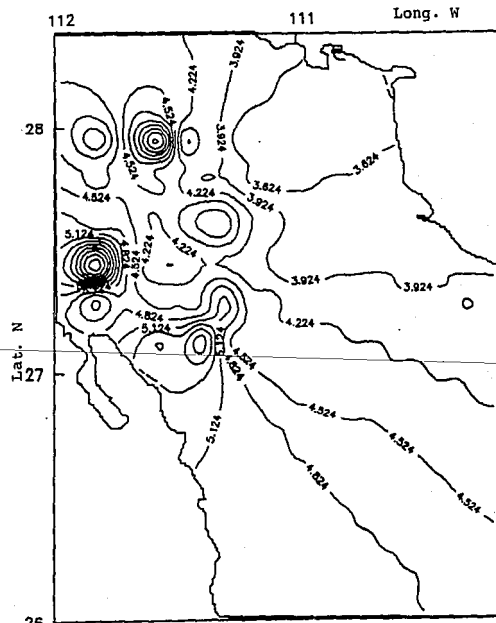
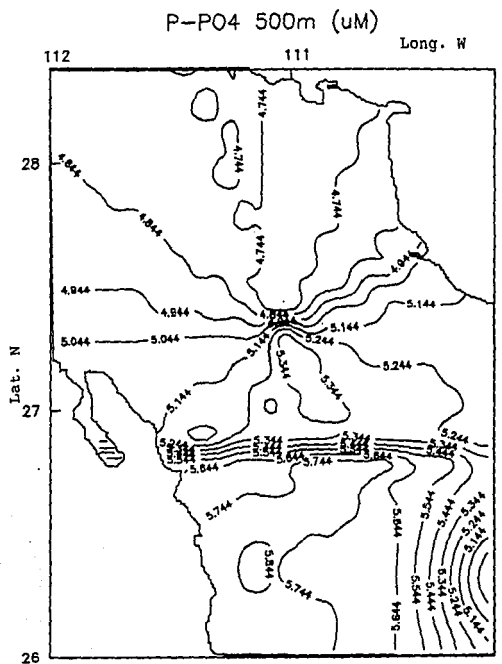


FIGURA 33



P-PO4 1000m (uM)

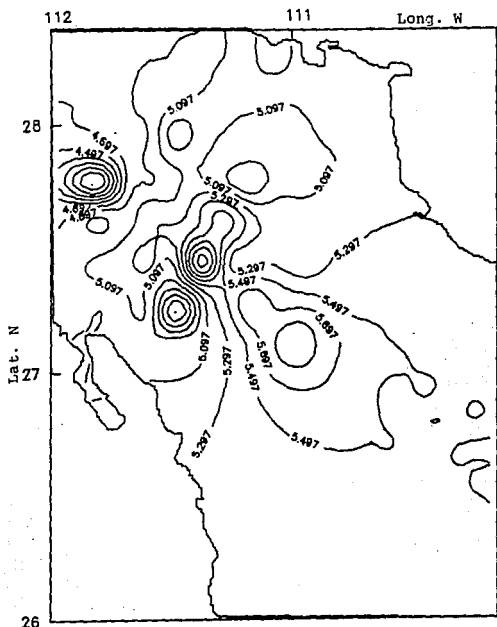


FIGURA 35

P-PO₄ 1500m (μM)

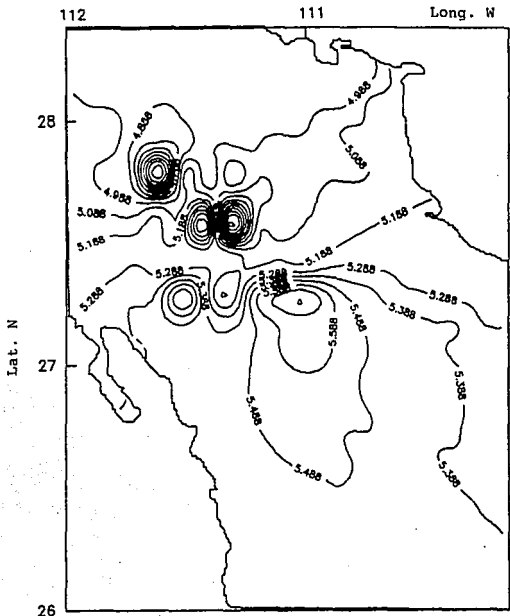


FIGURA 36

N-NO₃ 5m (μM)

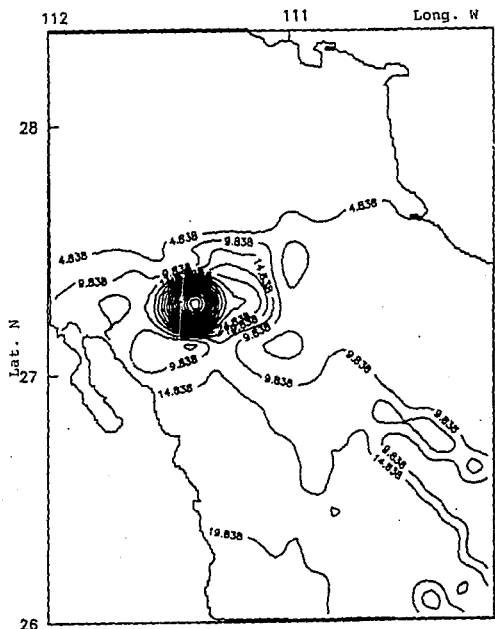


FIGURA 37

N-NO₃ 20m (μM)

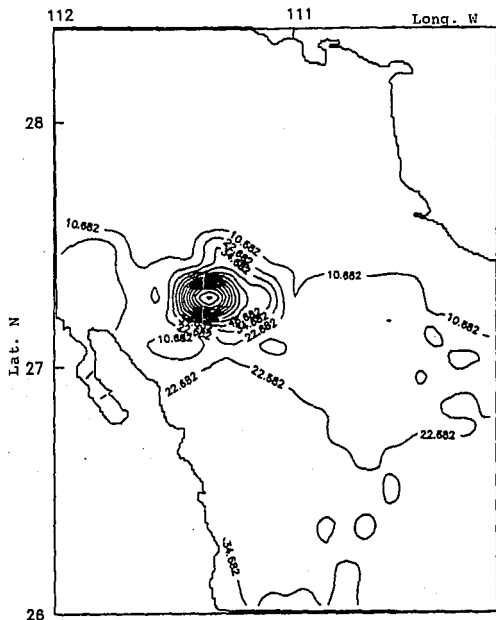


FIGURA 38

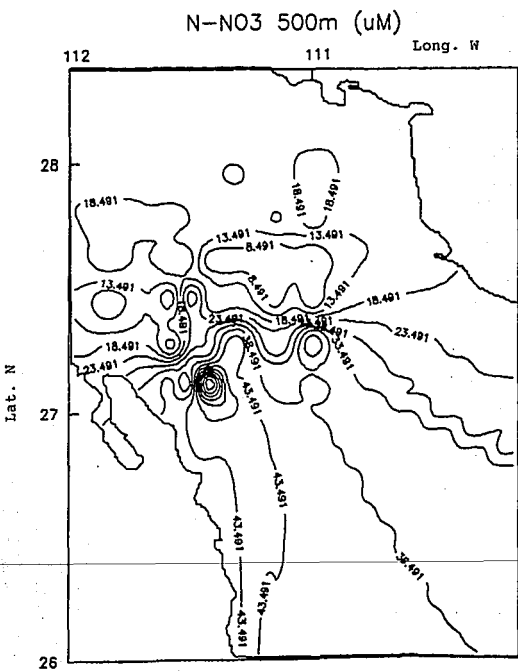


FIGURA 39

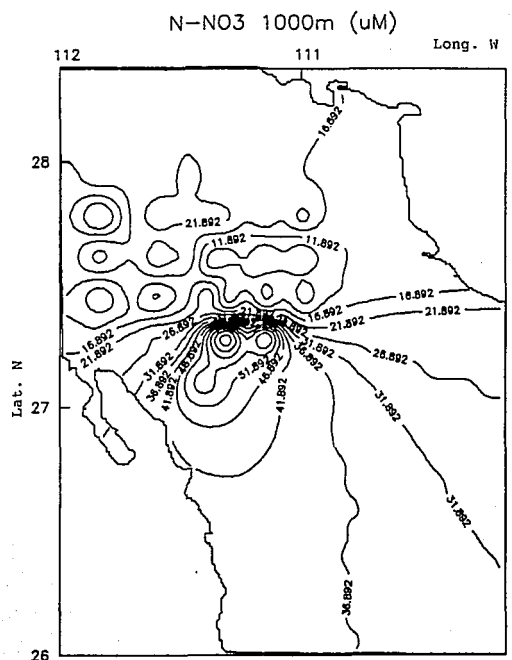


FIGURA 40

N-NO₃ 1500m (μM)

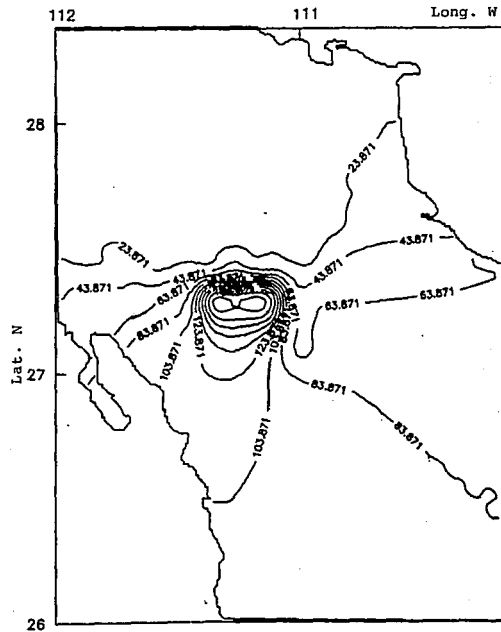


FIGURA 41

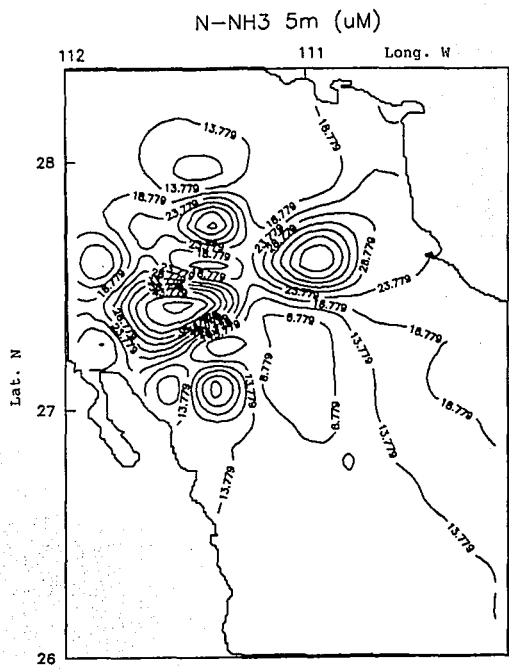


FIGURA 42

N-NH₃ 20m (μM)

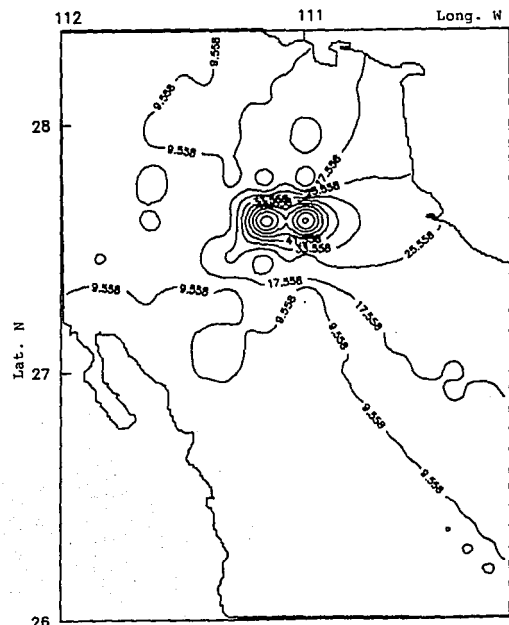


FIGURA 43

N-NH₃ 500m (μ M)

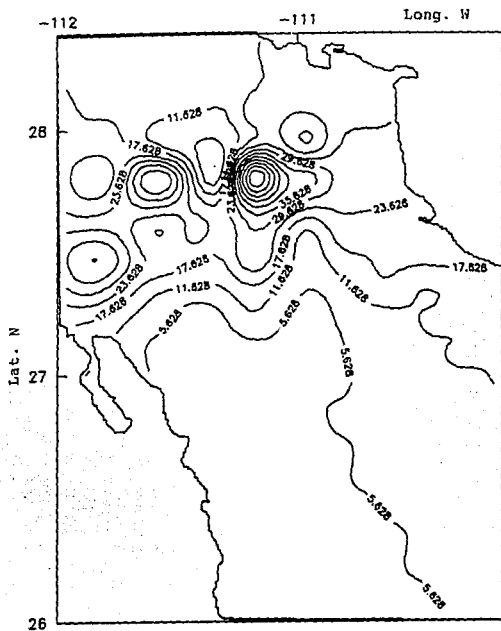


FIGURA 44

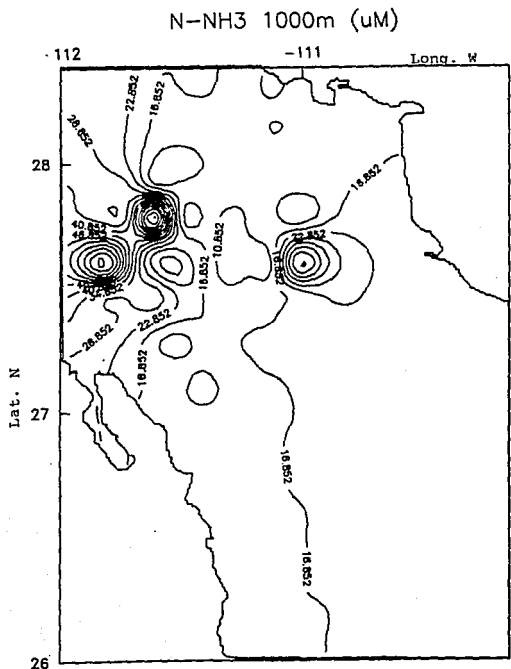


FIGURA 45

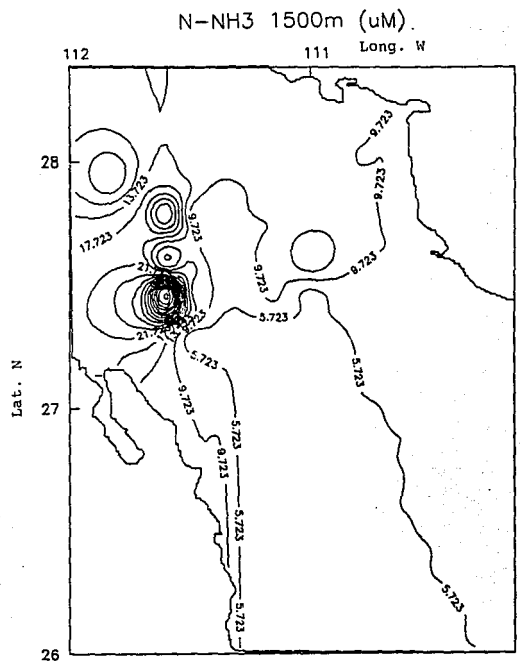


FIGURA 46

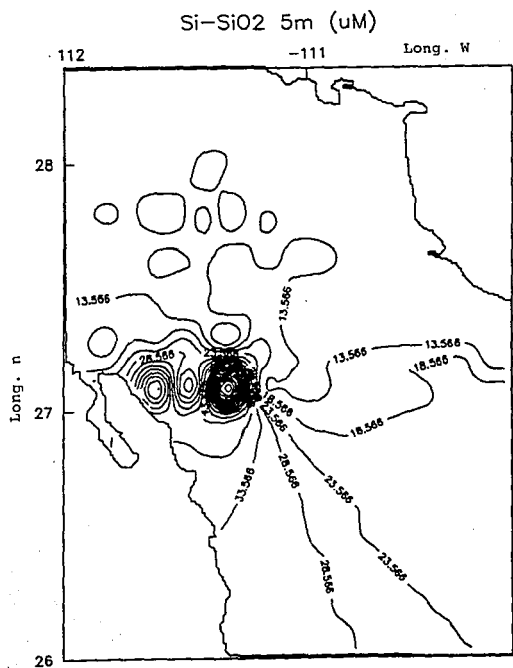


FIGURA 47

Si-SiO₂ 5m (μM)

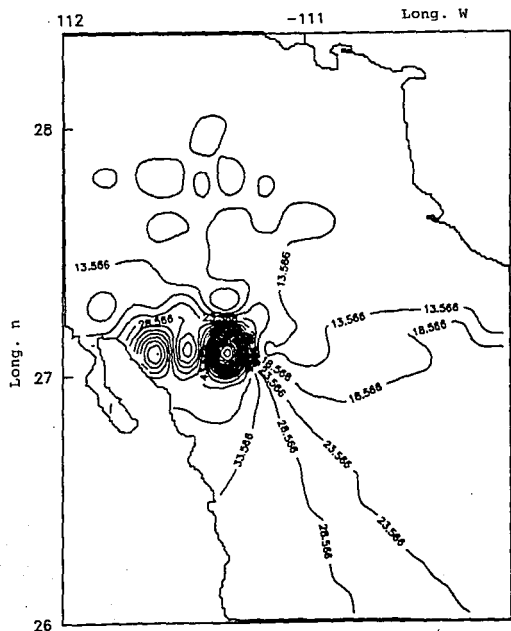


FIGURA 47

Si-SiO₂ 20m (μM)

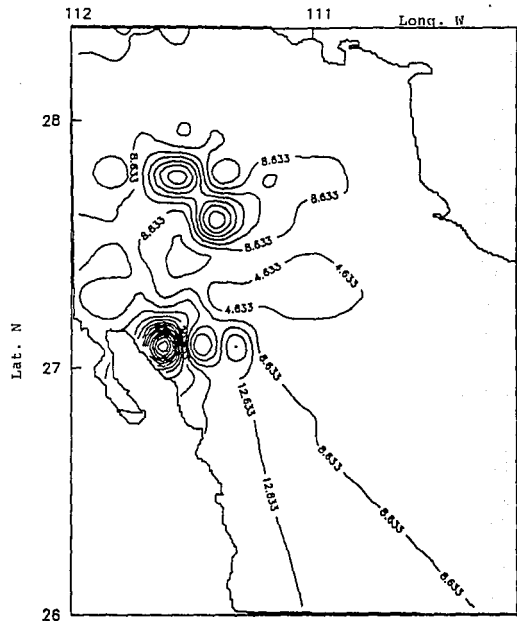


FIGURA 48

Si-SiO₂ 500m (μM)

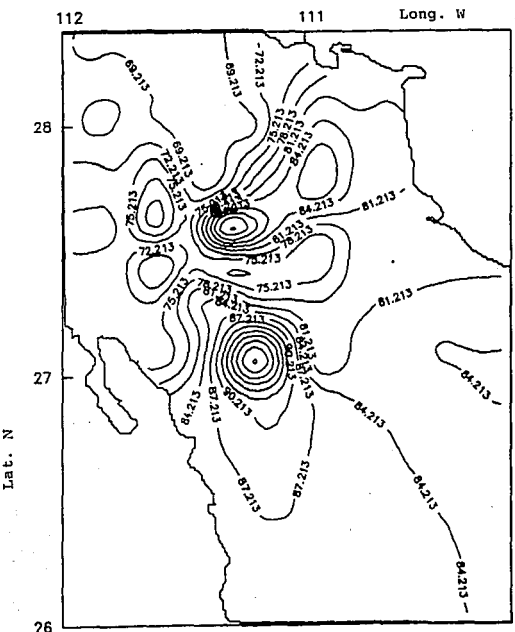


FIGURA 49

100

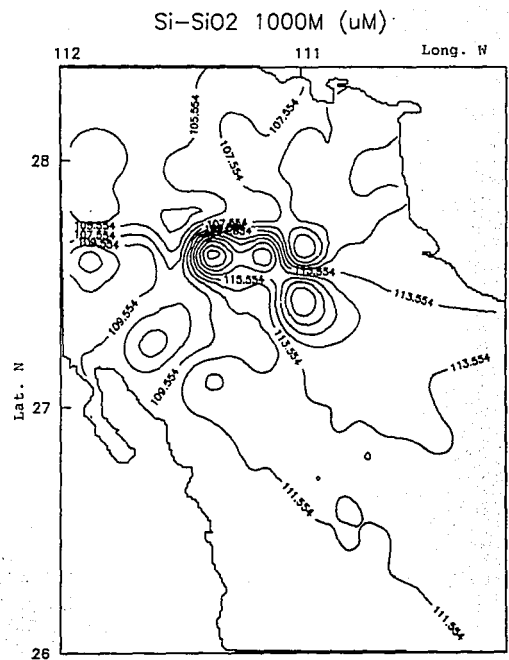


FIGURA 50

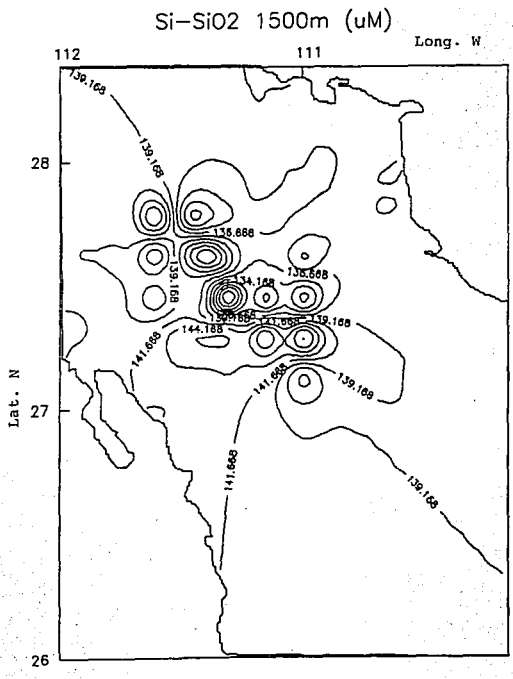


FIGURA 51

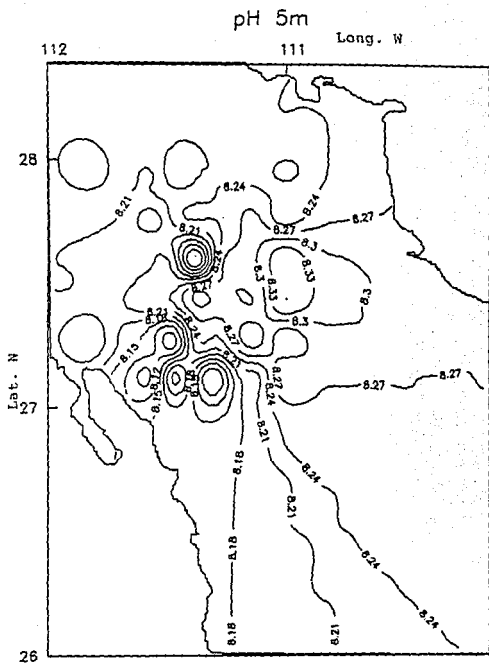
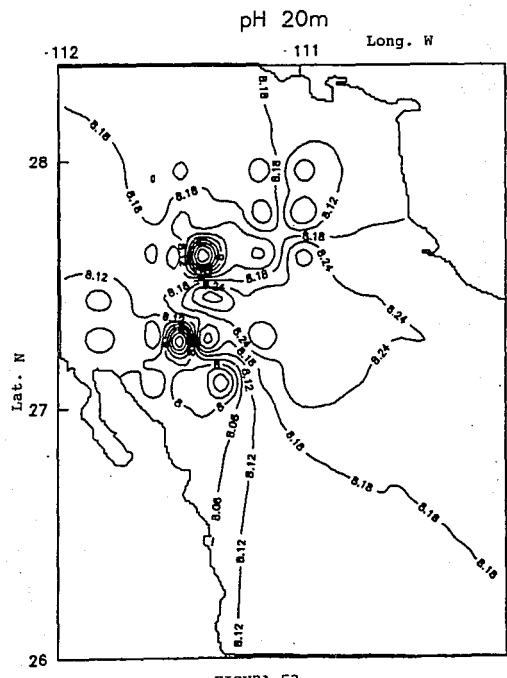


FIGURA 52



26

104

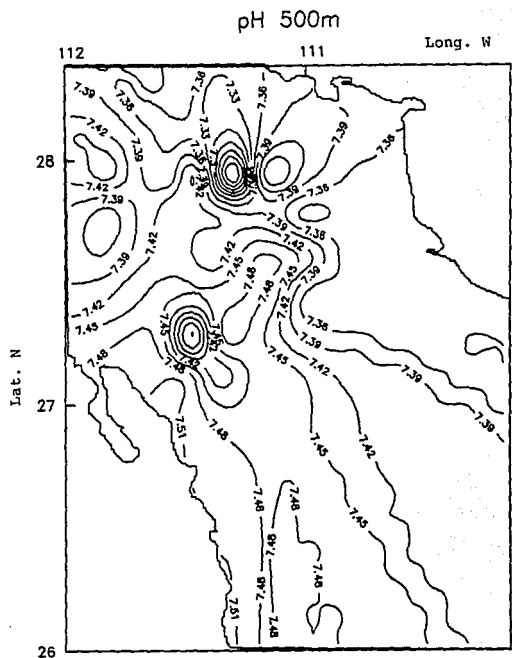


FIGURA 54

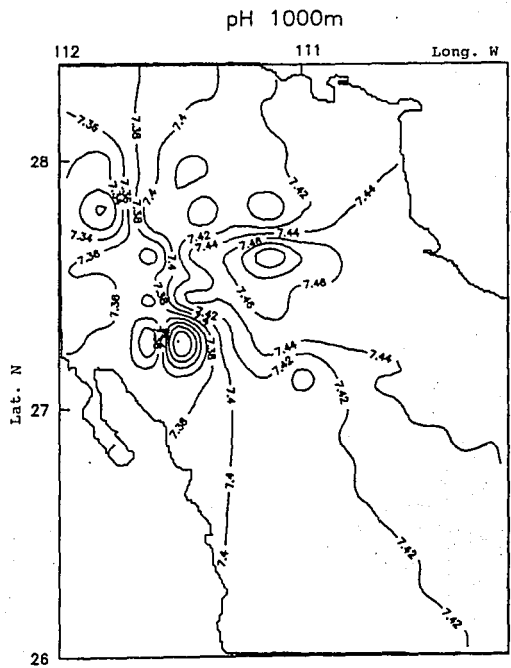
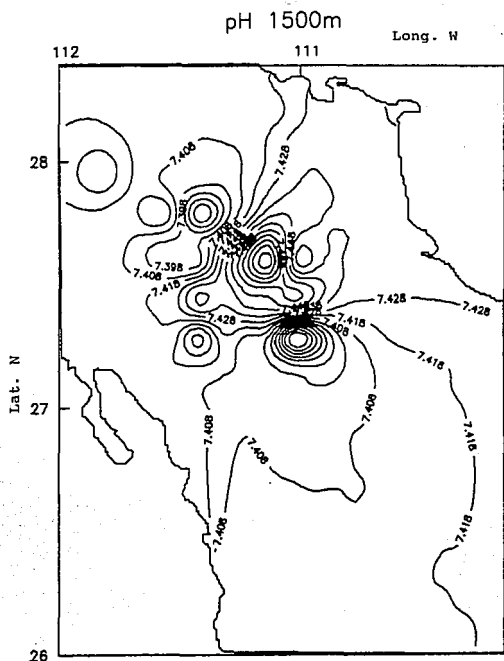


FIGURA 55



TEMPERATURA ($^{\circ}\text{C}$) 5 m

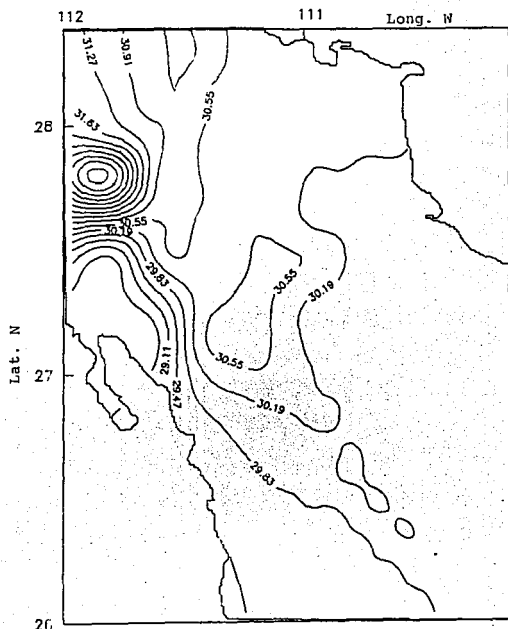


FIGURA 57

TEMPERATURA ($^{\circ}\text{C}$) 20m

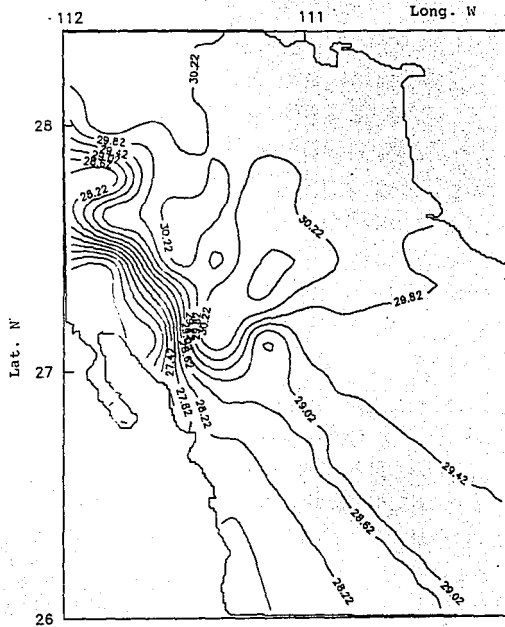


FIGURA 58

TEMPERATURA (°C) 500m

111 Long. W

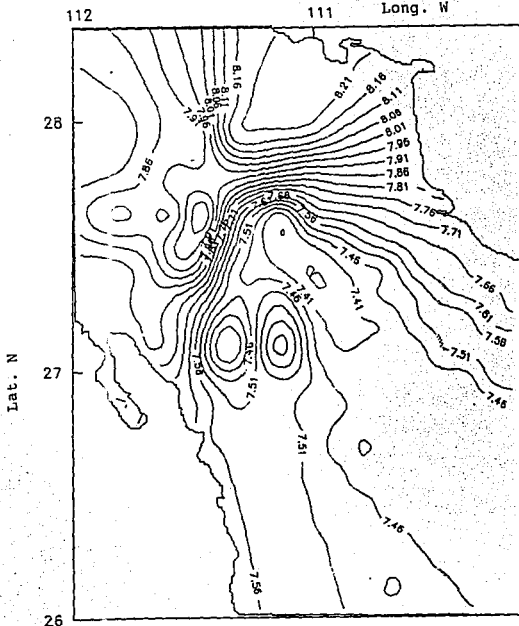


FIGURA 59

110

TEMPERATURA ($^{\circ}$ C) 1000 m

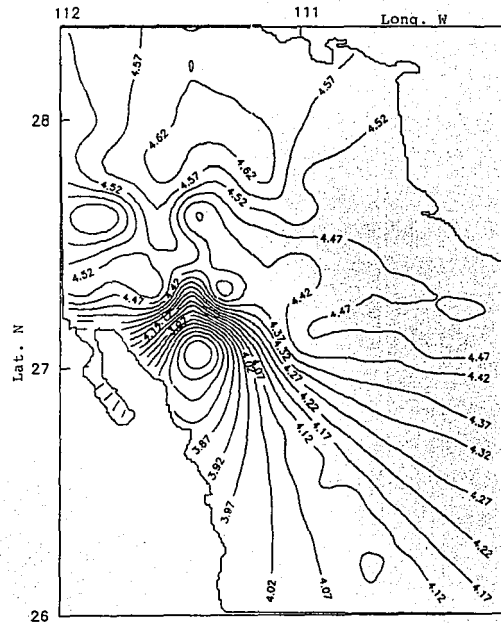


FIGURA 60

TEMPERATURA ($^{\circ}\text{C}$) 1 500 m

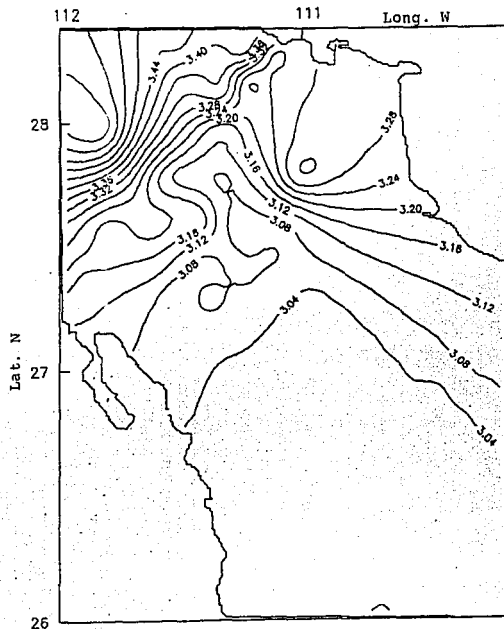


FIGURA 61

SALINIDAD 5 m

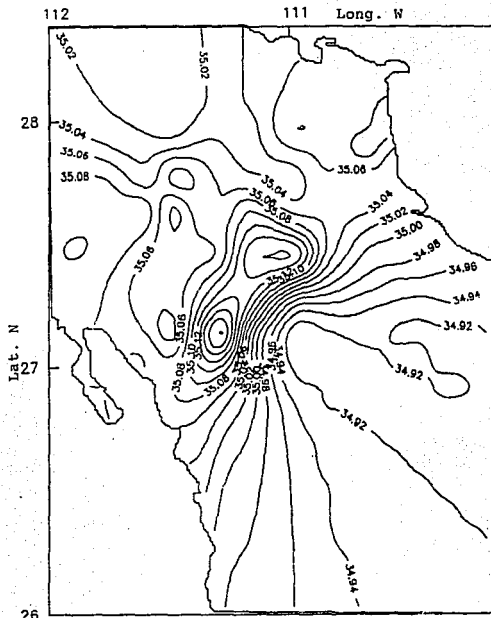
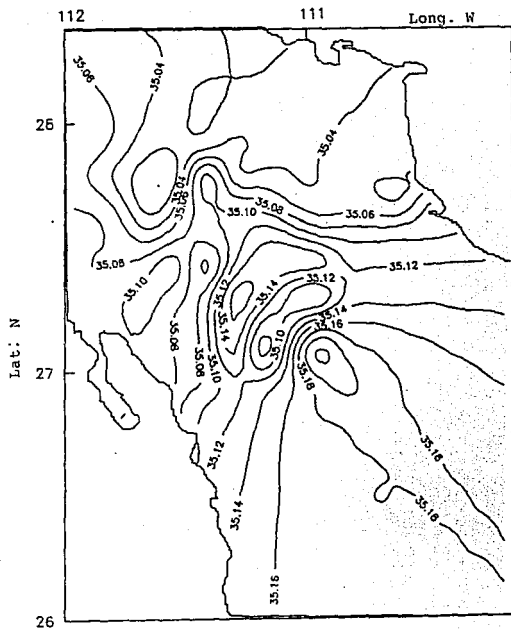


FIGURA 62

SALINIDAD 20 m



SALINIDAD 500 m

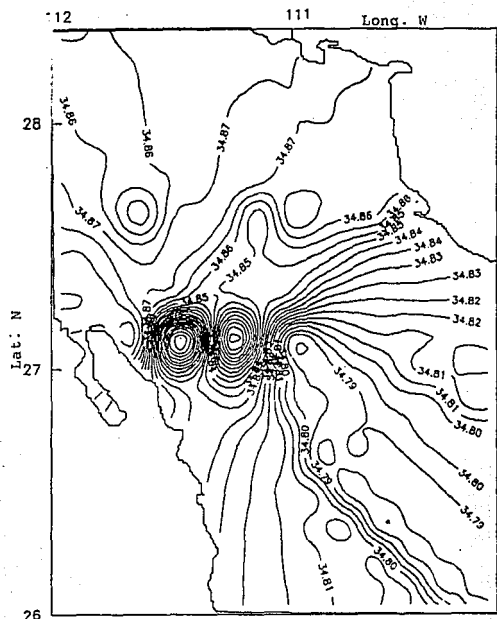


FIGURA 64

SALINIDAD 1000 m

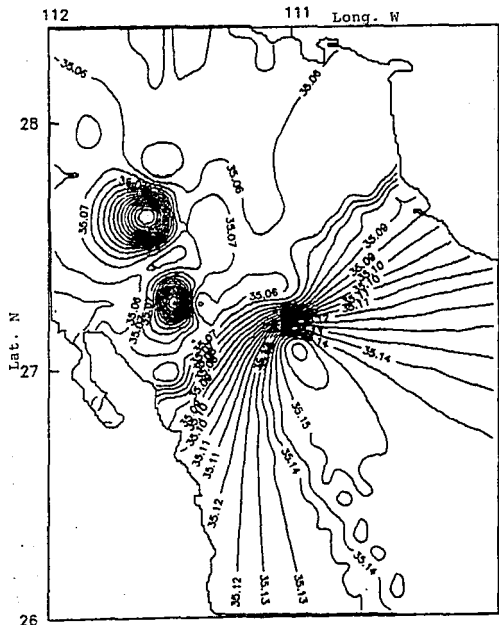


FIGURA 65

- 116 -

SALINIDAD 1 500 m

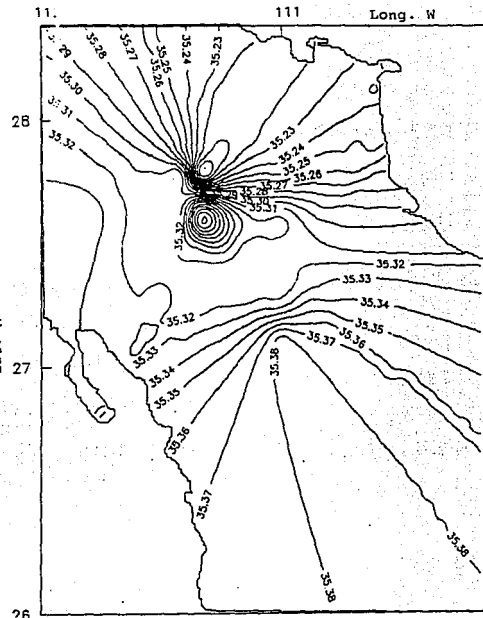


FIGURA 66

APENDICE 1

RELACION Y POSICION GEOGRAFICA DE LAS ESTACIONES
OCEANOGRAFICAS.

CAMPANA: CHIMENEAS-I.

| Estación No. | Latitud N. | Longitud W. | Profundidad. (m) |
|-----------------|---------------|----------------|---------------------|
| 1 | 26 50.0 | 111 35.0 | 660 |
| 2 | 26 50.0 | 111 30.0 | 800 |
| 3 | 26 50.0 | 111 25.0 | 1150 |
| 4 | 26 50.0 | 111 20.0 | 1900 |
| 5 | 26 50.0 | 111 10.0 | 1900 |
| 6 | 26 50.0 | 111 0.0 | 1800 |
| 7 | 27 0.0 | 111 0.0 | 1750 |
| 8 | 27 0.0 | 111 10.0 | 1800 |
| 9 | 27 0.0 | 111 20.0 | 1800 |
| 10 | 27 0.0 | 111 25.0 | 2000 |
| 11 | 27 0.0 | 111 30.0 | 1800 |
| 12 | 27 0.0 | 111 35.0 | 1500 |
| 13 | 27 0.0 | 111 50.0 | 80 |
| 14 | 27 10.0 | 111 50.0 | 1300 |
| 15 | 27 10.0 | 111 35.0 | 1900 |
| 16 | 27 10.0 | 111 30.0 | 2000 |
| 17 | 27 10.0 | 111 25.0 | 1900 |
| 18 | 27 10.0 | 111 20.0 | 1950 |
| 19 | 27 10.0 | 111 10.0 | 1800 |
| 20 | 27 10.0 | 111 0.0 | 1700 |
| 21 | 27 20.0 | 111 0.0 | 1600 |
| 22 | 27 20.0 | 111 10.0 | 1900 |
| 23 | 27 20.0 | 111 20.0 | 1900 |
| 24 | 27 20.0 | 111 25.0 | 1950 |
| 25 | 27 20.0 | 111 30.0 | 1900 |
| 26 | 27 20.0 | 111 35.0 | 1700 |
| 27 | 27 20.0 | 111 50.0 | 1550 |
| 28 | 27 30.0 | 111 50.0 | 1200 |
| 29 | 27 30.0 | 111 35.0 | 1850 |
| 30 | 27 30.0 | 111 30.0 | 1900 |
| 31 | 27 30.0 | 111 25.0 | 1950 |
| 32 | 27 30.0 | 111 20.0 | 2050 |
| 33 | 27 30.0 | 111 10.0 | 1300 |
| 34 | 27 30.0 | 111 0.0 | 2000 |
| 35 | 27 40.0 | 111 0.0 | 792 |
| 36 | 27 40.0 | 111 10.0 | 792 |
| 37 | 27 40.0 | 111 20.0 | 900 |
| 38 | 27 40.0 | 111 25.0 | 1050 |
| 39 | 27 40.0 | 111 30.0 | 1250 |
| 40 | 27 40.0 | 111 35.0 | 1260 |
| 41 | 27 40.0 | 111 50.0 | 1680 |
| 42 | 26 40.0 | 110 50.0 | 1800 |
| 43 | 24 40.0 | 109 24.0 | 2250 |